



Regione Siciliana – Presidenza
Dipartimento della Protezione Civile



Attuazione dell'Articolo 11 della Legge 24 giugno 2009, n.77

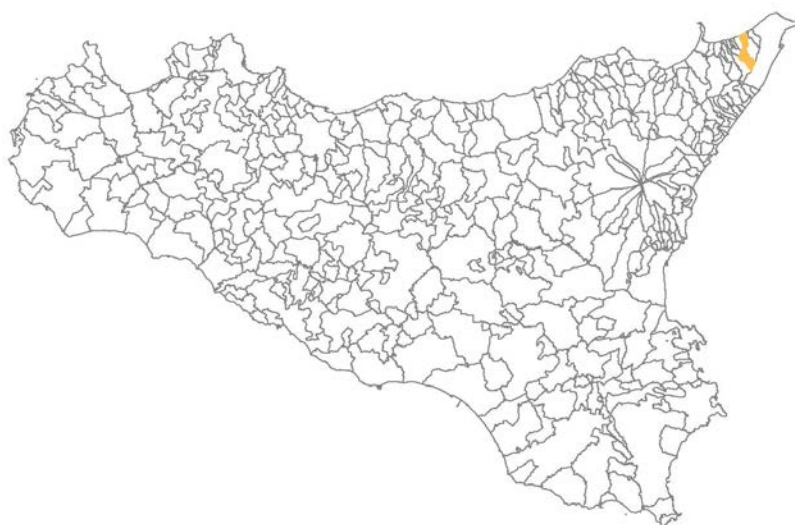
MICROZONAZIONE SISMICA

Relazione Illustrativa

MS Livello 1

Regione Sicilia

Comune di Rometta



Convenzione in data 20/12/2011 tra il Dipartimento Regionale della Protezione Civile e l'Università degli Studi di Messina: *Indagini di Microzonazione sismica di Livello I in diversi Comuni della Regione Sicilia ai sensi dell'OPCM 3907/2010*

<p>Contraente: Regione Siciliana – Presidenza Dipartimento della Protezione Civile</p> 	<p>Soggetto realizzatore: Università degli Studi di Messina C.A.R.E.C.I. – Centro Attrazione Risorse Esterne e Creazione d'Impresa</p> 	<p>Data: Novembre 2012</p>
--	--	--------------------------------



Regione Siciliana – Presidenza
Dipartimento della Protezione
Civile

Università degli Studi di Messina
C.A.R.E.C.I
Centro Attrazione Risorse
Esterne e Creazione d'Impresa

Sommario

1	INTRODUZIONE	6
2	INQUADRAMENTO GEOGRAFICO DELL'AREA	12
3	CENSIMENTO DATI	14
4	INQUADRAMENTO GEOLOGICO E GEOMORFOLOGICO	15
4.1	Analisi Morfologica e Altimetrica	15
4.2	Idrografia	18
4.3	Inquadramento geologico strutturale regionale	20
4.4	Assetto geologico strutturale dell'area esaminata	26
4.5	Stratigrafia dell'area esaminata	26
4.6	Analisi geomorfologica ed assetto dei versanti	31
4.7	Classificazione litologica dei terreni affioranti	34
5	DEFINIZIONE DELLA PERICOLOSITA' SISMICA DI BASE ED EVENTI DI RIFERIMENTO	39
5.1	Sismicità storica della Sicilia orientale e Calabria meridionale	40
5.2	Strutture sismogenetiche e faglie attive	53
5.2.	Sismicità storica del comune di Rometta	56
6	METODOLOGIA DI ACQUISIZIONE DELLE INDAGINI	60
7	ELABORATI CARTOGRAFICI	62



PROTEZIONE CIVILE
Presidenza del Consiglio dei Ministri
Dipartimento della Protezione Civile



Regione Siciliana – Presidenza
Dipartimento della Protezione
Civile



Università degli Studi di Messina
C.A.R.E.C.I
Centro Attrazione Risorse
Esterne e Creazione d'Impresa

8	GEOGNOSTICA E GEOFISICA	72
8.1	Strumentazione utilizzata	72
8.2	Processing dei dati	73
8.3	Il Rumore sismico	74
8.4	Teoria sull'analisi del Rumore Sismico.....	76
8.5	Aree Interessate dalle indagini di MS.....	78
8.6	Rappresentazione dei valori di frequenza ottenuti	82
8.7	Modello geologico dell'area in studio e bedrock geofisico	84
8.8	Considerazioni sui risultati ottenuti	90
9	CARTA DELLE MICROZONE OMOGENEE IN PROSPETTIVA SISMICA (MOPS)	92
9.1	Zone stabili suscettibili di amplificazioni locali	95
9.2	Zone suscettibili di instabilità	107
10	INDICAZIONI CONCLUSIVE	111
11	BIBLIOGRAFIA.....	112
12	ALLEGATI.....	119

Indice delle Figure

Figura 1 – Individuazione geografica dell'area	7
Figura 2 - Corografia dell'area.....	13
Figura 3 - Suddivisione del territorio in fasce altimetriche	18
Figura 4 – Carta delle pendenze e dei dissesti geomorfologici.....	33



Regione Siciliana – Presidenza
Dipartimento della Protezione
Civile

Università degli Studi di Messina
C.A.R.E.C.I
Centro Attrazione Risorse
Esterne e Creazione d'Impresa

Figura 5 – Legenda della carta geologico tecnica della microzonazione sismica: substrato rigido o non rigido.....	35
Figura 6 - Legenda della carta geologico tecnica della microzonazione sismica: terreni di copertura.....	36
Figura 7 - Carta geologico tecnica.....	38
Figura 8 - Distribuzione degli epicentri dei terremoti della Sicilia orientale e della Calabria meridionale nell'intervallo temporale 1000-1899 (CPTI11, Rovida et alii , 2011).	41
Figura 9 - Distribuzione degli epicentri dei terremoti della Sicilia orientale e della Calabria meridionale nell'intervallo temporale 1900-2006 (CPTI11,Rovida et alii, 2011).....	42
Figura 10 - Massime intensità risentite per ogni località della Sicilia orientale e della Calabria meridionale (DBMI11, Locati et alii, 2011).	43
Figura 11 - Campo macrosismico del terremoto del 11/01/1693 (C.N.R., P. F. G. - Postpischl editor, Atlas of Isoseismal maps of italian Earthquakes, Bologna 1985).....	45
Figura 12 - Campo macrosismico del terremoto del 06/02/1783 (Tiberti et alii, 2006).....	47
Figura 13 - Campo macrosismico del terremoto del 07/02/1783 (Tiberti et alii, 2006).....	48
Figura 14 - Campo macrosismico del terremoto del 28/03/1783 (Tiberti et alii, 2006).....	48
Figura 15 - Campo macrosismico del terremoto del 20/02/1818 (C.N.R., P. F. G. - Postpischl editor, Atlas of Isoseismal maps of italian Earthquakes, Bologna 1985).....	50
Figura 16 - Mappa delle principali strutture sismogenetiche. Database of IndividualSeismogenicSources (Basili et alii, 2008).....	54
Figura 17 – Mappa della distribuzione degli epicentri dei terremoti strumentali localizzati dall'INGV tra il 1981 e il 2011. Catalogo della sismicità italiana 1981-2002 (INGV, 2011).....	55
Figura 18 - Grafico della storia sismica di Rometta (DBMI11, Locati et alii, 2011).....	57



Regione Siciliana – Presidenza
Dipartimento della Protezione
Civile

Università degli Studi di Messina
C.A.R.E.C.I
Centro Attrazione Risorse
Esterne e Creazione d'Impresa

Figura 19 - Mappa di pericolosità sismica del territorio nazionale (riferimento: Ordinanza PCM del 28 aprile 2006 n. 3519) espressa in termini di accelerazione massima del suolo con probabilità di eccedenza del 10% in 50 anni riferita a suoli rigidi.	58
Figura 20 - Comune di Rometta: delimitazione delle aree indagate(contorno rosso).	79
Figura 21 – Distribuzione delle indagini HVSR in relazione alle aree studiate nel Comune di Rometta.....	82
Figura 22 - Carta delle frequenze nel Comune di Rometta	84
Figura 23 - Profilo A-A'	85
Figura 24 - Profilo B-B'	86
Figura 25 - Profilo C-C'	89
Figura 26 – Schema delle Microzone Omogenee in Prospettiva Sismica.....	94
Figura 27 – Schema delle zone suscettibili di instabilità	95

Indice delle Tabelle

Tabella 1 - Trasposizione analitica degli elementi geomorfologici individuati.....	33
Tabella 2 - Trasposizione analitica delle aree in dissesto individuate (PAI).	34
Tabella 3 - Compendio della classificazione litologica.	37
Tabella 4 - Storia sismica del comune di Rometta (DBMI11 Locati et alii, 2011); I_s è l'intensità macrosismica risentita (MCS); A_x l'area epicentrale; N_p è il numero di località in cui è disponibile il dato macrosimico; I_0 è l'intensità macrosismica dell'epicentro (MCS); M_w è la magnitudo momento dell'evento con accanto il grado d'incertezza della stima.	56
Tabella 5 - Valori di PGA stimati per il comune di Rometta per differenti livelli di probabilità in 50 anni, o equivalentemente differenti periodi di ritorno, e per diverso percentile. I dati sono	



Regione Siciliana – Presidenza
Dipartimento della Protezione
Civile

Università degli Studi di Messina
C.A.R.E.C.I
Centro Attrazione Risorse
Esterne e Creazione d'Impresa

stati estratti dalla mappa digitale della pericolosità sismica sul sito INGV erisultano riferiti a suoli rigidi.....	59
Tabella 6 - Sorgenti del rumore sismico	75
Tabella 7 - Sigle dei siti di selezionati con relativa data di registrazione ed indicazione dell'uso del suolo.	80
Tabella 8 - Quadro riassuntivo dei siti di registrazione con esibizione dei dati di frequenza elaborati (per tutti i siti l'accoppiamento suolo/sensore è diretto ed orientato verso Nord); tutti i rilievi sono stati eseguiti in condizioni di bel tempo.....	81
Tabella 9 - Risultati dei rilievi HVSR in relazione alla geologia ed all'altimetria.	90



Regione Siciliana – Presidenza
Dipartimento della Protezione
Civile

Università degli Studi di Messina
C.A.R.E.C.I
Centro Attrazione Risorse
Esterne e Creazione d'Impresa

1 INTRODUZIONE

Nell'ambito dell'attuazione dell'Art. 11 del Decreto Legge 28/04/2009 n. 39, convertito, con modificazioni, dalla Legge 24/06/2009 n. 77 - Interventi di prevenzione del rischio sismico – Finanziamenti per indagini di Microzonazione Sismica, il Dipartimento Regionale della Protezione Civile ha sottoscritto tre distinte convenzioni, identiche nella sostanza, con le Università Siciliane.

La finalità delle convenzioni è lo svolgimento delle INDAGINI DI MICROZONAZIONE SISMICA DI LIVELLO 1 IN DIVERSI COMUNI DELLA REGIONE SICILIA, SECONDO LE SPECIFICHE E LE CONDIZIONI STABILITE DALL'OPCM N. 3907/2010

Le Università Siciliane, in questa prima fase di lavoro dovranno curare la micro zonazione sismica di 58 comuni individuati dal DRPC. Nello specifico l'Università degli Studi di Messina deve curare la micro zonazione sismica dei comuni elencati nell'Allegato A dell'ART. 1 della Convenzione.

La presente relazione illustrativa riguarda il territorio comunale di Rometta in Provincia di Messina (Figura 1).



Regione Siciliana – Presidenza
Dipartimento della Protezione
Civile

Università degli Studi di Messina
C.A.R.E.C.I
Centro Attrazione Risorse
Esterne e Creazione d'Impresa

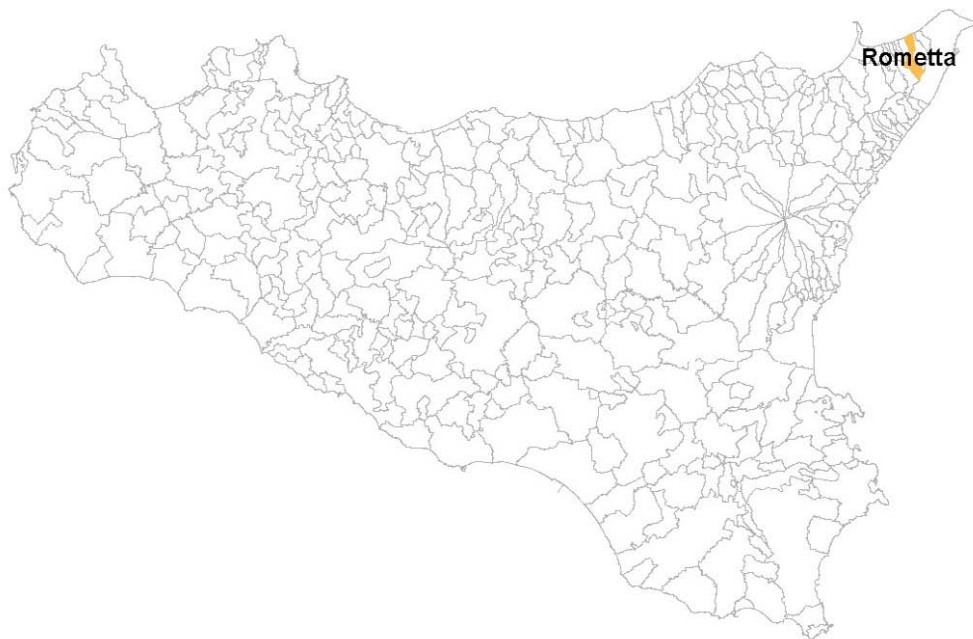


Figura 1 – Individuazione geografica dell'area

Il programma delle attività di cui alla convenzione è riportato nell' ART. 2 - PROGRAMMA DELLE ATTIVITÀ ed articolato secondo quanto descritto nell' Allegato B nel quale, fra l'altro, sono riportati gli obiettivi da perseguire e gli elaborati finali che dovranno essere prodotti per ciascun Comune.

L'ALLEGATO B nello specifico recita:

"Studio geologico - tecnico ai fini della microzonazione sismica di livello 1 secondo le specifiche e le condizioni stabilite dall'OPCM 3907/2010" - PRIMO LIVELLO DI APPROFONDIMENTO OGGETTO DELLA PRESENTE CONVENZIONE.

Finalità:



PROTEZIONE CIVILE
Presidenza del Consiglio dei Ministri
Dipartimento della Protezione Civile



Regione Siciliana – Presidenza
Dipartimento della Protezione
Civile



Università degli Studi di Messina
C.A.R.E.C.I
Centro Attrazione Risorse
Esterne e Creazione d'Impresa

- Individuare le aree suscettibili di effetti locali in cui effettuare le successive indagini di microzonazione sismica;
- Definire il tipo di effetti attesi;
- Indicare, per ogni area, il livello di approfondimento necessario;
- Definire il modello geologico, in termini di caratteristiche litologiche e geometriche delle unità geologiche del sottosuolo che costituirà la base per la microzonazione sismica.

Elaborati da produrre per ciascun Comune oggetto di studio, al momento della consegna dei risultati:

- 1) *Carta delle indagini*: in questo elaborato, a scala almeno 1:10.000 (preferibilmente di maggiore dettaglio) dovranno essere chiaramente indicate le prove pregresse raccolte e le aree dove si ritiene importante o indispensabile che vengano effettuate ulteriori indagini (si segnalano in questo modo le aree in cui le incertezze sui risultati di questo livello di approfondimento sono maggiori). Tutte le prove dovranno essere classificate in base al tipo ed alla profondità raggiunta.
- 2) *Carta geologica - geomorfologica*: derivata dalla revisione a scala dettagliata (1:10.000 - 1:5.000) dei rilievi geologici e morfologici disponibili. In questa cartografia dovranno essere rappresentati gli elementi geologici e morfologici che possono modificare il moto sismico in superficie. Dovranno essere chiaramente perimetrare le coperture detritiche, le aree instabili e quelle potenzialmente soggette a dissesti. Questa cartografia dovrà essere corredata da sezioni geologiche significative, in numero adeguato, orientate sia trasversalmente sia longitudinalmente ai principali elementi geologici (strutture tettoniche e assi dei bacini) e dovrà riguardare un'area con estensione significativa per la realizzazione della carta delle microzone omogenee in prospettiva sismica.
- 3) *Carta delle frequenze naturali dei terreni (f)*, a scala almeno 1:10.000 (preferibilmente di maggiore dettaglio), derivate da indagini speditive di sismica passiva (HVSR sulle vibrazioni ambientali) o, se disponibili, SSR da



Regione Siciliana – Presidenza
Dipartimento della Protezione
Civile

Università degli Studi di Messina
C.A.R.E.C.I
Centro Attrazione Risorse
Esterne e Creazione d'Impresa

registrazioni di terremoti. In questa carta dovranno essere riportati tutti i punti di misura, con associato il risultato della prova (valore di f_0 del picco significativo a più bassa frequenza corrispondente alla frequenza di risonanza fondamentale e di altri picchi significativi a più alta frequenza o indicazione dell'assenza di picchi). Ove possibile, il territorio indagato sarà suddiviso in base a classi di frequenza allo scopo di distinguere aree caratterizzate da assenza di fenomeni di risonanza significativi (nessun massimo relativo significativo nelle funzioni HVSR o SSR nell'intervallo 0.1 - 20 Hz) o da presenza di fenomeni di risonanza.

- 4) *Carta delle microzone omogenee in prospettiva sismica (MOPS)*: è il documento fondamentale di questo livello di approfondimento. In questa cartografia dovranno essere chiaramente indicate le aree in cui si ritiene necessario effettuare indagini e analisi di microzonazione sismica e i livelli di approfondimento ritenuti necessari. Nelle aree di pianura dovrà essere realizzata anche la carta dei depositi di sottosuolo che possono influenzare il moto in superficie (es.: isobate del tetto dei depositi grossolani tipo ghiaie di conoide, isobate del tetto dei corpi sabbiosi presenti nei primi 20 m di profondità, isobate del tetto della falda, isobate della base dei depositi continentali, isobate di discontinuità stratigrafiche importanti, ...).

Le microzone della carta saranno classificate in tre categorie:

- a) zone stabili, nelle quali non si ipotizzano effetti locali di alcuna natura (litotipi assimilabili al substrato rigido in affioramento con morfologia pianeggiante o poco acclive – pendii con inclinazione inferiore a circa 15°); in queste zone non sono quindi richiesti ulteriori approfondimenti;
- b) zone stabili suscettibili di amplificazioni locali, nelle quali sono attese amplificazioni del moto sismico, come effetto dell'assetto litostratigrafico e morfologico locale; nelle zone con variazioni stratigrafiche laterali poco significative (zone di pianura, valli ampie) sono ritenuti sufficienti approfondimenti di secondo livello; nelle zone in cui la stratigrafia presenta variazioni laterali significative e il modello geologico non è



Regione Siciliana – Presidenza
Dipartimento della Protezione
Civile

Università degli Studi di Messina
C.A.R.E.C.I
Centro Attrazione Risorse
Esterne e Creazione d'Impresa

- assimilabile ad un modello fisico monodimensionale, come valli strette, conche intramontane e fasce pedemontane o zone prossime a strutture tettoniche sepolte (in prima approssimazione: zone con coefficiente di forma $C > 0.25$ dove $C = H/L$, H = spessore della coltre alluvionale, L = semiampiezza della valle), sono richiesti approfondimenti di terzo livello;
- c) zone suscettibili di instabilità, nelle quali gli effetti sismici attesi e predominanti, oltre i fenomeni di amplificazione, sono riconducibili a deformazioni permanenti del territorio (instabilità di versante in presenza di pendii instabili e potenzialmente instabili, liquefazioni, densificazioni, cedimenti differenziali).

- 5) *Relazione illustrativa* in cui dovranno essere descritti tutti gli elementi caratterizzanti i documenti sopra indicati e le aree in cui effettuare indagini, con indicazione del tipo di prove da realizzare. Poiché una delle finalità fondamentali di questo livello di approfondimento è la definizione del modello geologico del sottosuolo che costituirà la base per la microzonazione sismica, dovrà essere accuratamente descritta la stratigrafia e fornita una stima indicativa, su basi geologiche, della profondità dell'orizzonte ipotizzato essere il substrato rigido. La definizione del substrato rigido è uno degli obiettivi degli approfondimenti successivi.

Nella successiva tabella (*Tabella 2 della convenzione*) che segue viene riepilogato il quadro conoscitivo minimo che deve essere raggiunto per ciascun Comune, al termine delle attività previste dalla convenzione:



Regione Siciliana – Presidenza
 Dipartimento della Protezione
 Civile

Università degli Studi di Messina
 C.A.R.E.C.I
 Centro Attrazione Risorse
 Esterne e Creazione d'Impresa

INDAGINI MINIME OBBLIGATORIE	<p>Raccolta dei dati pregressi ritenuti utili ai fini degli studi tra quelli resi disponibili da Amministrazioni pubbliche e/o private: es. rilievi geologici, geomorfologici, geologico – tecnici, indagini geofisiche, sondaggi e stratigrafie desunte da pozzi, etc. ;</p> <p>Rilevamenti geologici di controllo sul terreno;</p> <p>Eventuali nuove indagini: esecuzione di ulteriori indagini geofisiche e geologico - tecniche, qualora la raccolta dei dati pregressi non consenta la ricostruzione di un quadro conoscitivo sufficientemente attendibile rispetto agli obiettivi del livello 1;</p> <p>Misure passive del rumore ambientale, mediante tecnica a stazione singola.</p>
ANALISI ED ELABORAZIONI	<p>Sintesi dei dati e delle cartografie disponibili; Rilettura, sintesi dei dati.</p>
PRODOTTI FINALI OBBLIGATORI	<p>Carta delle indagini (sia esistenti che di nuova realizzazione);</p> <ul style="list-style-type: none"> • Carta geologica – geomorfologica, almeno a scala 1:5.000 – 1:10.000, di un'area con estensione significativa per la realizzazione della carta delle Microzone; • Carta delle Microzone omogenee in prospettiva sismica almeno a scala 1:5.000 – 1:10.000; • Carta delle Frequenze di un'area con estensione significativa per la realizzazione della carta delle Microzone; <p>Relazione tecnica illustrativa.</p>



Regione Siciliana – Presidenza
Dipartimento della Protezione
Civile

Università degli Studi di Messina
C.A.R.E.C.I
Centro Attrazione Risorse
Esterne e Creazione d'Impresa

2 INQUADRAMENTO GEOGRAFICO DELL'AREA

La presente relazione illustrativa è stata redatta per il territorio comunale di Rometta in Provincia di Messina.

Il territorio comunale di Rometta è ubicato nella parte nord-orientale dei Monti Peloritani, sul versante tirrenico della Provincia di Messina, occupa un'estensione di circa 31,87 Km², dalla costa tirrenica fino ai rilievi dell'entroterra raggiungendo quota 1.076 m, in corrispondenza del rilievo di Pizzo Bottino (Figura 2).

Nella cartografia ufficiale in scala 1:25.000 edita dall'I.G.M., ricade nelle tavolette "Rometta" F° 253 I SE e "San Pierniceto" F° 253 II NO.

Amministrativamente è caratterizzato dal centro storico dell'abitato di Rometta (560 m s.l.m.), che è sede Municipale, nonché dalle frazioni di Rometta Marea, Conduri, Gimello, San Cono, Santa Domenica, Sant'Andrea, Torretta, Sottocastello, Scalone, Rapano, Gimelli monaci, Safi, Filari e Lorenti. Gli abitanti censiti sono circa 6615, la maggior parte della popolazione risiede nella frazione di Rometta Marea (4419 abitanti), dove nella stagione estiva le presenze aumentano considerevolmente.

La zona di studio comprende una zona costiera (fino a 100 m s.l.m.), che si individua esclusivamente a N del territorio comunale, tra la foce del T. Saponara e quella della fiumara Rio Boncordo, una zona sub collinare (da 100 fino a circa 200 m s.l.m.), una zona collinare (da 200 fino a circa 600 m s.l.m.), entro cui ricade la quasi totalità del territorio comunale e una zona montana (oltre 600 m s.l.m.), localizzata nel settore più meridionale.



Regione Siciliana – Presidenza
Dipartimento della Protezione
Civile

Università degli Studi di Messina
C.A.R.E.C.I
Centro Attrazione Risorse
Esterne e Creazione d'Impresa



Figura 2 - Corografia dell'area



Regione Siciliana – Presidenza
Dipartimento della Protezione
Civile

Università degli Studi di Messina
C.A.R.E.C.I
Centro Attrazione Risorse
Esterne e Creazione d'Impresa

3 CENSIMENTO DATI

La microzonazione sismica (MS) è uno strumento di supporto per la governance del territorio nonché per la progettazione e la pianificazione delle emergenze di protezione civile pertanto, scopo della MS è individuare ad una scala sufficientemente grande (scala comunale) le condizioni locali che possono indurre a sensibili modifiche del moto sismico atteso e/o a deformazioni permanenti sul territorio, sulle costruzioni ed alle infrastrutture. La qualità dello studio di MS è funzione del livello di approfondimento degli studi condotti nell'area oggetto di studio ed è fortemente condizionato dai budget messi a disposizione da chi redige lo studio.

Visto il forte impatto che la MS ha sulla pianificazione territoriale si è ritenuto opportuno dare priorità al censimento agli studi geologici prodotti a supporto dei Piani Regolatori Generali Comunali al fine di analizzare lo stato conoscitivo in termini di modelli geologici, geotecnici, geomorfologici (dissesti e alluvioni) e sismicità su cui si è pianificato lo sviluppo urbano del territorio. Solo nel caso in cui non è stato possibile acquisire la documentazione geologica a supporto del PRG si è proceduto al recupero di informazioni provenienti da altri studi geologici realizzati in occasione di lavori pubblici. Si è inoltre ritenuto opportuno censire ed acquisire i dati relativi ai dissesti geomorfologici prodotti dal PAI al fine di avere un quadro completo dello stato conoscitivo dei due strumenti di pianificazione (PRG e PAI) che hanno maggior impatto sulla governance del territorio.

Per questo studio di I livello è stato possibile acquisire la seguente documentazione tecnica:

- Studio Geologico di supporto alla redazione del P.R.G. (Gennaio 1993 data nel documento);
- Relazione e banca dati dei dissesti geomorfologici del PAI.



Regione Siciliana – Presidenza
Dipartimento della Protezione
Civile

Università degli Studi di Messina
C.A.R.E.C.I
Centro Attrazione Risorse
Esterne e Creazione d'Impresa

4 INQUADRAMENTO GEOLOGICO E GEOMORFOLOGICO

Quanto riportato in questo capitolo è il risultato di un'attenta analisi e revisione degli elaborati tecnici acquisiti (*tabella 2 della convenzione*) dall'Amministrazione Comunale e della consultazione e sintesi di quanto disponibile nella bibliografia specializzata.

Particolare attenzione è stata rivolta all'esame delle caratteristiche morfologiche, altimetriche, litologiche e geomorfologiche dei versanti, elementi di estrema rilevanza per la definizione della “Carta delle Microzone Omogenee in Prospettiva Sismica”.

Le analisi eseguite sono riportate nei sottoparagrafi di seguito elencati:

- Analisi Morfologica e Altimetrica
- Idrografia
- Inquadramento geologico strutturale regionale
- Assetto geologico strutturale e stratigrafico dell'area esaminata
- Analisi geomorfologica e assetto dei versanti
- Classificazione litologica dei terreni affioranti

4.1 Analisi Morfologica e Altimetrica

Il territorio comunale di Rometta rientra nel settore nordorientale della Sicilia e ricade sul versante tirrenico dei Monti Peloritani. Si estende, con direzione circa nord sud, per una superficie complessiva di circa 31,87 Km², dalla costa tirrenica fino ai rilievi dell'entroterra con un'escursione altimetrica che dal livello del mare raggiunge 1.076 m in corrispondenza del rilievo di Pizzo Bottino.

Confina ad O con i comuni di Spadafora, e Roccavaldina, a SO con il comune di Monforte San Giorgio, a S e SE con il comune di Messina, ad E con il comune di Spadafora ed a N con il mar Tirreno.



Regione Siciliana – Presidenza
Dipartimento della Protezione
Civile

Università degli Studi di Messina
C.A.R.E.C.I
Centro Attrazione Risorse
Esterne e Creazione d'Impresa

Il motivo dominante di questo comparto territoriale è rappresentato da un'estesa dorsale, con andamento nord sud analogo, pertanto, a quello dello sviluppo del territorio comunale. Su questa, che costituisce lo spartiacque idrografico tra il bacino del T. Saponara (002 PAI) e quello dell'Area tra T. Saponara e F.ra di Niceto (003 PAI), sorge il centro storico dell'abitato di Rometta, a circa 560 m s.l.m. e frazioni di Gimello, Sottocastello, Scalone, Oliveto, Rapano e Pantano.

Il paesaggio si presenta composito con una morfologia piatta ed uniforme nell'area costiera, corrispondente ad una stretta pianura alluvionale, dove sorge la frazione di Rometta Marea e più aspra con versanti scoscesi e accidentati verso l'entroterra collinare e montuoso. La superficie topografica, nell'ambito collinare, alterna piccole spianate e pendii terrazzati, sedi di pratiche agricole, a bruschi salti di pendenza con versanti quasi verticali che conferiscono al paesaggio un aspetto rupestre, nel settore montano l'acclività dei versanti aumenta e le aree pianeggianti diventano più modeste e meno frequenti e le incisioni vallive diventano più profonde.

Dal punto di vista altimetrico è possibile distinguere, nell'area oggetto di studio, tre zone:

- zona costiera (fino a 100 m s.l.m.), che si individua esclusivamente a N del territorio comunale, tra la foce del T. Saponara e quella della fiumara Rio Boncordo, e si presenta con una spianata a debole pendenza verso il mare raccordata, attraverso un marcato flesso morfologico, con il paesaggio vallivo terminale delle fiumare dell'entroterra;

- zona sub collinare (da 100 fino a circa 200 m s.l.m.), ricade in corrispondenza di due rilievi subparalleli che preannunciano la fisiografia collinare vera e propria, qui molto antropizzata, e che costituiscono il limite più settentrionale tra il bacino del T. Saponara ad E e la fiumara Rio Boncordo ad O;

- zona collinare (da 200 fino a circa 600 m s.l.m.), entro cui ricade la quasi totalità del territorio comunale e dove il paesaggio è rappresentato da rilievi con pendii acclivi ed incisioni strette e profonde anche se interrotto da zone sub pianeggianti;

- zona montana (oltre 600 m s.l.m.), localizzata nel settore più meridionale ripropone il quadro fisiografico precedente con pendii aspri e più ripidi entro cui svettano isolati picchi montuosi. Si staccano ancora nei versanti piccole spianate



Regione Siciliana – Presidenza
Dipartimento della Protezione
Civile

Università degli Studi di Messina
C.A.R.E.C.I
Centro Attrazione Risorse
Esterne e Creazione d'Impresa

sede anche di terrazzamento antropico che presentano però cospicue difficoltà d'accesso.

La figura di seguito proposta (Figura 3) rappresenta l'andamento altimetrico del territorio comunale suddiviso nei seguenti intervalli: 100-200 m; 200-600 m; 600-1373 m.

Ancora, in Figura 3, sono rappresentate le aree oggetto delle indagini eseguite (poligono colorato) che, in assenza di precise indicazioni dell'Amministrazione Comunale, sono state circoscritte al centro storico di Rometta ed alla frazione costiera di Rometta Marea.

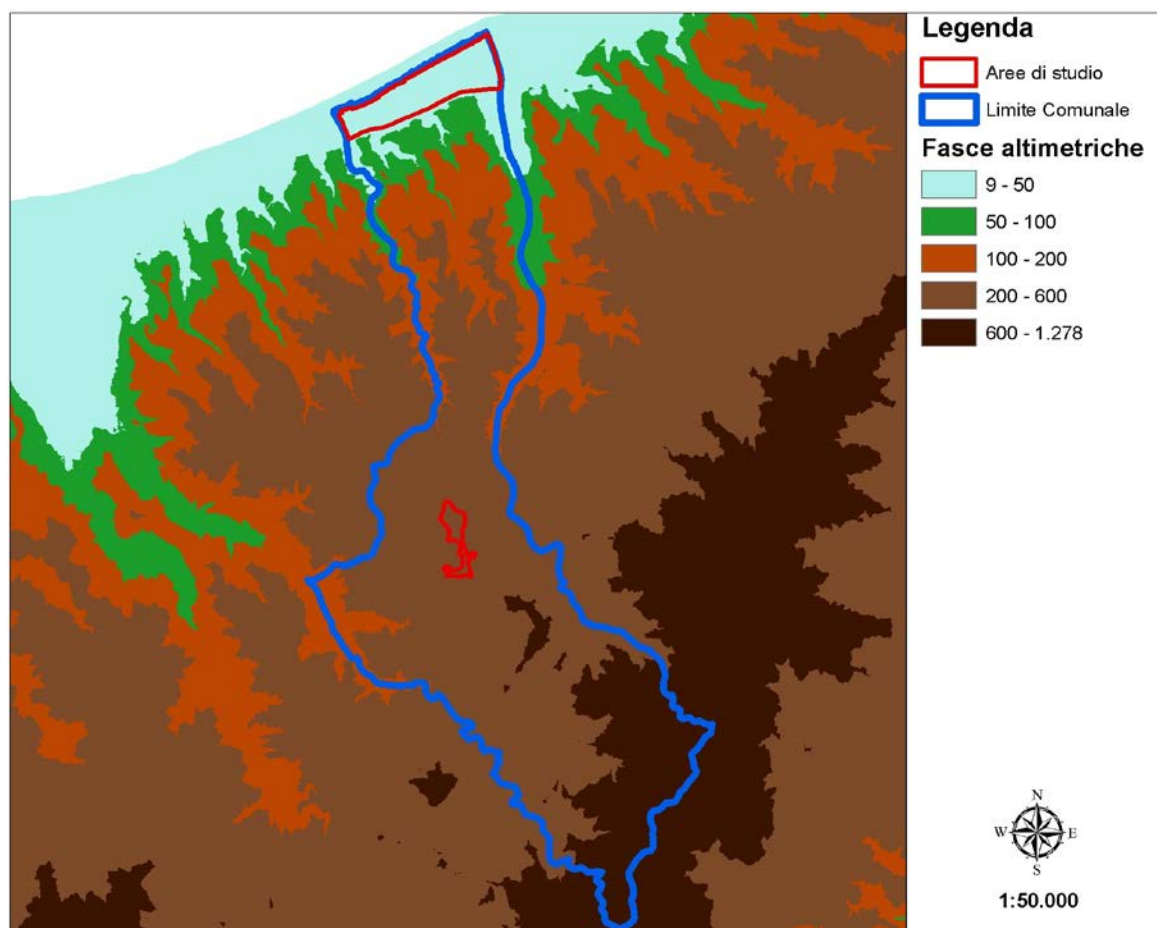


Figura 3 - Suddivisione del territorio in fasce altimetriche

4.2 Idrografia

Nel quadro morfologico dei Monti Peloritani si sviluppano elementi idrografici particolari, tipici dell'arco Calabro Peloritano, denominati "fiumare" caratterizzati da un regime idrologico tipicamente torrentizio, fortemente influenzato dalle precipitazioni stagionali. Il relativo corso fluviale possiede uno sviluppo che nel suo complesso può essere suddiviso in due parti:



Regione Siciliana – Presidenza
Dipartimento della Protezione
Civile

Università degli Studi di Messina
C.A.R.E.C.I
Centro Attrazione Risorse
Esterne e Creazione d'Impresa

- tratto montano - collinare: in questo settore il corso d'acqua si contraddistingue per una ridotta lunghezza ed elevata pendenza e, in particolare, nei tratti medio alti delle aste fluviali, l'elevato trasporto solido assume caratteri di debris flow;

- tratto vallivo - caratterizzato da minori pendenze e ampi letti fluviali, spesso sovralluvionati, a testimonianza delle impetuosità delle portate di piena.

Il territorio comunale di Rometta ricade nell'Area tra il T. Saponara e la F.ra Niceto (003 della classificazione del PAI). Più precisamente si sviluppa sul fianco destro dello spartiacque del T. Saponara e quello di Rio Boncordo e comprende gli spartiacque secondari di Rio S. Venera, Rio Cisterna, Rio Pantano e della fiumara di Bagheria, con sviluppo subparallelo allo spartiacque principale, che in questo trovano i loro punti di vetta.

Il reticolo idrografico è costituito da una rete di incisioni torrentizie ramificate, con profilo trasversale a V molto stretta, andamento NE-SO ed NO-SE che, nel loro insieme, insinuano un andamento a "spina di pesce", con innesti delle aste fluviali molto angolati, in cui non è difficile intravedere controlli tettonici del percorso delle linee d'impluvio. Si tratta sempre di incisioni con deflussi in alveo concentrati nel periodo invernale e portate variabili in funzione dell'andamento pluviometrico locale.

Dal punto di vista morfologico l'intero sistema è caratterizzato da un'accentuata pendenza media delle aste fluviali, dal forte dislivello dei sottobacini e forte acclività dei rispettivi versanti, dalla scarsa gerarchizzazione del reticolo idrografico, oltreché dalle già segnalate anomalie strutturali delle aste fluviali.

Il quadro, dunque, è quello tipico di uno stadio morfodinamico giovanile tuttora in evoluzione.

La superficie topografica si presenta ricoperta da una coltre detritica, di spessore irregolarmente variabile, soggetta a forme di instabilità che è favorita dall'azione delle acque dilavanti e dalla sovraincisione e/o erosione di sponda che si verifica nelle principali aste torrentizie durante le piene stagionali che, generalmente, coincidono con gli eventi piovosi più intensi e prolungati.



PROTEZIONE CIVILE
Presidenza del Consiglio dei Ministri
Dipartimento della Protezione Civile



Regione Siciliana – Presidenza
Dipartimento della Protezione
Civile



Università degli Studi di Messina
C.A.R.E.C.I
Centro Attrazione Risorse
Esterne e Creazione d'Impresa

4.3 Inquadramento geologico strutturale regionale

Per una più compiuta definizione dell'assetto geologico del territorio del Comune di Rometta si è utilmente fatto riferimento alla geologia settore nordorientale della Sicilia e, in particolare, alla zona del versante tirrenico dei monti Peloritani, nell'ambito della quale questo ricade.

E' stata consultata la seguente cartografia geologica:

- FOGLIO 601 DELLA CARTA GEOLOGICA D'ITALIA (1:50.000) E LE RELATIVE NOTE ILLUSTRATIVE;
- FOGLIO 613 DELLA CARTA GEOLOGICA D'ITALIA (1:50.000) E LE RELATIVE NOTE ILLUSTRATIVE;
- CARTA GEOLOGICA DELLA PROVINCIA DI MESSINA (1:50.000);
- CARTA GEOLOGICO-MORFOLOGICA DELL'AREA DI TAORMINA (1:5.000);
- CARTA GEOLOGICA DEI MONTI DI TAORMINA (1:25.000);
- CARTA GEOLOGICA DEL GOLFO DI PATTI (1:50.000);
- SCHEMA GEOLOGICO DELLA SICILIA NORD ORIENTALE (1:200.000)

I primi dati geologici significativi relativi a questa zona derivano da rilevamenti effettuati alla fine dello scorso secolo da SEGUENZA (1869), da CORTESE (carta geologica del foglio n. 254, Messina, 1882) e da BALDACCI (1886).

Si tratta di lavori di base di notevole interesse in quanto rappresentano una sintesi delle precedenti conoscenze settoriali, Particolare importanza per la conoscenza della struttura geologica della Catena Peloritana rivestono la carta geologica alla scala 1:100.000 del Servizio Geologico d'Italia elaborata da BALDACCI (1886) e la relativa "Descrizione geologica dell'isola di Sicilia".

Il lavoro espone una descrizione piuttosto dettagliata delle formazioni geologiche esistenti, basata su una concezione statica dei terreni, ma lontana dalle concezioni successivamente maturate, soprattutto per merito delle intuizioni, delle interpretazioni e degli studi, successivamente elaborati da LUGEON ed ARGAND (1906) e da QUITZOW (1935).

Questi autori anticipano, nelle linee generali, le attuali concezioni sull'assetto tettonico della Sicilia nordorientale, attribuendo le inversioni dell'ordine stratigrafico, osservato per talune successioni litologiche, a fenomeni di trasporto orogenico e avanzando la teoria dei grandi "carreggiamenti", successivamente ripresa e



Regione Siciliana – Presidenza
Dipartimento della Protezione
Civile

Università degli Studi di Messina
C.A.R.E.C.I
Centro Attrazione Risorse
Esterne e Creazione d'Impresa

documentata, per altre zone della Sicilia, da FABIANI e TREVISAN (1940), BENEIO (1949, 1950), SCHMIDT DI FRIEDBERG (1959).

Un notevole contributo alla conoscenza degli aspetti petrografici e strutturali dei Peloritani deriva anche dagli studi eseguiti da ANDREATTA (1941).

Nel 1960 viene pubblicato da OGNIBEN lo “Schema geologico della Sicilia nordorientale” che rappresenta una sintesi dei dati stratigrafici, petrografici e tettonici precedenti e costituisce un fondamentale ed originale contributo alla conoscenza delle condizioni geostrutturali della regione.

In sintesi OGNIBEN riconosce l'esistenza di una successione geologica basale (“Complesso basale”) cui si sovrappongono tettonicamente vari “complessi” di terreni costituiti da singole successioni, suddivise in una o più “falde di trasporto”, a loro volta ricoperte da terreni postorogeni (“Complesso neoautoctono”).

Lo schema proposto da OGNIBEN viene, negli anni successivi, avvalorato e parzialmente adeguato sia in base alle indagini di dettaglio eseguite dallo Stesso (1970, 1971) sia da numerosi altri studiosi tra i quali, per brevità, si citano TRUILLET (1968), DUEE (1969), ATZORI (1970, 1972), ATZORI et alii (1974), LENTINI e VEZZANI (1975, 1978), AMODIO MORELLI et alii (1976), GHISSETTI e VEZZANI (1978), BONARDI (1980), GIUNTA et alii (1980), NIGRO e SIDOTI (1993), CARBONE et alii (2007).

Per quanto riguarda specificatamente la zona considerata un quadro geostrutturale aggiornato viene rappresentato sulla “Carta geologica dei monti di Taormina” alla scala 1:25.000 (1994) curata da CARBONE et alii dell'Istituto di Geologia dell'Università di Catania e nella “Carta geologica della Provincia di Messina” alla scala 1:50.000 a cura di LENTINI et alii, (2.000).

Allo stato attuale delle conoscenze i lineamenti geostrutturali della Sicilia nordorientale possono essere sintetizzati nello schema descritto di seguito, tratto dai lavori a larga scala estesi a tutta la catena peloritana-nebroidea. Per semplicità non si fa riferimento ad altri significativi studi, non sempre concordanti con quanto di seguito descritto, non sempre sufficientemente estesi e dettagliati.

L'unità stratigrafica più bassa, nota con la denominazione di "Flysch Numidico", è costituita da una potente successione di argille brune con intervalli di quarzareniti. La formazione affiora in vasta zona, nel settore occidentale del territorio della



Regione Siciliana – Presidenza
Dipartimento della Protezione
Civile

Università degli Studi di Messina
C.A.R.E.C.I
Centro Attrazione Risorse
Esterne e Creazione d'Impresa

provincia di Messina, ad O-SO del torrente Furiano, fino a Mistretta, Castel di Lucio e Tusa.

In sovrapposizione tettonica al Flysch Numidico si sovrappongono varie unità raggruppate nel "Complesso Sicilide

L'unità di base è costituita dalla Formazione delle "Argille scagliose", costituita da prevalenti argille varicolori caoticizzate inglobanti lenti litoidi eterogenee. Questi terreni affiorano nel bacino del torrente Furiano, in una fascia che si estende in modo frastagliato, da S. Fratello a Cesarò, nonché, in placche discontinue, nei territori di Capizzi, Caronia, Mistretta e Tusa.

Le argille scagliose passano superiormente ad un'alternanza calcareo-marnosa con calcilutiti biancastre e rari livelli calcarenitici riferibili alla "Formazione di Polizzi".

Segue un intervallo di "Argille varicolori" e quindi un'alternanza di marne, calcari marnosi e arenarie tufitiche appartenenti alla unità del "Flysch di Troina-Tusa", affiorante nelle zone di S. Teodoro, Mistretta e Tusa.

Il vasto territorio nebroideo compreso tra Acquedolci, Cesarò e S. Domenica di Vittoria, è costituito da un'altra unità alloctona in facies di flysch denominata "Flysch di M. Soro" e riferita ad un'età cretaceo-eocenica.

Nell'ambito di questa formazione vengono distinti vari intervalli (o "membri") di cui uno, inferiore, a composizione argilloso-calcareo, uno intermedio a composizione argilloso-arenacea e una parte sommitale prevalentemente quarzarenitica.

Il complesso dei terreni sicilidi si chiude con un'alternanza argilloso-arenaceo-conglomeratica denominata "Flysch di Reitano" le cui aree di affioramento sono localizzate nei Nebrodi occidentali e, nella zona a SSE del comprensorio di Taormina, sul fianco destro del fiume Alcantara, con la "Formazione di Piedimonte" costituita da una successione argilloso-arenacea oligocenica.

In sovrapposizione tettonica sui terreni del Complesso Sicilide, e in particolare sul Flysch di M. Soro, si accavalla, lungo l'allineamento S. Fratello-Sant'Agata di Militello-Roccella Valdemone-Taormina, un'altra successione di terreni alloctoni che, nel loro insieme, formano il "Complesso Calabride", che si estende nel settore nebroideo orientale e nella catena peloritana.



Regione Siciliana – Presidenza
Dipartimento della Protezione
Civile

Università degli Studi di Messina
C.A.R.E.C.I
Centro Attrazione Risorse
Esterne e Creazione d'Impresa

Questo è formato da varie falde di ricoprimento costituite da terreni di origine metamorfica con placche discontinue di una copertura sedimentaria prevalentemente carbonatica.

La posizione strutturale delle falde è chiaramente indicativa di un'inversione dell'originaria successione stratigrafica in quanto le varie unità sono in atto accavallate in ordine di metamorfismo crescente.

In pratica, in ordine di sovrapposizione dal basso verso l'alto, si riscontrano le seguenti successioni litologiche.

In corrispondenza della fascia di sovrapposizione con i terreni sicilidi, e cioè lungo l'allineamento sopra indicato, vengono distinte tre unità strutturalmente molto simili denominate rispettivamente "Unità di Capo S. Andrea", "Unità di Longi-Taormina", "Unità di S. Marco D'Alunzio".

Si tratta di tre successioni costituite da un intervallo basale di metamorfiti di basso grado, a prevalenti semiscisti clorico-sericitici grigio-nerastri e filladi, e da una sovrastante successione sedimentaria, talora lacunosa e condensata, comprendente un livello di arenarie e conglomerati rossi e una serie carbonatica a calcari, dolomie, calcari marnosi e marne in facies di "scaglia".

Ancora piuttosto simile alle precedenti risulta la "Unità di Rocca Novara" affiorante nella zona di Novara di Sicilia, anch'essa costituita di metamorfiti di basso grado e da lembi residui di una copertura carbonatica.

Seguendo l'ordine di sovrapposizione tettonica si passa ad una unità a prevalenti filladi con discontinui lembi di calcari e calcari marnosi, denominata "Unità di Mandanici".

Il Complesso Calabride si chiude con la "Falda dell'Aspromonte", costituita da metamorfiti di medio-alto grado a prevalenti micascisti, gneiss biotitici e occhiadini con intrusioni aplitico-pegmatitiche.

Questa unità forma l'ossatura dei Peloritani orientali, da Messina a Castoreale, affiorando in modo discontinuo fino a Capo Calavà e a Capo d'Orlando.

Le Unità calabridi vengono ricoperte, in discordanza, dal "Flysch di Capo d'Orlando", di età compresa tra l'Oligocene ed il Miocene inferiore, formato da un intervallo basale conglomeratico, in lenti talora piuttosto potenti, e da una



PROTEZIONE CIVILE
Presidenza del Consiglio dei Ministri
Dipartimento della Protezione Civile



Regione Siciliana – Presidenza
Dipartimento della Protezione
Civile



Università degli Studi di Messina
C.A.R.E.C.I
Centro Attrazione Risorse
Esterne e Creazione d'Impresa

successione di prevalenti arenarie grigio-giallastre con subordinati livelli o interstrati argillitico-siltosi.

Questa formazione risulta molto estesa nella fascia di passaggio tra i Peloritani e i Nebrodi, e si rinviene anche in placche discontinue sovrapposte alle metamorfite nel settore SE dei Peloritani fino alle aree di Limina e S. Alessio Siculo.

Dall'analisi dell'assetto strutturale del flysch emergono chiare evidenze indicative di un parziale coinvolgimento dello stesso nei movimenti tettonici che hanno coinvolto la successione delle unità metamorfiche.

In ricoprimento tettonico sul Flysch di Capo d'Orlando, e sulle unità calabridi, si rinvencono, più diffusamente sul versante tirrenico della dorsale peloritana, ad Est dell'allineamento Brolo-Floresta e fino a S. Lucia del Mela, numerose placche di argille caotiche variegata che nella letteratura specializzata vengono individuate con la denominazione di "Complesso Sud-Liguride" o "Argille Scagliose Antisicilidi".

Su questa unità poggiano in discordanza tettonica delle arenarie glauconitiche piuttosto smembrate note con la denominazione di "Calcareniti di Floresta", corrispondenti al "Complesso Post-sudliguride" di OGNIBEN (1960).

Le formazioni geologiche già descritte, tutte collegate alla dinamica dell'orogenesi alpina, vengono localmente ricoperte da una successione di terreni postorogeni autoctoni essenzialmente costituita da:

- una formazione basale conglomeratico-arenacea-sabbiosa o marnosa datata al Miocene superiore, affiorante lungo le fasce pedemontane del settore NE del territorio provinciale di Messina;
- livelli, piuttosto limitati, di depositi di facies evaporitica (Serie Gessoso-Solfifera) con lenti di calcari bianchi, spesso brecciati, gessi, gessareniti e livelletti di argille gessose, passanti verso l'alto a marne e calcari marnosi bianchi a foraminiferi (Trubi). Questi terreni si rinvencono in numerose placche piuttosto scompagnate dalla periferia di Messina (zona di Annunziata e Giostra e nell'area di Castanea-Gesso) fino a Villafranca Tirrena - Rometta, Venetico, Roccavaldina e Pace del Mela, ed altri piccoli affioramenti nella zona ad Ovest, fino a Patti;
- una successione di marne e argille azzurre passanti a facies sabbioso-calcarenitiche, di età plio-pleistocenica, presente lungo l'immediato entroterra



Regione Siciliana – Presidenza
Dipartimento della Protezione
Civile

Università degli Studi di Messina
C.A.R.E.C.I
Centro Attrazione Risorse
Esterne e Creazione d'Impresa

- costiero da Villafranca a Furnari (facies argilloso-sabbiose) nonchè, in placche isolate, in altre località, come a Naso e Rometta;
- la formazione pleistocenica delle “sabbie e ghiaie di Messina” costituita da depositi di sabbie, ghiaie e conglomerati di origine fluvio-deltizia, affiorante in placche con spessore fino ad oltre 200 metri, sulle propaggini collinari prospicienti la linea di costa, nella fasce costiere tra S. Alessio e Nizza di Sicilia e a Nord di Messina. Relativamente alla loro genesi le Ghiaie di Messina sono oggetto di differenti interpretazioni infatti secondo alcuni autori sono considerate trasgressive su tutti i termini sottostanti (LOMBARDO, 1980; GHISSETTI, 1981; ATZORI et alii, 1983) mentre, BARRIER (1987) considera questi corpi come una facies deltizia diacrona, regressiva a progradazione centripeta diretta verso il centro dello Stretto, in seguito al brusco sollevamento dei retrostanti terreni cristallini. In ogni caso tutti concordano nel definire le Ghiaie di Messina come una successione sedimentaria di ambiente transizionale dove è possibile distinguere una porzione basale tipicamente marina e una porzione superiore tipica degli ambienti transizionali costieri;
 - i depositi alluvionali di origine fluviale, terrazzati, recenti o attuali, a composizione sabbiosa ghiaiosa che, lungo le fasce costiere e i fondovalle dei corsi d'acqua principali, ricoprono le unità precedentemente descritte, con spessori talora piuttosto consistenti.

Gli studi più recenti tendono ad inquadrare la situazione strutturale della zona nell'ambito del quadro tettonico legato all'orogene appenninico-maghrebide (Africa settentrionale). In tale ottica nel settore NE della Sicilia s'individuerebbero due elementi strutturali principali tettonicamente sovrapposti e denominati: “Catena Kabilo-Calabride” e “Catena Appenninico-Maghrebide” (LENTINI et alii, 1995). La Catena Kabilo-Calabride comprende le falde di ricoprimento con basamento metamorfico, con le relative coperture mesocenozoiche e costituisce l'ossatura dei Peloritani. Essa si sovrappone, lungo un fronte compreso tra S. Agata di Militello e Taormina, alla Catena Appenninico-Maghrebide, prevalentemente costituita terreni sedimentari in parte riferibili al “Complesso Sicilide” di OGNIBEN, (Argille scagliose, Flysch di M. Soro, FLysch Numidico).



Regione Siciliana – Presidenza
Dipartimento della Protezione
Civile

Università degli Studi di Messina
C.A.R.E.C.I
Centro Attrazione Risorse
Esterne e Creazione d'Impresa

In riferimento agli schemi strutturali sopra citati, in letteratura si rinvengono numerosi altri lavori tendenti a definire le caratteristiche tettoniche, litologiche e stratigrafiche delle varie unità o a proporre modelli cinematici o tettonico-strutturali spesso in netto contrasto tra di loro.

I temi trattati nei suddetti lavori, pur se interessanti dal punto di vista del perfezionamento del modello geologico strutturale regionale, risultano poco rilevanti ai fini dell'analisi della geologia di ambito comunale, in relazione agli scopi degli odierni studi.

4.4 Assetto geologico strutturale dell'area esaminata

Le caratteristiche geologiche e stratigrafiche del territorio comunale di Rometta sono state definite attraverso l'analisi dei dati derivabili dalla documentazione fornita dall'Amministrazione Comunale, descritta in dettaglio nel cap. 3 delle presenti note, integrati con quelli disponibili nella bibliografia consultata.

Sono state delimitate due distinte selezioni areali, in corrispondenza del centro storico di Rometta, la prima, e della frazione costiera di Rometta Marea la seconda, entrambe ricadenti nel settore orientale dei Monti Peloritani che, costituisce il lembo meridionale dell'Arco Calabro Peloritano in cui la Catena Appenninica Meridionale si raccorda alla Catena Siculo-Maghrebide.

I terreni affioranti sono di natura metamorfica e sedimentaria, con rapporti giaciturali regolati da complesse strutture tettoniche determinate da grandi dislocazioni a "falde di ricoprimento" verificatesi nel corso dell'orogenesi alpina-appenninica e, successivamente, dai movimenti epirogenetici che hanno portato al sollevamento della dorsale settentrionale della Sicilia.

4.5 Stratigrafia dell'area esaminata

Nel dettaglio la successione stratigrafica è costituita:

- Metamorfiti dell'Unità dell'Aspromonte (Paleozoico):

Paragneiss biotitici;

- Alternanza conglomeratico arenaceo pelitica (Langhiano);

- Alternanza molassico - pelitica (Langhiano - Tortoniano);



Regione Siciliana – Presidenza
Dipartimento della Protezione
Civile

Università degli Studi di Messina
C.A.R.E.C.I
Centro Attrazione Risorse
Esterne e Creazione d'Impresa

- Calcare di base (Messiniano);
- Arenarie e calcareniti organogene (Pliocene sup. Pleistocene inf.);
- Argille marnose (Pliocene sup. Pleistocene inf.);
- Terrazzi fluvio marini (Pleistocene medio ed inf.);
- Alluvioni e Depositi di spiaggia (Olocene);

Inoltre sono stati evidenziati i seguenti elementi:

- contatti tettonici generici (probabili linee di frattura, lineazioni morfologiche desunte da aerofoto-interpretazione).
- linee di ricoprimento tettonico.

Unità dell'Aspromonte

Si tratta dell'unità che, dal punto di vista della sovrapposizione tettonica, si trova alla base della successione dei terreni che affiorano nelle selezioni areali considerate.

Affiora estesamente nell'area dove sorge il centro storico di Rometta ed a S della fascia costiera dove si è sviluppata la frazione di Rometta Marea.

L'Unità dell'Aspromonte comprende terreni metamorfici di medio ed alto grado, e nel territorio comunale di Rometta è rappresentata da paragneiss biotitici di vario tipo che sfumano in apliti e pegmatoidi e, meno frequentemente, a gneiss migmatitici e granitoidi. Si osservano anche passaggi a micascisti con intercalazione di anfiboliti, marmi e fels-calcico silicatici.

La formazione si presenta fortemente tettonizzata con un diffuso reticolo di microfratture concentrato entro le superfici di discontinuità che si individuano tra i corpi leucosomatici e quelli melanosomatici. Lungo le dislocazioni tettoniche sono presenti ampie fasce cataclastiche e una maggiore concentrazione, nel corpo roccioso, di diaclasi e leptoclasii.

Alternanza Conglomeratico Arenaceo Pelitico

Formazione torbidity trasgressiva sui terreni dell'Unità dell'Aspromonte costituita da depositi detritici alternati in diverse facies litostratigrafiche.



Regione Siciliana – Presidenza
Dipartimento della Protezione
Civile

Università degli Studi di Messina
C.A.R.E.C.I
Centro Attrazione Risorse
Esterne e Creazione d'Impresa

Si passa da una facies basale conglomeratica a facies arenaceo pelitiche, l'insieme è caratterizzato da frequenti eteropie laterali e verticali.

I conglomerati basali si sono formati dallo smantellamento di preesistenti rilievi cristallini e sedimentari come dimostrato dalla presenza di gneiss, filladi, micascisti, graniti, calcari e quarzareniti. Dal punto di vista granulometrico si osservano ciottoli subarrotondati con diametro da qualche centimetro ad oltre 40 cm, immersi in una matrice eterogenea sabbioso siltosa legata da un cemento carbonatico. La facies evolve eteropicamente, sia verso l'alto sia lateralmente, a depositi arenacei quarzoso micacei alternati a livelli pelitici.

Le arenarie, di colore giallastro, possiedono una granulometria medio fine e sono mediamente cementate, localmente si possono, però, osservare affioramenti meno cementati e facilmente friabili. Alle arenarie sono intercalati livelli e strati di marne argillose, siltiti e argilliti, irregolarmente distribuiti in seno alla successione, anche se, verso l'alto, la componente pelitica tende a prevalere.

La formazione presenta sistemi di fratturazione a grande e piccola scala (leptoclasti e diaclasi) e soluzioni di continuità tra i giunti di strato a differente litologia che rendono significativamente decompresso l'intero deposito. Le fratture subortogonali, generalmente con profilo irregolare, sono generalmente di tipo interlocking che conferiscono agli affioramenti aspetti di tipo massivo. Negli interstrati pelitici i giunti si presentano del tipo interfering che rappresentano i punti di debolezza dell'insieme, ridimensionandone quindi le potenzialità geomeccaniche che pertanto risultano strettamente legate alla prevalenza della componente argillosa.

Alternanza Molassico Pelitica

L'Alternanza Conglomeratico Arenaceo Pelitica evolve superiormente, e gradualmente, ad una facies molassica, classificata nello studio geologico di P.R.G. come subgrovacca ricca di quarzo e mica, ed a una successiva alternanza di strati di molassa e banconi siltitici ed argillitici sottilmente laminati.

I litotipi di questa successione si presentano con caratteristiche meccaniche degradate, ridotta coesione, quindi molto friabili, risultando particolarmente soggetti all'azione erosiva delle acque superficiali e d'infiltrazione.



Regione Siciliana – Presidenza
Dipartimento della Protezione
Civile

Università degli Studi di Messina
C.A.R.E.C.I
Centro Attrazione Risorse
Esterne e Creazione d'Impresa

Calcare di base

Nel territorio comunale di Rometta, in trasgressione sulla precedente alternanza terrigena, è presente la serie evaporitica gessoso solfifera. Si rinvencono successioni incomplete e di ridotto spessore che rappresentano lembi marginali dell'originario bacino evaporitico.

Nell'area selezionata per il presente studio si rinviene unicamente il termine iniziale della serie costituito dal Calcare di base, come affioramento continuo a tratti, talora a lembi isolati, che orla il piede della rocca su cui sorge il centro storico dell'abitato di Rometta e nelle aree antistanti l'immediato retrospiaggia nella zona costiera.

Le superfici esposte all'alterazione, di colore grigio bruno, appaiono brecciate con strutture di dissoluzione e consistenza farinosa; al taglio fresco il colore diventa bianco giallastro, evidenziando una stratificazione a livelli da 2 a 15 cm di spessore.

Lo studio geologico di P.R.G. segnala, in seno alla massa rocciosa, la presenza di lenti e livelli pelitici e passaggi laterali a facies di brecce calcaree cementate, più o meno solidamente, da matrice calcarea.

Dal punto di vista strutturale il calcare di base si presenta massivo in profondità e disarticolato in superficie e nelle facies brecciate, nel complesso moderatamente fratturato.

Arenarie e Calcareniti Organogene

L'abitato storico di Rometta sorge su di una rocca interamente costituita da questa successione la quale si rinviene anche nell'area costiera in prossimità della foce del torrente Boncordo.

Gli affioramenti, in genere ben esposti, si presentano come pareti massive, quasi verticali, con un'evidente stratificazione in bancate potenti anche alcuni metri con intercalazioni di sottili livelli pelitici. La litologia è data da arenarie mediamente cementate, di colore giallo arancio, fini mal classate a prevalente matrice carbonatica attraversate da fratture beanti ortogonali ai piani di stratificazione.

Superiormente la formazione evolve in una successione composta da conglomerati e calcareniti organogene, prevalentemente a stratificazione incrociata,



Regione Siciliana – Presidenza
Dipartimento della Protezione
Civile

Università degli Studi di Messina
C.A.R.E.C.I
Centro Attrazione Risorse
Esterne e Creazione d'Impresa

irregolarmente associate e locale variabile prevalenza di un litotipo rispetto all'altro. Presentano una minore fratturazione rispetto ai termini inferiori.

Argille Marnose

Affiorano sulla vetta della rocca di Rometta dove nel medioevo sorgeva il centro fortificato, oggi sede di un parco urbano titolato a Federico II, al centro dell'area urbana.

Si tratta di argille, talora fossilifere, con lenti o livelli sabbiosi a clasti quarzosi mediamente coerenti.

Terrazzi Fluvio Marini

Nell'area costiera si ritrovano spianate di abrasione marina e più limitate spianate nelle valli dei torrenti riferibili all'azione di terrazzamento fluviale. Nello studio geologico di P.R.G. non è stato intrapreso nessun approfondimento sulla distinzione tra i prodotti dei due differenti ambienti per cui nel seguito i relativi depositi saranno trattati unitariamente, nell'ipotesi di una generale similitudine litologica.

Le superfici terrazzate sono uniformemente ricoperte da depositi detritici, poco coerenti, costituiti da ciottoli e ghiaie di natura carbonatica e subordinatamente da blocchi isolati, più frequenti nella parte basale del deposito, immersi in una matrice sabbioso limosa incoerente o debolmente cementata.

Alluvioni e Depositi di Spiaggia

Le prime si ritrovano nel fondo valle dei corsi d'acqua principali e sono costituiti da depositi granulometricamente eterogenei (da ciottoli fino a blocchi grossolani di cospicue dimensioni), di varia natura immersi in una matrice da ghiaiosa sabbioso limosa a ghiaioso sabbiosa argillosa, con passaggi a lenti pelitiche. I termini litologici possiedono generalmente strutture lenticolari con frequenti passaggi eteropici irregolari che conferiscono all'insieme un aspetto caotico. L'ammasso è da considerare privo di coesione.



Regione Siciliana – Presidenza
Dipartimento della Protezione
Civile

Università degli Studi di Messina
C.A.R.E.C.I
Centro Attrazione Risorse
Esterne e Creazione d'Impresa

Le caratteristiche di tali depositi, che si ritrovano estesamente per tutta la spiaggia prospiciente la frazione di Rometta Marea fino alle spalle dell'area urbanizzata sono state riferite, nello studio geologico di P.R.G., alla classe delle sabbie poligeniche medie e grossolane.

4.6 Analisi geomorfologica ed assetto dei versanti

L'analisi geomorfologica dei versanti e del territorio, più in generale, permette la ricostruzione morfodinamica ed il riconoscimento delle azioni morfogenetiche, per l'individuazione di tutti i fattori essenziali allo sviluppo dello studio di MS secondo i criteri dettati dagli ICMS.

L'evoluzione morfologica progredisce in funzione della naturale opera di erosione dei rilievi che, successivamente si depositano nelle depressioni. La velocità del processo è modulata dall' "energia del rilievo", dove la conformazione orografica e lito - strutturale esalta le azioni gravitative, dai fattori climatici e dall'uso del suolo.

Fattori stabilizzanti quali forestazioni, opere di sistemazione dei pendii e di regolazione del deflusso idraulico, lungo gli alvei interessati da erosione, contribuiscono, al contrario, a rallentare le azioni morfodinamiche.

In generale la fisiografia è condizionata dalle caratteristiche litologiche dei terreni affioranti che determinano la risposta geomorfologica agli agenti morfoevolutivi, è infatti possibile osservare che il territorio qui esaminato presenta una fisiografia aspra ed irregolare totalmente condizionata dalla litologia presente.

Dall'esame degli elaborati dello studio geologico di PRG, e della cartografia del PAI Sicilia e di quanto disponibile in bibliografia è stato possibile derivare, per tutto il territorio comunale di Rometta, le principali evidenze geomorfologiche, riportate nell'allegata carta geologico - tecnica.

Mediante la classificazione e la ridisposizione di tali dati è stato realizzato un modello territoriale quantitativo (Figura 4) in cui le aree, caratterizzate dai vari livelli di instabilità, sono sovrapposte alla distribuzione clivometrica.

La procedura seguita può essere così schematizzata:

1. Analisi della cartografia acquisita (Studio Geologico di PRG, PAI, CARG);
2. Acquisizione dei dati coerenti con gli standard ICMS;



Regione Siciliana – Presidenza
Dipartimento della Protezione
Civile

Università degli Studi di Messina
C.A.R.E.C.I
Centro Attrazione Risorse
Esterne e Creazione d'Impresa

3. Elaborazione numerica e digitale per l'individuazione e classificazione di:
 - a. Scarpate morfologiche tra 10 e 20 m e superiori ai 20 m
 - b. Creste
 - c. Picchi isolati
 - d. Orlo di terrazzi fluviali tra 10 e 20 m e superiori ai 20 m
 - e. Perimetrazione dei dissesti;
4. Classificazione e popolamento degli elementi individuati secondo gli standard 2.0_Betall.

Di seguito viene restituito il risultato sotto forma di elaborato cartografico (Figura 4) e di tabelle riepilogative quantitative degli elementi geomorfologici individuati.

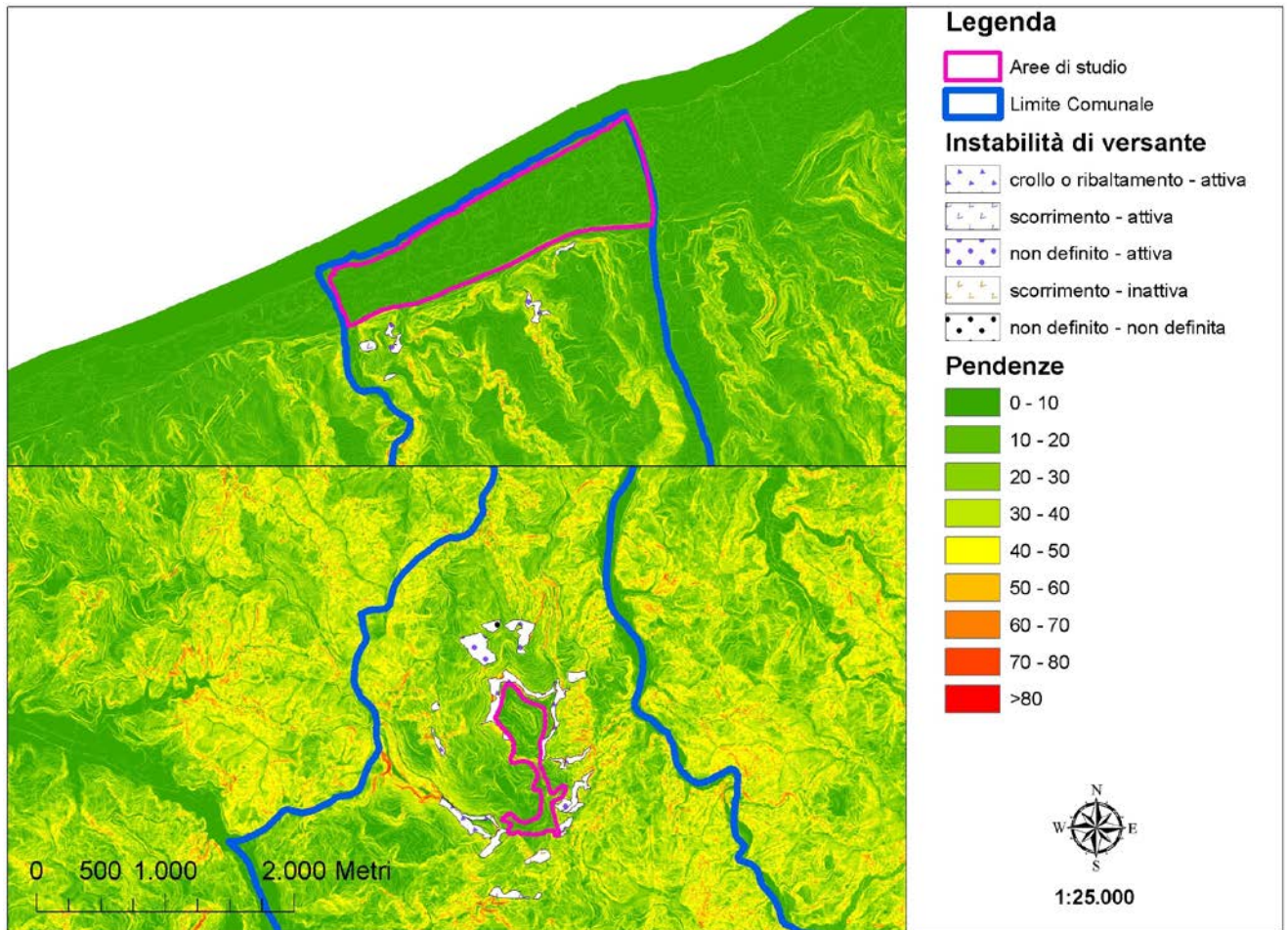


Figura 4 – Carta delle pendenze e dei dissesti geomorfologici

Descrizione	Numero
Orlo di scarpata morfologica (10-20m)	27
Orlo di scarpata morfologica (>20m)	7
Picchi isolati	3

Tabella 1 - Trasposizione analitica degli elementi geomorfologici individuati.



Regione Siciliana – Presidenza
Dipartimento della Protezione
Civile

Università degli Studi di Messina
C.A.R.E.C.I
Centro Attrazione Risorse
Esterne e Creazione d'Impresa

Per la selezione areale di Rometta, qui in esame, sono stati censiti 34 dissesti: gli eventi più frequenti risultano quelli conseguenti a crollo o ribaltamento (7) e frana complessa (9) seguiti da eventi provocati da scorrimento (5) ed erosione accelerata (4).

La tabella seguente (Tabella 2) esibisce i dati raccolti raggruppati per tipologia di dissesto.

Tipo dissesto	N° totale	Superficie Totale (mq)
Crollo o ribaltamento	8	243700
Colamento rapido	1	1183
Scorrimento	5	49982
Frana complessa	9	145609
Colamento lento	2	213105
Area a franosità diffusa	3	112969
Dissesti conseguenti ad erosione accelerata	4	198851
Non definito	2	11724

Tabella 2 - Trasposizione analitica delle aree in dissesto individuate (PAI).

I dissesti censiti sono stati cartografati, classificati (per tipologia e per stato di attività) e sono riportati, ove previsto, negli elaborati cartografici prodotti dal presente studio.

4.7 Classificazione litologica dei terreni affioranti

Per quanto concerne la realizzazione della carta Geologico – Tecnica le indicazioni riportate negli ICMS prevedono la classificazione preliminare delle formazioni geologiche, attenendosi ai criteri dell'Unified Soil Classification System (ASTM, 1985), in due categorie:

- Substrato geologico
- Terreni di copertura

Nelle figure di seguito proposte (tratte da Microzonazione Sismica – standard di rappresentazione e archiviazione informatica, Figura 5, Figura 6) sono riportate tutte



Regione Siciliana – Presidenza
Dipartimento della Protezione
Civile

Università degli Studi di Messina
C.A.R.E.C.I
Centro Attrazione Risorse
Esterne e Creazione d'Impresa

le sottocategorie, definite negli ICMS, in cui sia il substrato geologico rigido e non rigido sia i terreni di copertura, sono ulteriormente suddivisi in funzione delle loro essenziali caratteristiche geomeccaniche e geotecniche.

Substrato geologico rigido o non rigido		
	LP	Lapideo
	GR	Granulare cementato
	CO	Coesivo sovraconsolidato
	AL	Alternanza di litotipi
	NR	Substrato geologico non rigido
	SF	Substrato geologico rigido molto fratturato
	LPS	Lapideo, stratificato
	GRS	Granulare cementato, stratificato
	COS	Coesivo sovraconsolidato, stratificato
	ALS	Alternanza di litotipi, stratificato
	NRS	Substrato geologico non rigido, stratificato

Figura 5 – Legenda della carta geologico tecnica della microzonazione sismica: substrato rigido o non rigido.

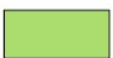
Terreni di copertura		
	RI	Terreni contenenti resti di attività antropica
	GW	Ghiaie pulite con granulometria ben assortita, miscela di ghiaia e sabbie
	GP	Ghiaie pulite con granulometria poco assortita, miscela di ghiaia e sabbia
	GM	Ghiaie limose, miscela di ghiaia, sabbia e limo
	GC	Ghiaie argillose, miscela di ghiaia, sabbia e argilla
	SW	Sabbie pulite e ben assortite, sabbie ghiaiose
	SP	Sabbie pulite con granulometria poco assortita
	SM	Sabbie limose, miscela di sabbia e limo
	SC	Sabbie argillose, miscela di sabbia e argilla
	OL	Limi organici, argille limose organiche di bassa plasticità
	OH	Argille organiche di media-alta plasticità, limi organici
	MH	Limi inorganici, sabbie fini, Limi micacei o diatomitici
	ML	Limi inorganici, farina di roccia, sabbie fini limose o argillose, limi argillosi di bassa plasticità
	CL	Argille inorganiche di media-bassa plasticità, argille ghiaiose o sabbiose, argille limose, argille magre
	CH	Argille inorganiche di alta plasticità, argille grasse
	PT	Torbe ed altre terre fortemente organiche

Figura 6 - Legenda della carta geologico tecnica della microzonazione sismica: terreni di copertura

Secondo tali indicazioni i terreni riconosciuti nel comprensorio comunale di Rometta sono stati classificati nel modo seguente:

A) Substrato geologico di tipo “Lapideo” (LP) - litofacies metamorfiche dell'Unità dell'Aspromonte: i litotipi si presentano intensamente fratturati;

B) Substrato geologico di tipo “Alternanza di Litotipi Stratificati” (ALS) - litofacies dell'Alternanza Conglomeratica Arenacea Pelitica: si presenta variamente fratturata;

C) Substrato geologico di tipo “Lapideo Stratificato” (LPS) - litofacies arenacea della serie Gessoso Solfifera, Calcarea di base: si presenta variamente fratturato;



Regione Siciliana – Presidenza
Dipartimento della Protezione
Civile

Università degli Studi di Messina
C.A.R.E.C.I
Centro Attrazione Risorse
Esterne e Creazione d'Impresa

D) Substrato geologico di tipo “Granulare Cementato Stratificato” (GRS) - litofacies delle formazioni di Arenarie e Calcareniti Organogene: si presentano variamente fratturate;

E) Terreni di copertura classificati come “Ghiaie limose, miscela di ghiaia sabbia e limo” (GM) delle seguenti formazioni:

- Terrazzi fluvio marini
- Depositi di spiaggia
- Alluvioni;

F) Terreni di copertura classificati come “Argille inorganiche di media e bassa plasticità, argille ghiaiose o sabbiose” (CL) - formazione delle Argille Marnose.

La precedente classificazione è compendata nella seguente tabella e restituita nell'allegata Carta geologico-tecnica (Figura 7).

Categorie	Sottocategorie	Litotipi
Substrato rigido o non rigido	Granulare cementato stratificato (GRS)	Arenarie della Formazione di Rometta
	Lapideo stratificato (LPS)	Calcari di base
	Alternanza di litotipi stratificati (ALS)	Conglomerati – arenarie – peliti Formazione S. P. Niceto
	Lapideo (LP)	Unità dell'Aspromonte
Terreni di copertura	Ghiaie limose, miscela di ghiaia, sabbia e limo (GM)	Alluvioni
		Depositi di spiaggia e pianura costiera
	Argille inorganiche di media - bassa plasticità, argille ghiaiose o sabbiose, argille limose, argille magre (CL)	Terrazzi fluvio marini Argille della Formazione di Rometta

Tabella 3 - Compendio della classificazione litologica.

Regione Siciliana – Presidenza
Dipartimento della Protezione
Civile

Università degli Studi di Messina
C.A.R.E.C.I
Centro Attrazione Risorse
Esterne e Creazione d'Impresa

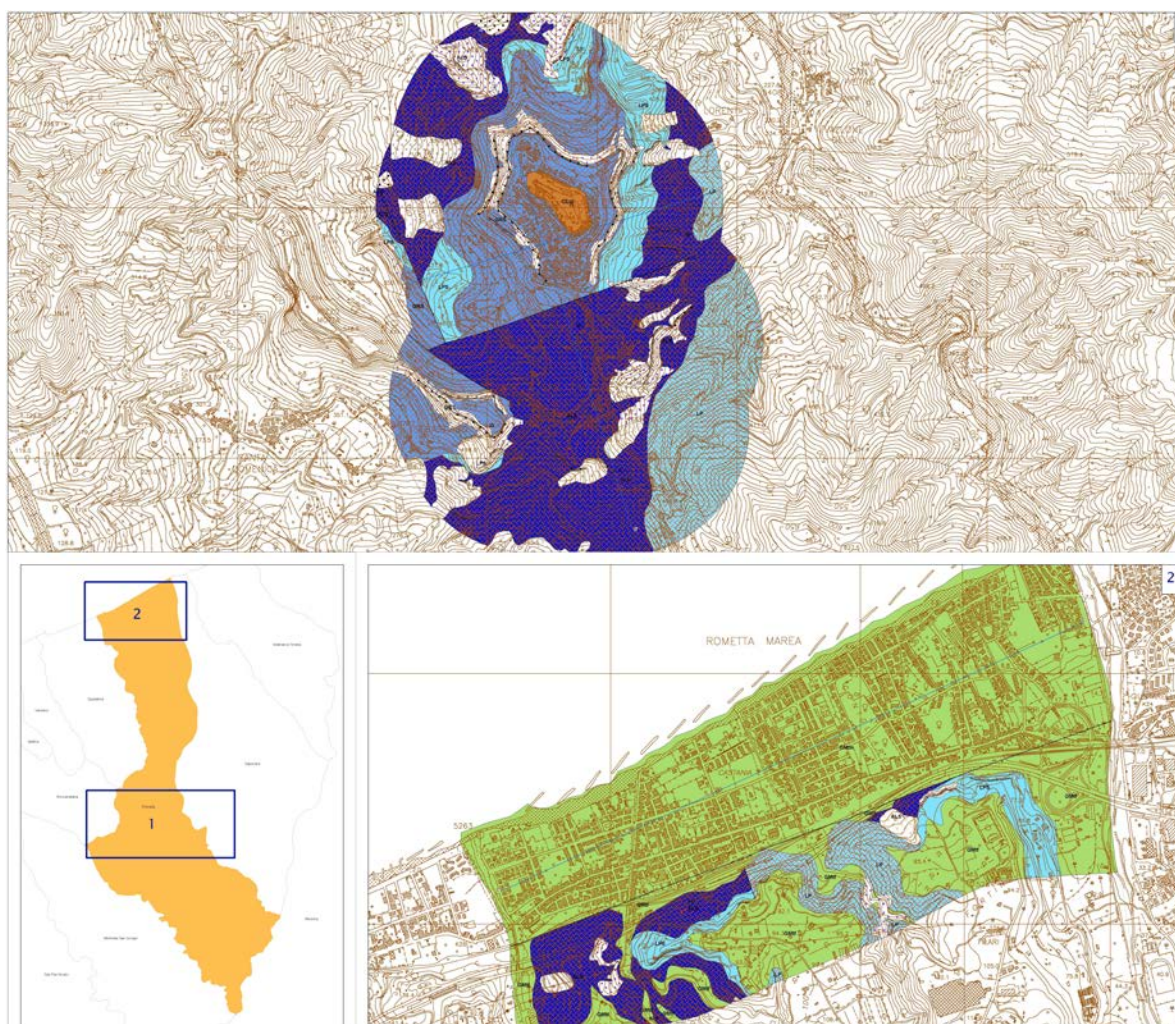


Figura 7 - Carta geologico tecnica



Regione Siciliana – Presidenza
Dipartimento della Protezione
Civile

Università degli Studi di Messina
C.A.R.E.C.I
Centro Attrazione Risorse
Esterne e Creazione d'Impresa

5 DEFINIZIONE DELLA PERICOLOSITA' SISMICA DI BASE ED EVENTI DI RIFERIMENTO

La “pericolosità sismica di base”, più generalmente indicata semplicemente pericolosità sismica, costituisce l'elemento di conoscenza primario per la valutazione delle azioni sismiche attese.

La pericolosità sismica di un generico sito deve essere descritta con un sufficiente livello di dettaglio, sia in termini geografici sia temporali. I relativi risultati sono forniti, in corrispondenza dell'area considerata, come valori di accelerazione orizzontale massima a_g , riferita ad un sito rigido orizzontale ($V_s > 800$ m/s), e per diverse probabilità di superamento e/o diversi periodi di ritorno.

L'azione sismica così individuata viene successivamente variata, per tener conto delle modifiche prodotte dalle condizioni locali stratigrafiche del sottosuolo e dalla morfologia della superficie topografica. Tali modifiche riguardano gli studi di risposta sismica locale.

La valutazione della pericolosità sismica deve derivare da studi estesi a livello nazionale, su dati aggiornati, con procedure e metodologie validate che devono essere resi pubblici in modo da consentire la riproduzione dell'intero processo.

In Italia i risultati ufficialmente accreditati, dei più recenti studi di pericolosità sismica che fanno uso delle tecniche di ricerca ed analisi dei dati di base più avanzati, sono disponibili nel CPTI 11 (ROVIDA et alii, 2011, Catalogo Parametrico dei Terremoti italiani) che utilizza i dati derivati dal DBMI11 (LOCATI et alii, 2011, Data Base Macrosismico Italiano 11) che oggi è già alla sua terza versione pubblica.



Regione Siciliana – Presidenza
Dipartimento della Protezione
Civile

Università degli Studi di Messina
C.A.R.E.C.I
Centro Attrazione Risorse
Esterne e Creazione d'Impresa

5.1 Sismicità storica della Sicilia orientale e Calabria meridionale

Il quadro della sismicità che in epoca storica ha interessato la Sicilia Orientale e Calabria meridionale, area di riferimento per il presente studio, si può utilmente derivare dai cataloghi sismici:

- CFTI04MED (GUIDOBONI et alii, 2007);
- DBMI11 (LOCATI et alii, 2011);
- CPTI11 (ROVIDA et alii, 2011).

Nelle Figure 8 e 9, estratte dal CPTI11, è mostrata la distribuzione degli epicentri dei terremoti avvenuti nell'area considerata nell'intervallo temporale 1000-1899 (Figura 8) e 1900-2006 (Figura 9) con un' indicazione della classe di magnitudo M_w (Magnitudo momento).

In Figura 10 sono riportate le massime intensità risentite per ogni località della Sicilia Orientale e della Calabria meridionale estratte dal catalogo DBMI11 che contiene 86071 MDP (Macroseismic Data Points) relativi a 1684 terremoti avvenuti dopo il 1000.

I dati sono riferiti a 15416 località e ad ogni punto riportato in figura è associata la massima intensità risentita.



Regione Siciliana – Presidenza
Dipartimento della Protezione
Civile

Università degli Studi di Messina
C.A.R.E.C.I
Centro Attrazione Risorse
Esterne e Creazione d'Impresa

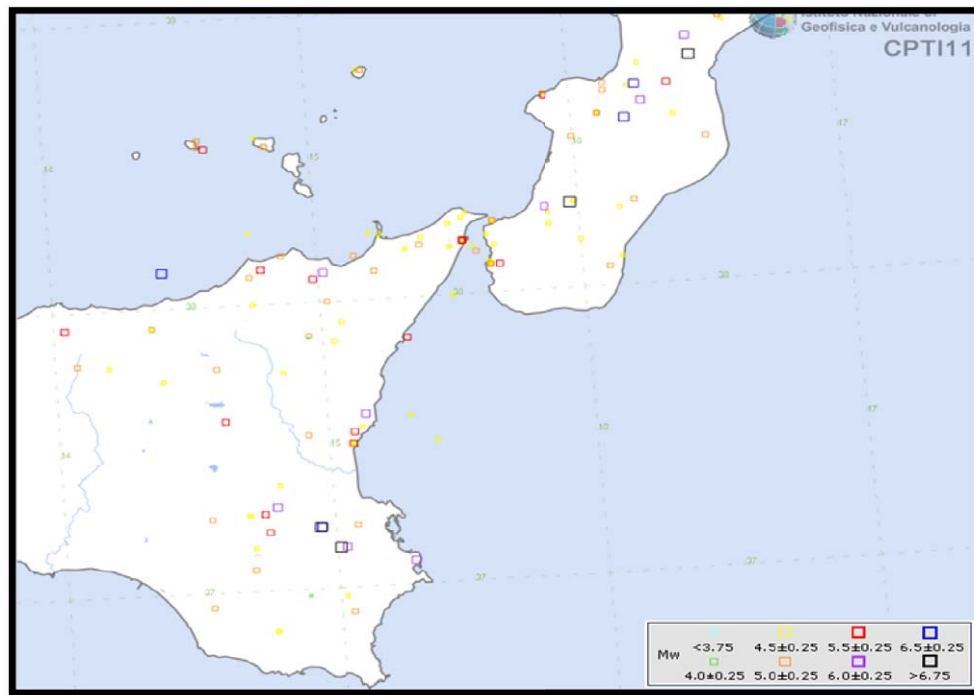


Figura 8 - Distribuzione degli epicentri dei terremoti della Sicilia orientale e della Calabria meridionale nell'intervallo temporale 1000-1899 (CPT111, Rovida et alii , 2011).



Regione Siciliana – Presidenza
Dipartimento della Protezione
Civile

Università degli Studi di Messina
C.A.R.E.C.I
Centro Attrazione Risorse
Esterne e Creazione d'Impresa

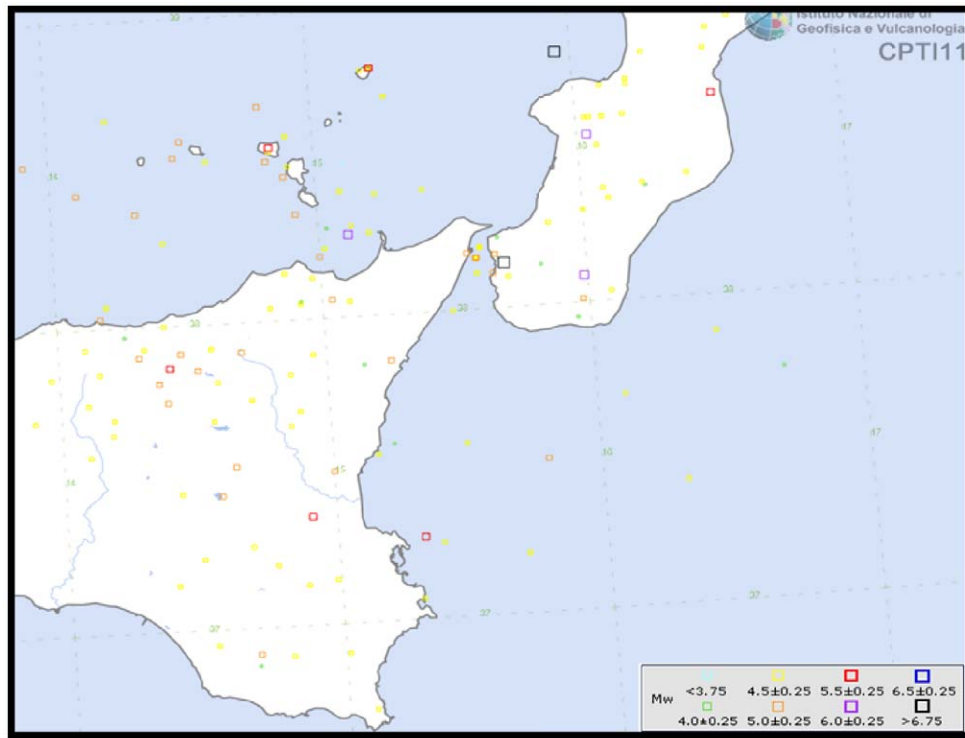


Figura 9 - Distribuzione degli epicentri dei terremoti della Sicilia orientale e della Calabria meridionale nell'intervallo temporale 1900-2006 (CPT111, Roviata et alii, 2011).

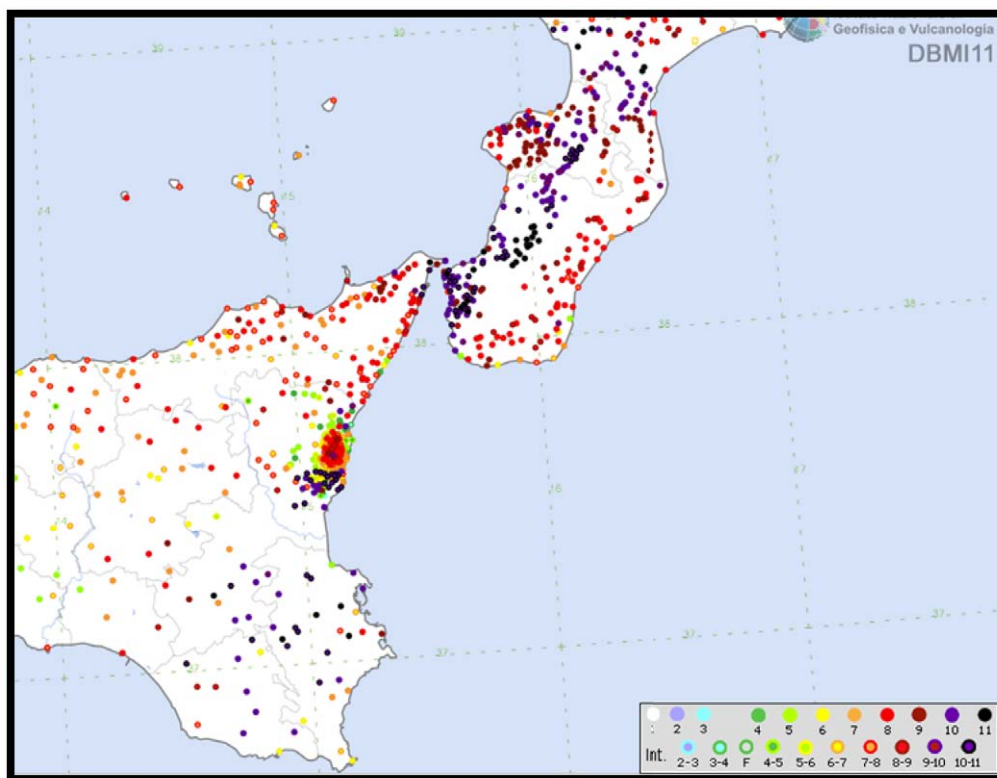


Figura 10 - Massime intensità risentite per ogni località della Sicilia orientale e della Calabria meridionale (DBMI11, Locati et alii, 2011).

Dei numerosi terremoti che hanno colpito la Sicilia Orientale prima del XVI secolo, non si hanno informazioni sufficienti per ricostruire in maniera accurata gli effetti macrosismici. Dal catalogo CFTI04MED si sono considerati i seguenti eventi sismici storici, ricostruiti dalle fonti con sufficiente attendibilità, e ritenuti rappresentativi dello stile sismico dell'area in studio.

Sono terremoti che è possibile mettere in relazione alle strutture sismogenetiche presenti nella Sicilia orientale che hanno avuto effetti macrosismici significativi nelle aree colpite. La magnitudo macrosismica equivalente M_e (GASPERINI e FERRARI, 1995; 1997), riportata nel citato catalogo, è stata calcolata attraverso il metodo delle aree di risentimento che si basa su un adeguato campionamento del campo macrosismico.



Regione Siciliana – Presidenza
Dipartimento della Protezione
Civile

Università degli Studi di Messina
C.A.R.E.C.I
Centro Attrazione Risorse
Esterne e Creazione d'Impresa

Terremoto del 10.12.1542, ore 15:15, lat=37.23, lon=14.92, $I_{max}=10$, $M_e=6.9$: il terremoto fu avvertito in tutta la Sicilia e colpì in particolare l'entroterra collinare e montuoso degli Iblei. I danni maggiori si rilevano in un'area di circa 6000 kmq, comprendente Melilli, Occhiolà, Lentini, Sortino, Avola, Buccheri, Ferla, Giarratana, Monterosso Almo, Palazzolo Acreide e Vizzini, dove molti edifici crollarono o divennero completamente inagibili. Le massicce distruzioni furono favorite dalle morfologie urbanistiche, che avevano come comune denominatore la discontinuità altimetrica, e l'irregolarità delle murature degli edifici costruiti in varie fasi. In alcuni paesi, in particolare a Sortino e a Lentini, i danni furono aggravati da frane e scoscendimenti e dal cedimento dei terreni di fondazione. Danni di notevole entità si ebbero anche a Siracusa, per la quale è stato possibile localizzare le aree urbane più danneggiate, e a Catania; danni più leggeri si verificarono ad Agrigento. La scossa fu sentita a Messina, a Trapani e, fortemente, a Palermo.

Terremoto del 25.08.1613, ore 05:00, lat=38.117, lon=14.783, $I_{max}=9$, $M_e=5.6$: il terremoto avvenne all'alba del 25 agosto (alla latitudine della Sicilia settentrionale, all'incirca le ore 5:00 GMT). Gli effetti più gravi risultarono concentrati nella città di Naso, dove crollarono oltre 200 abitazioni e tutte le altre furono gravemente danneggiate. I morti furono 103 (53 persone morirono nel crollo della chiesa di S.Pietro dei Latini); numerosi i feriti. A Messina la scossa fu sentita violentemente e con grande panico, e causò qualche leggero danno.

Terremoto del 11.01.1693, ore 13:30, lat=37.42, lon=15.05, $I_{max}=11$, $M_e=7.5$: il terremoto del gennaio 1693 colpì un territorio vastissimo, in due riprese, a distanza di due giorni. La prima scossa avvenne il 9 gennaio alle ore 4:30 italiane (21:00 GMT ca.). Nonostante le difficoltà incontrate nel distinguere gli effetti di questo primo evento da quelli del terremoto successivo, è stato possibile delineare, in maniera soddisfacente, il quadro complessivo degli effetti. La seconda scossa avvenne l'11 gennaio alle ore 21 italiane (13:30 GMT ca.). Gli effetti furono catastrofici anche perché si sovrapposero in parte a quelli della scossa precedente. L'area colpita fu tuttavia molto più vasta: un intero territorio di oltre 14000kmq, considerando solo l'area dei danni maggiori, fu sconvolto. Complessivamente danni di rilievo sono stati riscontrati in un'area che va dalla Calabria meridionale a Palermo e all'arcipelago maltese. Ovviamente l'ampiezza totale dell'area di risentimento è sconosciuta perché il mare limita il riscontro degli effetti osservabili; tuttavia, sembra accertato che la scossa fu avvertita sensibilmente nella Calabria settentrionale e sulla costa tunisina. Tutte le città più importanti



PROTEZIONE CIVILE
Presidenza del Consiglio dei Ministri
Dipartimento della Protezione Civile



Regione Siciliana – Presidenza
Dipartimento della Protezione
Civile



Università degli Studi di Messina
C.A.R.E.C.I
Centro Attrazione Risorse
Esterne e Creazione d'Impresa

della Sicilia sud orientale furono sconvolte. Catania fu quasi interamente distrutta, così come Acireale e tutti i piccoli insediamenti sparsi sul versante orientale dell'Etna. Distruzioni vastissime si verificarono in tutti i centri della Val di Noto: Vizzini, Sortino, Scicli, Ragusa, Palazzolo Acreide, Modica, Melilli, Lentini, Ispica, Occhiolà, Carlentini, Avola, Augusta, Noto. Crolli molto estesi subirono Siracusa, Caltagirone, Vittoria, Comiso. In complesso sono 70 i centri nei quali si verificarono danni uguali o maggiori al IX grado MCS. Crolli e danni gravi subirono anche Messina e alcuni centri della costa nord-orientale, fra cui Patti e Naso; lesioni e crolli parziali si ebbero a Palermo, Agrigento, Reggio Calabria e, più gravi, a Malta; danni più leggeri, si ebbero in alcuni centri della Calabria meridionale.

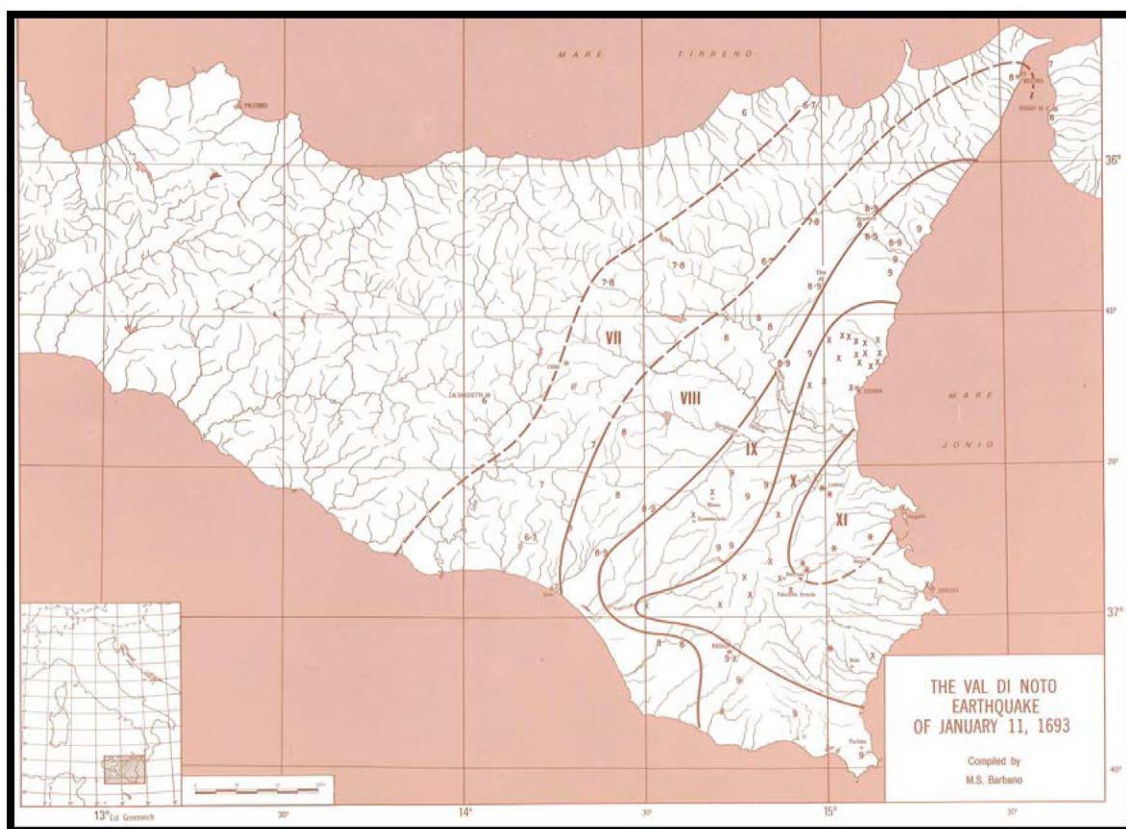


Figura 11 - Campo macrosismico del terremoto del 11/01/1693 (C.N.R., P. F. G. - Postpischl editor, Atlas of Isoleismic maps of Italian Earthquakes, Bologna 1985).



Regione Siciliana – Presidenza
Dipartimento della Protezione
Civile

Università degli Studi di Messina
C.A.R.E.C.I
Centro Attrazione Risorse
Esterne e Creazione d'Impresa

Terremoti del 1783, $I_{max}=9.5$, $M_e=6.2$: il 5 febbraio 1783 iniziò un periodo sismico, protrattosi per più di tre anni, che presentò 5 massimi di attività: 5 febbraio, 6 febbraio, 7 febbraio, 1 marzo e 28 marzo 1783, e varie centinaia di scosse minori, che ebbero effetti cumulativi devastanti su un territorio di varie migliaia di kmq. In meno di due mesi, a partire dal 5 febbraio fino al 28 marzo, gli epicentri delle scosse principali si spostarono dalla regione dell'Aspromonte all'istmo tra il golfo di Sant'Eufemia e il golfo di Squillace. La scossa del 5 febbraio 1783 ebbe un'area di risentimento estesa a tutta la Sicilia e a gran parte dell'Italia meridionale, dalla costa amalfitana al Salento. L'area dei maggiori effetti si situa nel versante tirrenico dell'Appennino calabrese, in una regione corrispondente ai Piani d'Aspromonte e alla Piana di Gioia Tauro, delimitata a sud dal massiccio aspromontano e a nord dalla catena delle Serre. Il terremoto ebbe effetti devastanti in 25 paesi; in altri 23 ci furono crolli estesissimi; in 49 località vi furono crolli gravi diffusi; altre 117 località subirono effetti distruttivi. La scossa del 6 febbraio 1783 causò danni gravissimi a Scilla e a Messina; la scossa del giorno successivo, 7 febbraio, fu avvertita in una vasta area compresa tra Messina e Matera e causò nuove distruzioni nei centri dei Piani d'Aspromonte e della Piana di Gioia Tauro, già gravemente danneggiati dalla scossa del 5 febbraio. L'area epicentrale di questa scossa si spostò in direzione N-E rispetto a quelle dei terremoti precedenti, verso le valli del Mesima e del Marepotamo, sul versante tirrenico della catena delle Serre. Il terremoto fu completamente distruttivo in 20 località; altre 28 subirono crolli gravi diffusi; in 47 località causò effetti distruttivi diffusi. La scossa dell'1 marzo 1783 fu avvertita in un'ampia regione compresa tra Messina e Scalea e, rispetto ai precedenti eventi sismici, ebbe l'area dei massimi effetti spostata ancora più a nord, lungo la dorsale appenninica. A causa di questa scossa si ebbero effetti distruttivi a Polia e a Poliolo e danni molto gravi a Castelmonardo e Francavilla Angitola, centri del bacino dell'Angitola. La scossa del 28 marzo fu sentita in tutta l'Italia meridionale, dalla Sicilia a Napoli, alla Puglia meridionale. L'area dei massimi effetti è collocata nella regione istmica a sud di Catanzaro, sia sul versante ionico che su quello tirrenico: rappresenta la localizzazione più settentrionale tra le aree di maggiore danneggiamento dell'intero periodo sismico. La scossa ebbe effetti catastrofici in 12 località; altre 25 subirono effetti distruttivi; gravi danni si registrarono in 71 paesi. La scossa del 26 aprile 1783, in precedenza classificata di VIII – IX grado MCS, causò danni soltanto a Milazzo e fu sentita fortemente a Messina; si tratta perciò di un evento piuttosto marginale e notevolmente sovrastimato. La successione delle violentissime scosse avvenute tra il 5 febbraio e il 28 marzo 1783, caratterizzata da una migrazione degli epicentri lungo la catena appenninica in direzione nord – est, diede luogo ad ampie aree di sovrapposizione degli effetti distruttivi. Il quadro degli effetti che si è delineato è quindi, per



PROTEZIONE CIVILE
Presidenza del Consiglio dei Ministri
Dipartimento della Protezione Civile



Regione Siciliana – Presidenza
Dipartimento della Protezione
Civile



Università degli Studi di Messina
C.A.R.E.C.I
Centro Attrazione Risorse
Esterne e Creazione d'Impresa

alcune località, il risultato dell'azione cumulativa di più scosse. Quando la documentazione lo ha consentito, sono stati distinti gli effetti di danno relativi ai singoli eventi sismici. Rimane tuttavia aperta la questione relativa alla eventuale sovrastima dei danni, non quantificabile, indotta dalla vulnerabilità di un patrimonio edilizio fortemente indebolito da numerosissime e ravvicinate scosse e già di per sé di cattiva qualità.

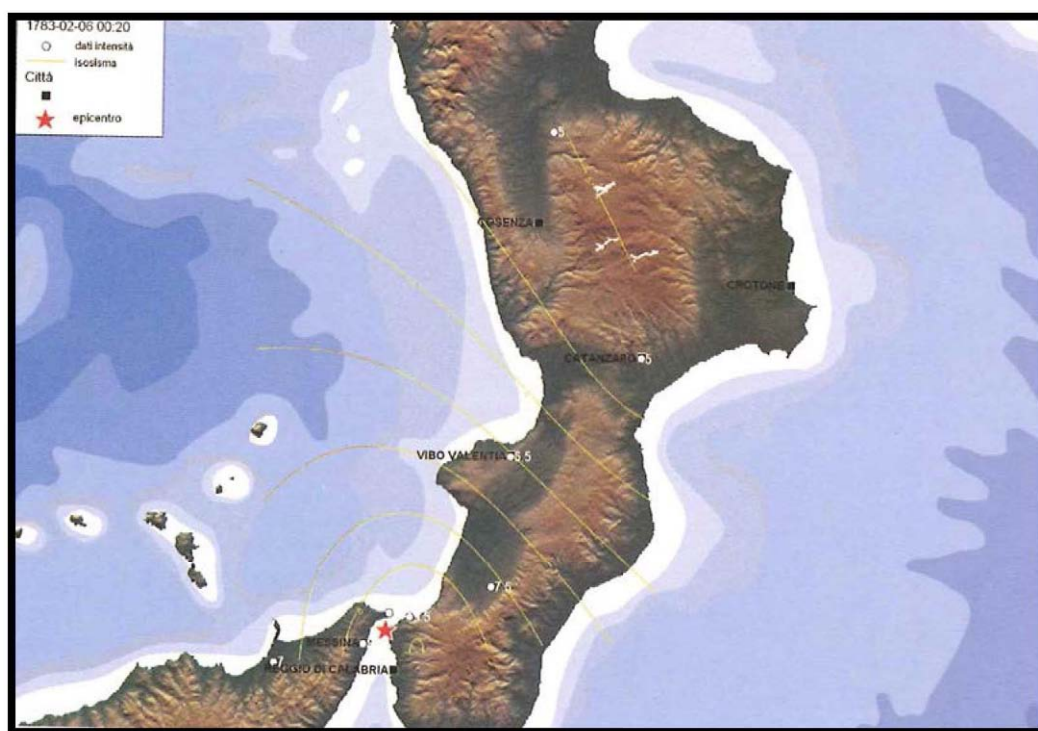


Figura 12 - Campo macrosismico del terremoto del 06/02/1783 (Tiberti et alii, 2006).

Regione Siciliana – Presidenza
Dipartimento della Protezione
Civile

Università degli Studi di Messina
C.A.R.E.C.I
Centro Attrazione Risorse
Esterne e Creazione d'Impresa



Figura 13 - Campo macrosismico del terremoto del 07/02/1783 (Tiberti et alii, 2006).

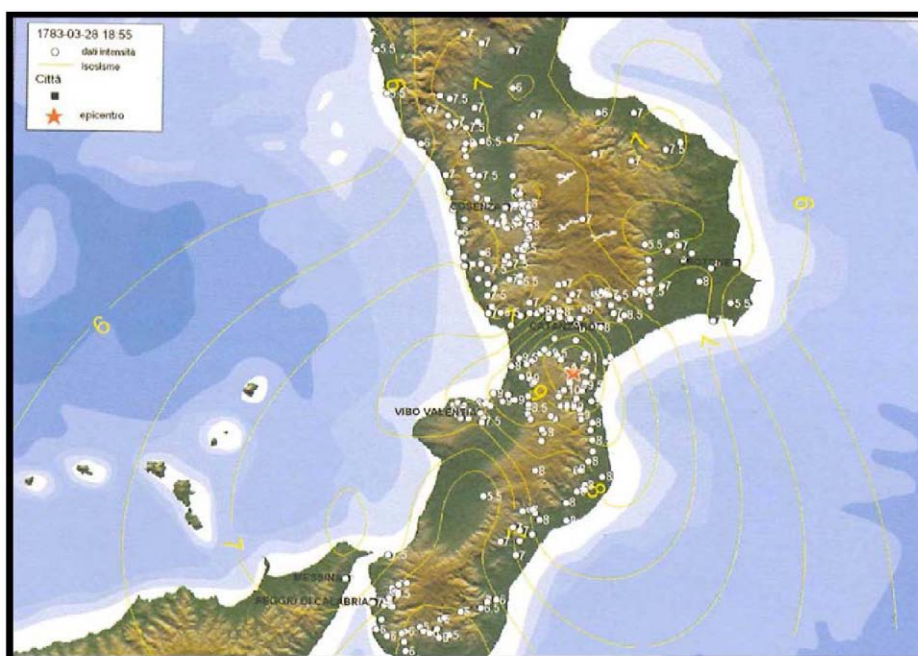


Figura 14 - Campo macrosismico del terremoto del 28/03/1783 (Tiberti et alii, 2006).



Regione Siciliana – Presidenza
Dipartimento della Protezione
Civile

Università degli Studi di Messina
C.A.R.E.C.I
Centro Attrazione Risorse
Esterne e Creazione d'Impresa

Terremoto del 10.03.1786, ore 14:10, lat=38.1, lon=15.017, $I_{max}=9$, $M_e=6.2$: la scossa avvenne alle ore 20:45 italiane (14:10 GMT ca.) del 10 marzo e colpì soprattutto le località della Sicilia settentrionale affacciate sul golfo di Patti. Gravi distruzioni si ebbero, in particolare, a Oliveri, San Piero Patti e Scala; crolli e gravi dissesti a Milazzo e a Patti. A Naso furono notevolmente danneggiate 72 case e vari edifici religiosi; a Messina caddero alcuni muri degli edifici in ricostruzione dopo i terremoti del 1783.

Terremoto del 20.02.1818, ore 18:15, lat=37.60, lon=15.12, $I_{max}=9.5$, $M_e=6.2$: la scossa del 20 febbraio avvenne alle ore 1:10 italiane (18:15 GMT ca.); interessò la regione etnea e fu avvertita fortemente in tutta la Sicilia e, più leggermente, nella Calabria meridionale e a Malta. Gli effetti più gravi riguardarono l'immediato entroterra di Acireale: le borgate di Aci Consolazione e Aci Santa Lucia furono pressoché completamente distrutte; crolli estesi a gran parte dell'abitato si verificarono ad Aci Catena, Aci Platani, Aci San Filippo e Aci Sant'Antonio. Complessivamente quasi 60 centri subirono crolli di edifici o danni generalizzati al patrimonio edilizio, compresi alcuni paesi dei versanti settentrionale e occidentale dell'Etna; in altre 40 località circa avvennero danni più leggeri. In generale, la presenza di scadenti tipologie edilizie amplificò dovunque gli effetti del terremoto. A Catania, in base ai rilievi condotti dall'Intendenza, 1768 case risultarono danneggiate, di queste oltre il 35% furono dichiarate cadenti e dovettero essere puntellate o demolite. La città era stata interamente ricostruita dopo il terremoto del 1693, era quindi "nuova" dal punto di vista dello stato di conservazione del patrimonio edilizio. Le perizie attestano che il terremoto danneggiò edifici caratterizzati da evidenti e gravi difetti di costruzione: molte case non erano dotate di fondamenta sufficientemente solide, altre erano state innalzate o ampliate in un secondo momento, causando uno squilibrio tra la mole delle costruzioni e le fondazioni. L'1 marzo, alle ore 9:30 italiane (2:45 GMT ca.), una seconda violenta scossa colpì la Sicilia orientale, in particolare la regione Iblea, danneggiando gravemente Militello in Val di Catania, Mineo, Ragusa, Vizzini e numerosi altri centri. La scossa causò ulteriori leggeri danni a Catania e fu sentita fortemente nell'acese.

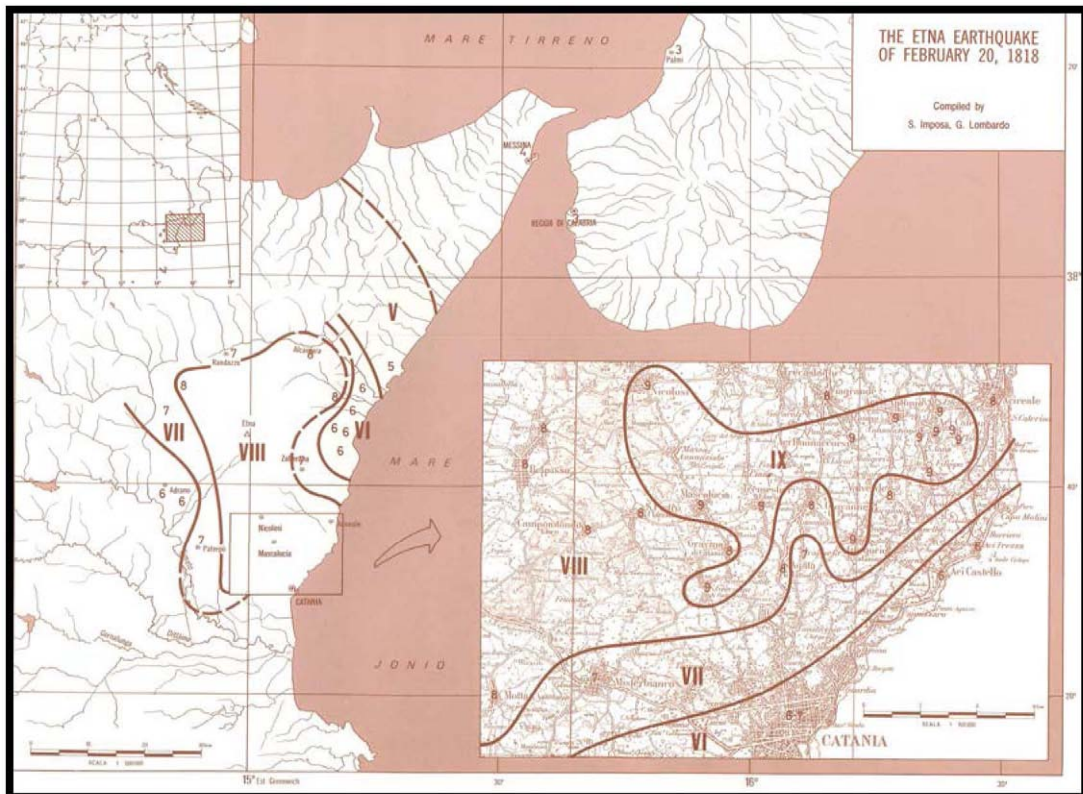


Figura 15 - Campo macrosismico del terremoto del 20/02/1818 (C.N.R., P. F. G. - Postpischl editor, Atlas of Isoseismal maps of Italian Earthquakes, Bologna 1985).

Terremoto del 08.08.1894, ore 05:16, lat=37.65, lon=15.12, $I_{max}=9.5$, $M_e=5.1$: la scossa principale avvenne alle ore 5:16 GMT e causò effetti distruttivi in un'area ristretta (14 kmq ca.) del versante sud-orientale dell'Etna. Le località più colpite furono alcune borgate e contrade dei comuni di Zafferana Etnea e Acireale (Mazzasette, Pisano, Scacchieri, Fleri, Zerbate) dove gran parte delle abitazioni crollarono o divennero inabitabili. Crolli e gravi lesioni si verificarono in altre 15 località circa. Ad Acireale il terremoto causò leggeri danni in alcuni edifici civili e religiosi; a Catania e in molti centri della provincia fu avvertito fortemente, ma senza danni.



Regione Siciliana – Presidenza
Dipartimento della Protezione
Civile

Università degli Studi di Messina
C.A.R.E.C.I
Centro Attrazione Risorse
Esterne e Creazione d'Impresa

Terremoto del 08.09.1905, ore 01:43, lat=38.67, lon=16.05, $I_{max}=10.5$, $M_e=6.9$: il terremoto si manifestò con maggiore violenza nell'area compresa fra Aiello, in provincia di Cosenza, fino al massiccio del monte Poro, su cui sono situati Monteleone (l'odierna Vibo Valentia), Triparni, Cessaniti, Piscopio, San Gregorio, Zammarò, Parghelia e Zungri. In 37 paesi i crolli interessarono la grande maggioranza degli edifici, quando non la loro totalità. A Pizzo, molti edifici divennero inabitabili e a Vibo Valentia fu danneggiata soprattutto la parte bassa della città, tanto che le strade furono descritte come un cumulo di macerie. I paesi maggiormente colpiti furono quelli verso la costa tirrenica, fra i capi Suvero e Vaticano; i meno colpiti furono quelli compresi nell'estremità meridionale della Calabria. Danni si verificarono anche alle isole Eolie e in circa 30 comuni della provincia di Messina. Il terremoto fu avvertito distintamente in tutta l'Italia meridionale e nella Sicilia orientale: la scossa fu sentita in modo molto sensibile a Catania, nella zona etnea, ad Augusta e a Siracusa, in modo più leggero fino a Palermo. In Basilicata il terremoto fu avvertito sensibilmente a Rionero in Vulture e a Nova Siri e causò qualche danno a Colobraro; si sentì una forte scossa a Taranto e ad Andria, più leggera a Lecce. La scossa fu avvertita anche a Napoli.

Terremoto del 28.12.1908, ore 04:20:27, lat=38.15, lon=15.683, $I_{max}=11$, $M_e=7.1$: il terremoto del 28 dicembre 1908 è considerato uno degli eventi di più elevata magnitudo della storia sismica italiana e, dal punto di vista degli effetti, rappresentò una autentica catastrofe, sia per l'altissimo numero di morti, sia perché distrusse due città importanti come Messina e Reggio Calabria. La ricostruzione del quadro complessivo di un disastro di tale portata è influenzata da alcuni fattori preesistenti. Per comprendere adeguatamente l'impatto di questo evento sismico è infatti necessario ricordare che, se si escludono le due città dello Stretto e poche altre zone più sviluppate, la regione su cui si abbatté il terremoto era un'area caratterizzata da un'economia molto povera. Questo inevitabilmente si ripercuoteva sulla qualità dell'edilizia: i materiali impiegati erano scadenti e le tecniche costruttive molto vulnerabili dal punto di vista sismico; l'età e il degrado dei manufatti erano elevati; la manutenzione scarsa o inesistente. Inoltre, in molte località calabresi, gli effetti di questo terremoto si sovrapposero ai danni, non adeguatamente riparati, dei terremoti degli anni precedenti (1894, 1905 e 1907) aumentando l'entità delle distruzioni. La scossa avvenne alle ore 4:20 GMT e, per quanto riguarda i danni più gravi, colpì un'area di circa 6000 km². In circa 80 località delle province di Messina e Reggio Calabria gli effetti furono devastanti, con distruzioni estese dal 70 al 100% delle costruzioni. Nel Messinese l'area delle distruzioni pressoché totali fu ristretta e comprese, oltre a Messina, 13 località dell'immediato entroterra della città e delle estreme propaggini settentrionali dei monti Peloritani, fino alla costa



Regione Siciliana – Presidenza
Dipartimento della Protezione
Civile

Università degli Studi di Messina
C.A.R.E.C.I
Centro Attrazione Risorse
Esterne e Creazione d'Impresa

tirrenica. Per quanto riguarda la città di Messina, il terremoto, con il maremoto e gli incendi che lo seguirono, distrusse completamente il tessuto urbano (abitazioni, edifici pubblici civili ed ecclesiastici, infrastrutture). Le costruzioni che resistettero furono incredibilmente poche: secondo le statistiche ufficiali del Ministero dei Lavori pubblici, soltanto due case risultarono illese. Tutti gli altri fabbricati furono o distrutti totalmente o completamente sventrati: ne rimasero in piedi solo le pareti esterne, mentre collassarono tetti, solai, muri divisorii, scale. In Calabria il terremoto ebbe effetti distruttivi in una regione molto più estesa, comprendente tutto il versante occidentale del massiccio dell'Aspromonte. A Reggio le distruzioni furono di entità leggermente inferiore rispetto a Messina; tuttavia nei rioni più popolari della città i crolli totali furono estesissimi e in molti edifici sprofondarono tutte le strutture interne. Il terremoto fu quasi totalmente distruttivo in diversi centri abitati importanti come Calanna, Sant'Alessio e Sant'Eufemia in Aspromonte, Villa San Giovanni, e in tutte le località della riviera sia a nord che a sud di Reggio, che furono devastate anche dal grande tsunami che seguì la scossa. Distruzioni estese fino a circa il 50% degli edifici furono riscontrate in 35 località, fra cui, in Calabria, alcuni paesi posti sul versante ionico dell'Aspromonte. L'area all'interno della quale gli effetti del terremoto furono gravi, con crolli totali limitati, ma molti edifici gravemente lesionati e resi inabitabili, fu molto vasta e comprese oltre 170 località. Tale area include, in Calabria, la piana di Gioia Tauro, la Grecanica, la Locride e arriva fino alla penisola di capo Vaticano e alle località dell'istmo di Marcellinara, in provincia di Catanzaro; in Sicilia, comprende tutto il versante ionico dei Peloritani fino alle pendici nordorientali dell'Etna. Secondo i dati statistici rilevati dal Ministero dei Lavori pubblici, approssimati per difetto, nelle tre province di Messina, Reggio Calabria e Catanzaro (che all'epoca comprendeva anche l'attuale provincia di Vibo Valentia), le case distrutte o demolite furono oltre 40.000; quelle gravemente danneggiate e rese totalmente o parzialmente inabitabili circa 33.000; quelle lesionate circa 68.000. La popolazione rimasta senza tetto fu certamente superiore a 120.000 persone. Danni più leggeri, con lesioni in genere non gravi e in un numero complessivamente limitato di case o edifici pubblici, furono rilevati in oltre 350 centri abitati sparsi su un'area estesa a nord fino alle province di Crotone e Cosenza; in Sicilia fino ad alcune località delle province di Enna, Caltanissetta, Agrigento e Ragusa. La scossa fu sentita dalle persone in un'area vastissima: in direzione nord fino all'isola d'Ischia e alla provincia di Campobasso; verso est fino al Montenegro, all'Albania e alle isole Ionie della Grecia; verso sud fu sensibile fino all'arcipelago maltese; a ovest fino a Ustica.

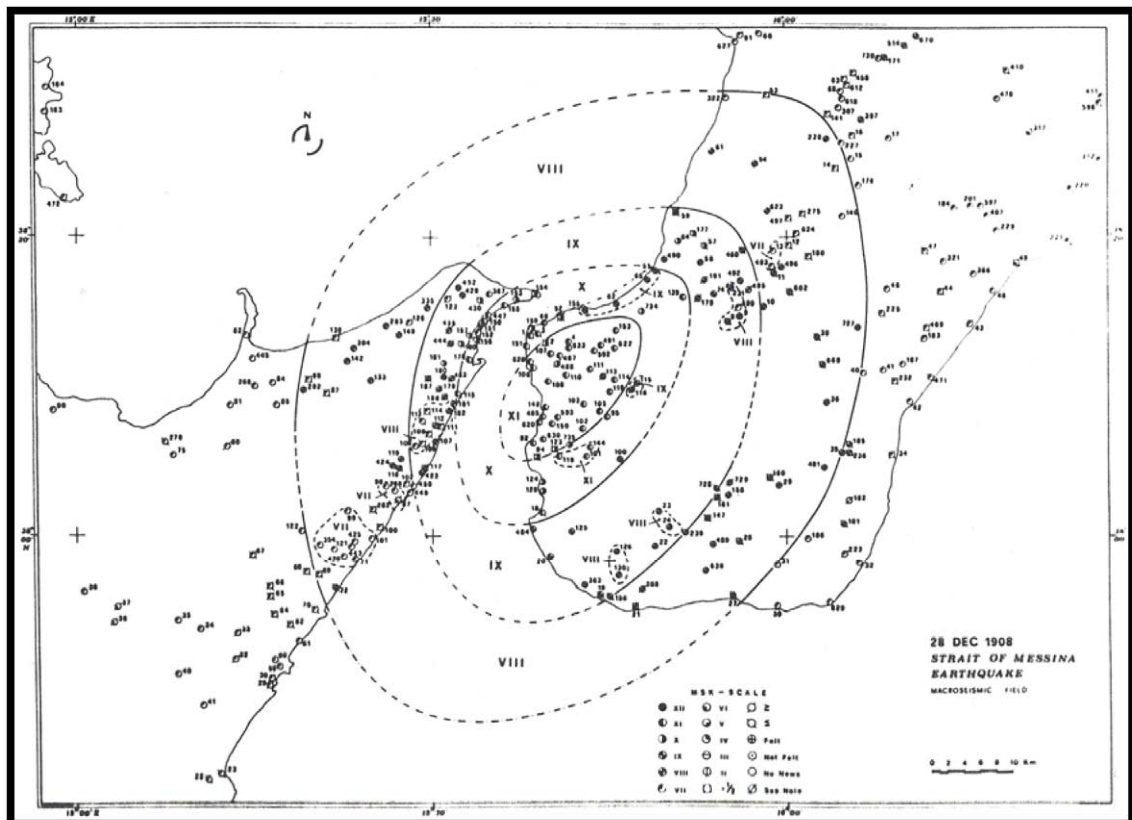


Figura 16 - Campo macrosismico del terremoto del 28/12/1908 (Bottari et alii, 1984).

5.2 Strutture sismogenetiche e faglie attive

Il riferimento di base è dato dal Database delle strutture sismogenetiche disponibile per il territorio italiano rappresentato in Figura 17 (DISS, Database of Individual Seismogenic Sources, BASILI et alii, 2008) a cui possono essere riferiti gli eventi sopradescritti.

In particolare le aree sismogenetiche rappresentate, più significative ai fini della presente trattazione, sono:

A) Strutture dei graben della Catena Costiera Calabra, dove si può localizzare la crisi sismica del 1783;



PROTEZIONE CIVILE
Presidenza del Consiglio dei Ministri
Dipartimento della Protezione Civile



Regione Siciliana – Presidenza
Dipartimento della Protezione
Civile



Università degli Studi di Messina
C.A.R.E.C.I
Centro Attrazione Risorse
Esterne e Creazione d'Impresa

- B) Strutture dello stretto di Messina a cui possono essere ascritti gli eventi del 1905 e del 1908;
C) Struttura sismogenetica Patti - Isole Eolie;
D) Strutture dell'area etnea in cui, generalmente, si registra una sismicità di tipo superficiale che limita gli effetti più gravi a circoscritti ambiti del distretto etneo;
E) Strutture del Plateau Ibleo – Avanfossa;
F) Sistema Ibleo Maltese, a cui possono essere attribuiti, anche se con qualche incertezza, i sismi del 1169, del 1542 e del 1693;
G) Sistema trascorrente Scicli-Ragusa-Monte Lauro.

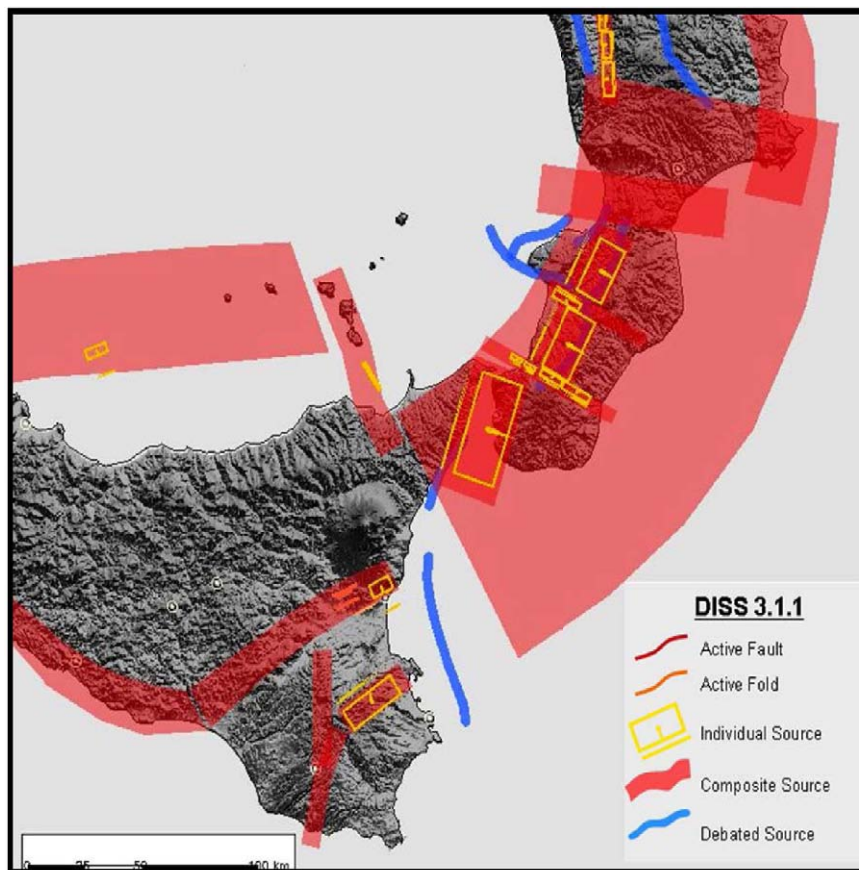


Figura 16 - Mappa delle principali strutture sismogenetiche. Database of Individual Seismogenic Sources (Basili et alii, 2008).



Regione Siciliana – Presidenza
Dipartimento della Protezione
Civile

Università degli Studi di Messina
C.A.R.E.C.I
Centro Attrazione Risorse
Esterne e Creazione d'Impresa

La Figura 17 estratta dal catalogo della sismicità italiana 1981-2002 (INGV, 2011) mostra la distribuzione degli epicentri dei terremoti avvenuti nell'area di studio tra il 1981 e il 2011 con una indicazione della classe di magnitudo.

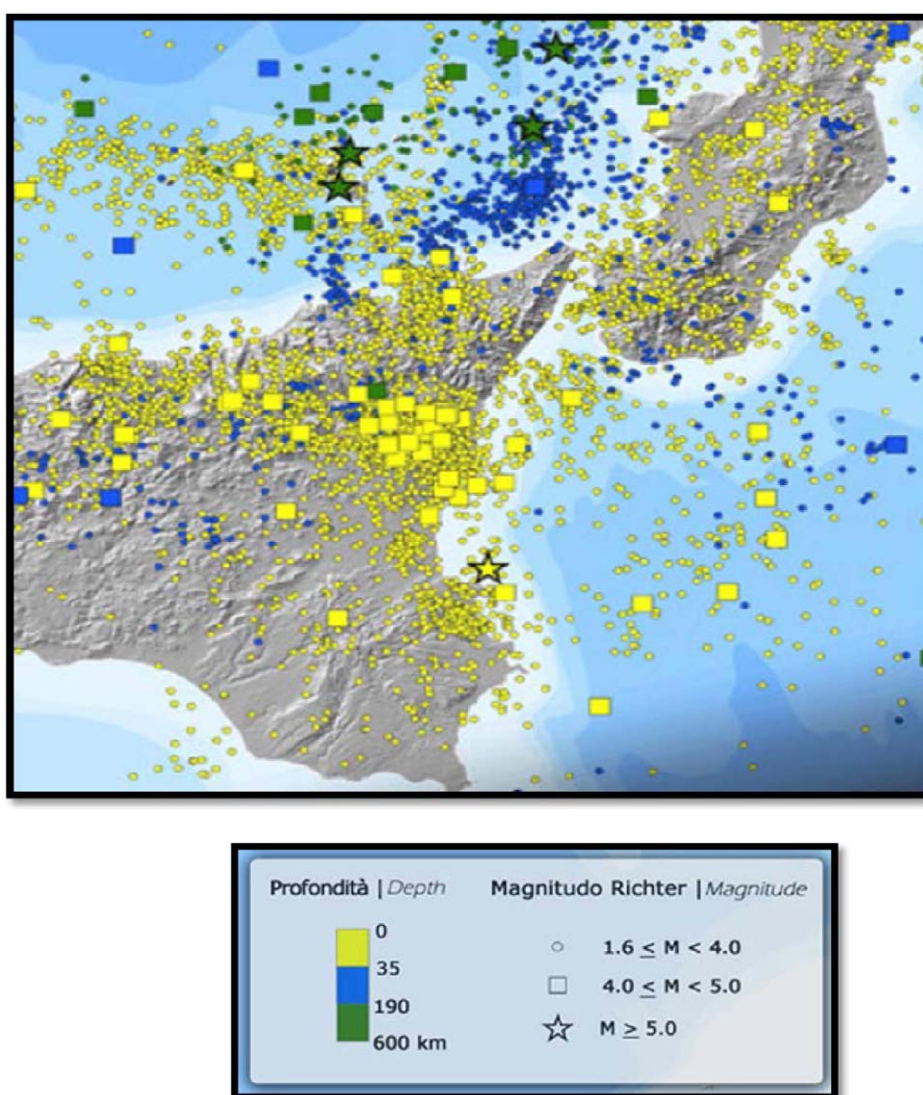


Figura 17 – Mappa della distribuzione degli epicentri dei terremoti strumentali localizzati dall'INGV tra il 1981 e il 2011. Catalogo della sismicità italiana 1981-2002 (INGV, 2011).



Regione Siciliana – Presidenza
Dipartimento della Protezione
Civile

Università degli Studi di Messina
C.A.R.E.C.I
Centro Attrazione Risorse
Esterne e Creazione d'Impresa

5.2. Sismicità storica del comune di Rometta

Il comune di Rometta risulta compreso tra le strutture sismogenetiche dello stretto di Messina e della linea Patti Isole Eolie.

Nella Tabella 4 è riportata la storia sismica estraibile dal DBMI11 (LOCATI et alii 2011) dal quale si evince che le maggiori intensità macrosismiche risentite sono di $I = 8$ in occasione della crisi sismica del 1783 e, del terremoto del 1908 localizzabili nelle strutture sismogenetiche della Calabria e dello stretto di Messina. E' anche evidente che sono stati risentiti effetti, paragonabili a quelli di questi sismi, dai terremoti di maggiore energia avvenuto nella struttura sismogenetica del sistema Ibleo Maltese (1693). Conferma se ne trae anche dall'analisi dell'andamento delle isosiste del relativo campo macrosismico, pur nell'ambito delle indicazioni qualitative da questo fornite.

Storia sismica di Rometta [38.172, 15.414]					
Numero di eventi: 14					
Effetti		In occasione del terremoto del:			
I [MCS]	Data	Ax	Np	Io	Mw
7-8	1693 01 11 13:30	Sicilia orientale	185	11	7.41 ±0.15
F	1717 04 22	CASTROREALE	7	6-7	4.76 ±0.39
8	1783 02 05 12:00	Calabria	356	11	7.02 ±0.08
7	1894 11 16 17:52	Calabria meridionale	303	9	6.07 ±0.10
6-7	1898 08 12	ROMETTA	69	6-7	4.89 ±0.22
7	1905 09 08 01:43	Calabria meridionale	895		7.04 ±0.16
5	1908 12 10 06:20	NOVARA DI SICILIA	64	7	5.13 ±0.26
8	1908 12 28 04:2	Calabria meridionale-Messina	800	11	7.10 ±0.15
4	1959 12 23 09:29	PIANA DI CATANIA	108	6-7	5.29 ±0.20
5	1961 03 24 10:36	ASPROMONTE	59	5-6	4.79 ±0.28
6	1975 01 16 00:0	Stretto di Messina	346	7-8	5.20 ±0.09
6	1978 04 15 23:3	Golfo di Patti	332		6.06 ±0.09
4	1990 12 13 00:2	Sicilia sud-orientale	304	7	5.64 ±0.09
4	2002 09 06 01:2	PALERMO	132		5.94 ±0.09

Tabella 4 - Storia sismica del comune di Rometta (DBMI11 Locati et alii, 2011); I_s è l'intensità macrosismica risentita (MCS); A_x l'area epicentrale; N_p è il numero di località in cui è disponibile il dato macrosismico; I_0 è l'intensità macrosismica dell'epicentro (MCS); M_w è la magnitudo momento dell'evento con accanto il grado d'incertezza della stima.



PROTEZIONE CIVILE
Presidenza del Consiglio dei Ministri
Dipartimento della Protezione Civile



Regione Siciliana – Presidenza
Dipartimento della Protezione
Civile



Università degli Studi di Messina
C.A.R.E.C.I
Centro Attrazione Risorse
Esterne e Creazione d'Impresa

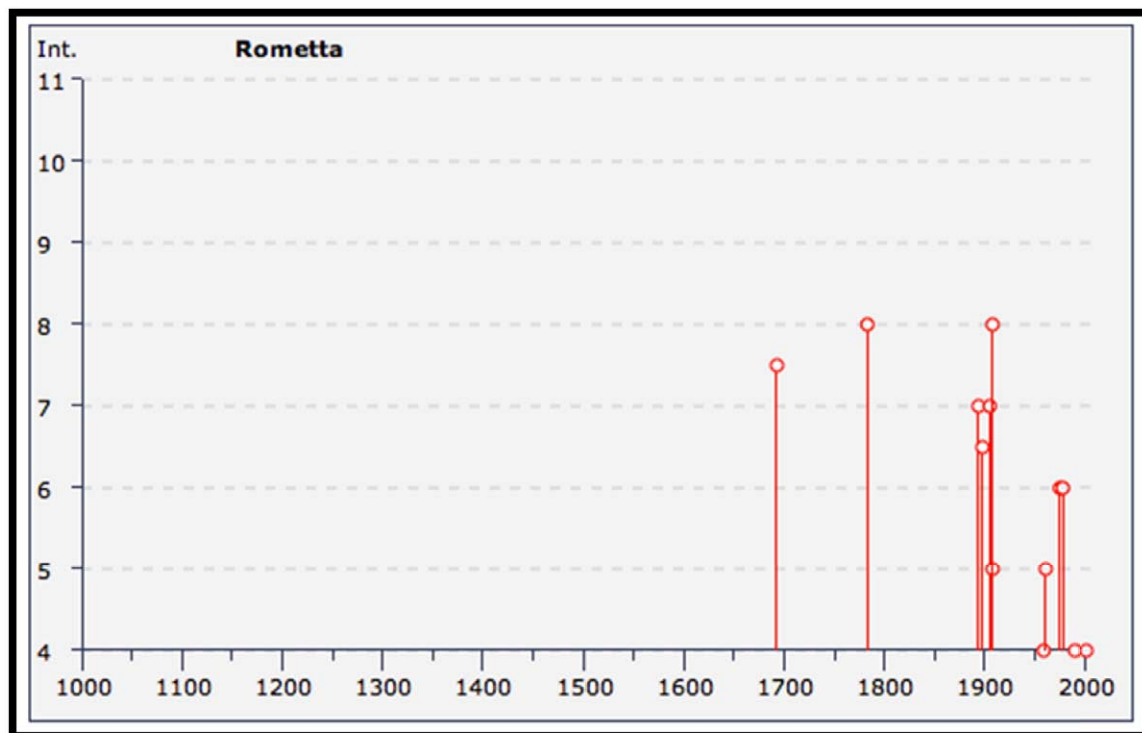


Figura 18 - Grafico della storia sismica di Rometta (DBMI11, Locati et alii, 2011).

Per la definizione quantitativa della pericolosità sismica di base si può fare riferimento ai valori di pericolosità sismica del territorio nazionale (Ordinanza PCM del 28 aprile 2006 n.3519, All. 1b) espressi in termini di accelerazione massima del suolo (Figura 20) con probabilità di eccedenza del 2, 5, 10, 22, 30% in 50 anni riferita a suoli rigidi (<http://zonesismiche.mi.ingv.it>).

Le stime di PGA sono state determinate con la tecnica di analisi statistica degli effetti valutati sulla base dei dati contenuti nei cataloghi sismici, proposta da Cornell (CORNELL, 1968; BENDER & PERKINS, 1987; Gruppo di Lavoro MPS, 2004) e la loro incertezza è espressa mediante percentili, nell'assunto che il catalogo sia un

campione rappresentativo dell'intera popolazione di eventi possibili con effetti significativi nel sito considerato.

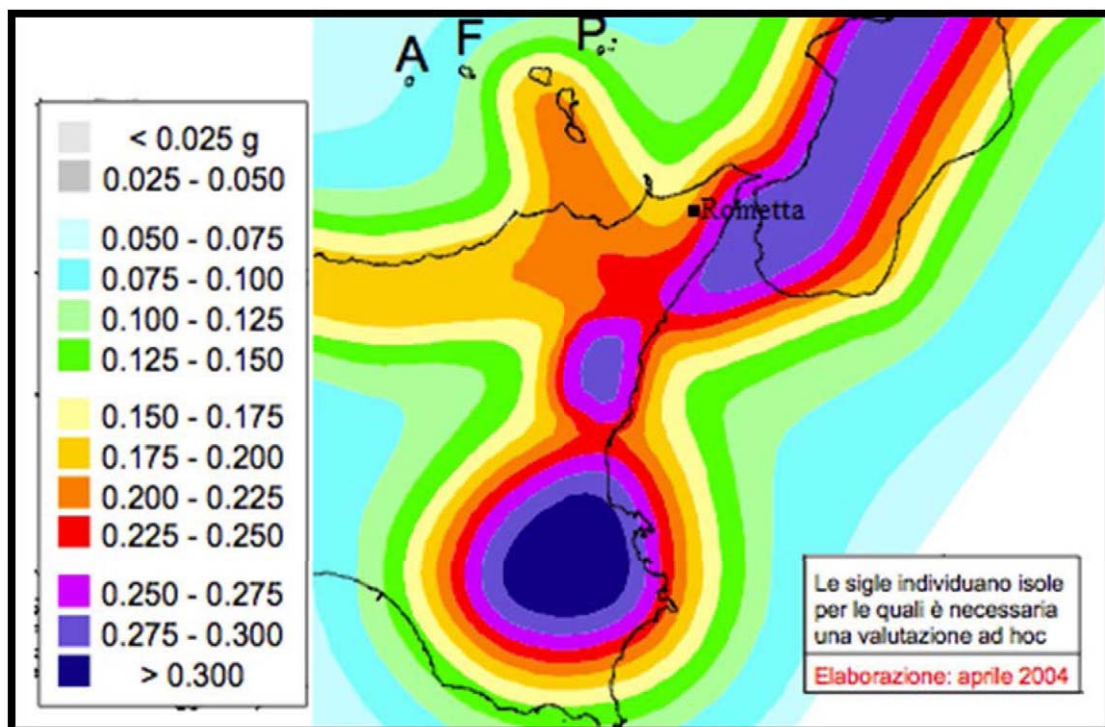


Figura 19 - Mappa di pericolosità sismica del territorio nazionale (riferimento: Ordinanza PCM del 28 aprile 2006 n. 3519) espressa in termini di accelerazione massima del suolo con probabilità di eccedenza del 10% in 50 anni riferita a suoli rigidi.

Nella seguente tabella vengono stimati i valori di PGA, per il comune di Rometta, per differenti livelli di probabilità in 50 anni, o in modo equivalente per differenti periodi di ritorno.

I dati derivano dalla mappa della pericolosità sismica pubblicata sul sito INGV e risultano riferiti a suoli rigidi ($V_s > 800$ m/s).



Regione Siciliana – Presidenza
Dipartimento della Protezione
Civile

Università degli Studi di Messina
C.A.R.E.C.I
Centro Attrazione Risorse
Esterne e Creazione d'Impresa

Parametro di scuotimento PGA (g)		Probabilità in 50 anni/Periodo di ritorno				
		2%	5%	10%	22%	30%
		2475a	975a	475a	201a	140a
Percentile	16	0.3195	0.2217	0.1600	0.1047	0.0866
	50	0.3434	0.2452	0.1853	0.1300	0.1112
	84	0.3942	0.2735	0.2025	0.1405	0.1197

Tabella 5 - Valori di PGA stimati per il comune di Rometta per differenti livelli di probabilità in 50 anni, o equivalentemente differenti periodi di ritorno, e per diverso percentile. I dati sono stati estratti dalla mappa digitale della pericolosità sismica sul sito INGV e risultano riferiti a suoli rigidi.



Regione Siciliana – Presidenza
Dipartimento della Protezione
Civile

Università degli Studi di Messina
C.A.R.E.C.I
Centro Attrazione Risorse
Esterne e Creazione d'Impresa

6 METODOLOGIA DI ACQUISIZIONE DELLE INDAGINI

Nel presente capitolo viene esplicitata la procedura informatica seguita per l'inserimento dei dati nel database del progetto che di fatto è la base per la redazione della presente nota illustrativa.

In merito all'acquisizione informatica delle indagini fornite dal Comune di Rometta non è stato possibile caricare le indagini pregresse all'interno delle più recenti strutture dati fornite dalla Protezione Civile (database MS Access *Cdl_tabelle.mdb* e *Indagini.mdb*, versione 2.0 beta II) poiché la documentazione trasmessa non conteneva informazioni relative ad indagini precedenti eseguite nel Comune di Rometta.

Si è pertanto provveduto a realizzare una nuova campagna indagini caratterizzata da 21 misure di microtremore a stazione singola.

Sulla base delle indagini di nuova acquisizione si è proceduto pertanto al popolamento delle tabelle presenti nel database *Cdl_tabelle.mdb* ed alla contemporanea localizzazione delle indagini all'interno delle features puntuale e lineare presenti nel GeodB *Indagini.mdb*. L'editing delle indagini è stato effettuato a partire dalla localizzazione presente nell'elaborato cartografico raster (CTRN alle scale 1:10.000 e 1:2.000; ortofoto 2008) fornito dal gruppo di lavoro che si è occupato di svolgere le indagini.

L'attività di popolamento del database *Cdl_tabelle.mdb* ha portato all'inserimento delle seguenti indagini e relativi parametri, raggruppati per classe e tipologia di indagine, e distinti fra indagini puntuali e indagini lineari:

Indagini Puntuali			
Classe Indagine	Tipo Indagine	Parametro	Numero
GF	HVSR	FR	21

Per il comune in oggetto si è quindi provveduto al caricamento di 21 siti di indagine puntuali, caratterizzati da un totale di 21 indagini e 21 parametri.



Regione Siciliana – Presidenza
Dipartimento della Protezione
Civile

Università degli Studi di Messina
C.A.R.E.C.I
Centro Attrazione Risorse
Esterne e Creazione d'Impresa

Durante le attività di popolamento del database *Cdl_tabelle.mdb* si è provveduto inoltre, per le tipologie di dati che prevedevano un intervento interpretativo, a definire ed attuare alcune convenzioni. Le convenzioni utilizzate vengono riportate di seguito e descritte per singola tabella.

Tabella Sito Puntuale

I valori di quota del campo *quota_sml* sono stati ricavati direttamente dal DTM fornito dalla Regione Siciliana tramite servizio WMS e, quando il dato non era ancora disponibile, dalla CTRN alla scala 1:10.000 sempre fornita dalla Regione. Le coordinate inserite nei campi *coord_x* e *coord_y* sono state prelevate mediante strumenti software dalla base cartografica CTRN alla scala 1:10.000 della Regione Siciliana. Per quanto concerne gli indirizzi del campo *indirizzo* questi sono stati estrapolati confrontando l'ubicazione del sito di indagine presente in relazione con lo stradario, prendendo in considerazione la via più vicina. Nei casi in cui non fossero presenti tratti stradali per un determinato sito si è provveduto ad indicare il nome della località o di un manufatto nelle immediate vicinanze (es. “nei pressi dello svincolo autostradale”). Il valore del campo *data_sito* è stato ottenuto impostando il valore predefinito “now()” che fornisce automaticamente la data del sistema al momento dell’inserimento del dato.

Tabella Indagini Puntuali

Il campo *id_indpuex*, quando non è stato possibile popolarlo secondo quanto previsto dalle specifiche, è stato valorizzato con una codifica che ne semplificasse la lettura e che riconducesse facilmente alla tipologia di indagine (es. S1SPT3: indagine SPT n. 3 del sondaggio 1).

Tabella Parametri Puntuali

La valorizzazione del campo *attend_mis* è stata eseguita inserendo sempre il valore “1” quando in relazione il relativo dato è risultato leggibile e frutto di una misurazione strumentale.



Regione Siciliana – Presidenza
Dipartimento della Protezione
Civile

Università degli Studi di Messina
C.A.R.E.C.I
Centro Attrazione Risorse
Esterne e Creazione d'Impresa

7 ELABORATI CARTOGRAFICI

Sulla base di quanto precedentemente esposto, integrato con le informazioni di carattere geologico - tecnico (indagini geognostiche, prove di laboratorio, indagini geofisiche) acquisite durante la fase di censimento dati è stato possibile suddividere le diverse unità stratigrafiche secondo i criteri geologico - tecnici definiti nell'ICMS ai fini della Microzonazione Sismica. E' opportuno precisare che il livello conoscitivo derivante dall'analisi degli studi geologico tecnici condotti nell'area risultano fortemente condizionati sia nel numero sia nella distribuzione areale dei dati necessari per condurre uno studio di Microzonazione Sismica. È pertanto necessario prevedere per la successiva fase un approfondimento sia in termini di rilevamento geologico - tecnico sia in termini di indagini geognostiche e di laboratorio, per colmare le lacune conoscitive relative alla caratterizzazione geomeccanica degli ammassi rocciosi e dei terreni e di conseguenza aggiornare la carta geologico - tecnica.

In accordo con le specifiche riportate negli ICMS le unità litostratigrafiche affioranti nell'area sono state suddivise nelle due classi previste e precisamente:

- terreni di copertura – all'interno di questa categoria sono state inserite le unità geologiche di copertura aggregate in funzione della litologia, dello stato di addensamento o consistenza e dell'ambiente genetico e deposizionale. Pertanto nella tabella di seguito proposta si riportano le unità litostratigrafiche e la relativa classificazione a standard ICMS e 2.0 Beta II:



Regione Siciliana – Presidenza
Dipartimento della Protezione
Civile

Università degli Studi di Messina
C.A.R.E.C.I
Centro Attrazione Risorse
Esterne e Creazione d'Impresa

Unità Litostratigrafica	Tipo_gt	Stato	Gen
Alluvioni: sono caratterizzate da una matrice ghiaioso-sabbioso-limosa o ghiaioso-sabbioso-argillosa in cui è immersa una cospicua aliquota di elementi grossolani arrotondati, ciottoli e blocchi di varia natura. La scarsa litificazione nonché la ridotta densità dei sedimenti clastici e la presenza di lenti prettamente pelitiche può determinare locali variazioni delle caratteristiche meccaniche soprattutto per quanto concerne la compressibilità.	GM - Ghiaie limose, miscela di ghiaia, sabbia e limo	14	tf
Depositi di spiaggia e pianura costiera: trattasi di depositi poco coerenti di composizione eterogenea in cui è possibile distinguere una matrice prevalentemente sabbioso-limosa, con immersa in forme lenticolari una variabile aliquota di elementi più grossolani di ghiaie e ciottoli.	GM - Ghiaie limose, miscela di ghiaia, sabbia e limo	14	tm
Terrazzi fluvio marini: depositi poco coerenti costituiti da ciottoli e ghiaie di natura carbonatica ed in subordine da blocchi isolati (più frequenti verso la parte bassa della formazione) immersi in abbondante matrice sabbioso-limosa incoerente o debolmente cementata. Lo spessore di questi depositi è estremamente variabile in relazione all'irregolarità del substrato su cui poggiano	GM - Ghiaie limose, miscela di ghiaia, sabbia e limo	13	tf
Argille della Formazione di Rometta: trattasi di argille di colore grigio-azzurro contenenti lenti o livelli sabbiosi clasti quarzosi. Sono delle argille mediamente coerenti normal consolidate.	CL – Argille inorganiche di media - bassa plasticità, argille ghiaiose o sabbiose, argille limose, argille magre	24	zz



Regione Siciliana – Presidenza
Dipartimento della Protezione
Civile

Università degli Studi di Messina
C.A.R.E.C.I
Centro Attrazione Risorse
Esterne e Creazione d'Impresa

- substrato geologico rigido o non rigido – all'interno di questa categoria sono state inserite le unità geologiche del substrato aggregate in funzione della litologia, dello stato di coesione. Pertanto nella tabella di seguito proposta si riportano le unità litostratigrafiche e la relativa classificazione a standard ICMS e 2.0 Beta II:

Unità Litostratigrafica	Tipo_gt	Stato
Arenarie e calcareniti organogene della Formazione Rometta: trattasi di arenarie fini non classate, a prevalente matrice carbonatica, di colore giallo-arancione, ben stratificate, in banchi potenti anche alcuni metri. Le arenarie, mediamente cementate da cemento carbonatico, presentano un aspetto massivo localmente interessato da fratture beanti ortogonali alla stratificazione. Tra un bancone e l'altro a volte è presente un sottile livello pelitico. Verso l'alto la formazione evolve in una successione composta da calcareniti organogene spesso a stratificazione incrociata.	GRS	31
Calcari di base: si presenta di colore bianco-giallastro al taglio fresco e di colore grigio-bruno nelle superfici alterate; di aspetto e tessitura farinoso, brecciato e cariato nelle porzioni superficiali, più compatto e stratificato (strati da 2 a 15 cm) in profondità. Nel complesso le porzioni più superficiali del calcare di base risultano moderatamente fratturati	LPS	24
Alternanza di molassico - pelitica della formazione di S. P. Niceto: la formazione evolve, gradualmente, attraverso una facies prevalentemente molassica (subgrovacche ricche di quarzo e miche) ad un'alternanza di strati molassici e banconi siltitici e argillitici, minutamente laminati. La successione presenta caratteristiche meccaniche degradate e ridotta consistenza.	ALS	31



Regione Siciliana – Presidenza
Dipartimento della Protezione
Civile

Università degli Studi di Messina
C.A.R.E.C.I
Centro Attrazione Risorse
Esterne e Creazione d'Impresa

Unità Litostratigrafica	Tipo_gt	Stato
<p>Alternanza conglomeratico - arenaceo – pelitica della Formazione di S.P. Niceto: i conglomerati sono costituiti da elementi detritici di natura diversa (gneiss, filladi, micascisti granitici, calcari cristallini mesozoici etc...) subarrotondati, con diametro da qualche centimetro fino a 40 cm ed oltre, immersi in una matrice sabbioso-siltosa a cemento carbonatico (sono presenti eteropie laterali e verticali). Le arenarie, quarzoso micacee, mostrano una granulometria media e fine, colore dal giallo al beige, con spessori variabili da 50 a 150 cm e sono generalmente cementate; talora si presentano friabili e poco cementate. Intervallate alle arenarie si osservano strati di marne argillose, siltiti, e argilliti la cui potenza e distribuzione appare irregolare anche se si osserva un aumento della frequenza dei livelli pelitici nelle parti alte della formazione. L'alternanza langhiana presenta più sistemi di fratturazione a grande e piccola scala, giunti di strato e giunti pelitici che conferiscono alla massa rocciosa una certa decompressione</p>	ALS	31
<p>Unità dell'Aspromonte: trattasi di paragneiss biotitici di vario tipo passanti a masse aplitoidi - pegmatoidi ed, in qualche caso, a gneiss migmatitici e granitoidi. Talora i paragneiss sfumano in micascisti cui si intercalano anfiboliti marmi e fels-calcico silicatici. Sono presenti discontinuità meccaniche a grande e piccola scala che conferiscono alla massa una certa decompressione. Lungo le dislocazioni tettoniche si osservano ampie fasce cataclastiche.</p>	LP	31

Da un punto di vista squisitamente informatico gli elaborati cartografici per gli studi di Livello 1 previsti dalla più recente versione delle specifiche di rappresentazione e archiviazione informatica (2.0 beta II, al momento della stesura della presente relazione), unitamente a quanto indicato nella convenzione fra il Dipartimento Regionale di Protezione Civile e la scrivente Università degli Studi di Messina, puntano ad illustrare l'attuale stato della conoscenza mediante la produzione della Carta delle indagini, della Carta geologico - tecnica, della Carta



Regione Siciliana – Presidenza
Dipartimento della Protezione
Civile

Università degli Studi di Messina
C.A.R.E.C.I
Centro Attrazione Risorse
Esterne e Creazione d'Impresa

delle microzone omogenee in prospettiva sismica (livello 1) e della Carta delle frequenze.

Gli elaborati prodotti contengono la raccolta di tutte le informazioni fornite dal Comune Rometta, integrate con la bibliografia scientifica di maggior rilievo, ed includono inoltre informazioni di recente acquisizione frutto delle indagini geofisiche realizzate ex novo, nonché dati provenienti da rielaborazioni informatiche effettuate su quanto già acquisito. Per una migliore comprensione di come si è operato per ottenere gli output cartografici finali oggetto della convenzione si procederà a descriverli uno per uno, ponendo l'accento non sulle modalità di archiviazione e rappresentazione, basate sulla scrupolosa analisi della documentazione tecnica fornita dalla Commissione tecnica per la microzonazione sismica, ma bensì sugli aspetti relativi alle modalità di aggregazione e rielaborazione dei dati di origine.

Carta delle Indagini

Questo elaborato è il frutto della rappresentazione cartografica a standard 2.0 beta II dei siti puntuali e lineari di indagine già caricati all'interno della banca dati *Cdl_tabelle.mdb*. Le scelte effettuate dal gruppo di lavoro riguardano unicamente due aspetti non dettagliati nella documentazione tecnica di riferimento e sono relativi alla scelta della colorazione della base cartografica ed alla impostazione degli elementi inseriti in legenda. In particolare la base cartografica è stata impostata sostituendo al colore nero il colore marrone (RGB 115, 70, 0) al fine di agevolare notevolmente la lettura sia dei simboli che delle relative etichette associate, mentre per la legenda si è scelto di inserire tutti i simboli relativi alle indagini, così come forniti dalla succitata Commissione tecnica, in modo tale da semplificare e velocizzare le attività di allestimento per la stampa.

All'interno della carta in oggetto sono state inoltre inserite le indagini HVSR di nuova realizzazione.

Carta geologico - tecnica

L'elaborato in questione costituisce l'aggregazione delle informazioni di natura geologica effettuate dal gruppo di lavoro a partire dalla geologia e geomorfologia di base, integrata con le indagini geognostiche già implementate nella banca dati.



Regione Siciliana – Presidenza
Dipartimento della Protezione
Civile

Università degli Studi di Messina
C.A.R.E.C.I
Centro Attrazione Risorse
Esterne e Creazione d'Impresa

Per quanto concerne la rappresentazione delle unità geologico tecniche, suddivise in “Terreni di copertura” e “Substrato geologico rigido”, archiviate all'interno della feature *Geotec*, si è proceduto mediante collezione, analisi, aggregazione e sintesi dei rilievi geologici provenienti da varie fonti, quali i rilievi geologici effettuati per il PRG comunale, la letteratura scientifica più recente e verifiche speditive di campagna. Per le unità geologiche così individuate, l'archiviazione informatica e la relativa rappresentazione cartografica è passata attraverso l'assegnazione dei codici sulla tipologia, sullo stato e sull'ambiente genetico-deposizionale, effettuata confrontando e normalizzando i dati di letteratura con i risultati delle indagini geofisiche, geognostiche e di laboratorio. La fase di aggregazione dei dati è stata invece effettuata aggregando affioramenti adiacenti con il medesimo codice *Tipo_gt*, ma differenziandoli sulla base dei campi *Stato* e *Gen*. In questo modo è stato possibile cartografare le seguenti unità geologico - tecniche:

Terreni di copertura						
Tipo_gt	Descrizione	Stato	Descrizione	Gen	Descrizione	Numero
GM	Ghiaie limose, miscela di ghiaia, sabbia e limo	13	Poco addensato	tf	Terrazzo fluviale	5
GM	Ghiaie limose, miscela di ghiaia, sabbia e limo	14	Sciolto	tf	Terrazzo fluviale	6
GM	Ghiaie limose, miscela di ghiaia, sabbia e limo	14	Sciolto	tm	Terrazzo marino	1
CL	Argille inorganiche di media - bassa plasticità, argille ghiaiose o sabbiose, argille limose, argille magre	24	Sciolto	zz	Altro	1
Substrato rigido / non rigido						
Tipo_gt	Descrizione	Stato	Descrizione	Gen	Descrizione	Numero
ALS	Alternanza di litotipi stratificato	31	Molto fratturato	-	-	9
GRS	Granulare cementato stratificato	31	Molto fratturato	-	-	3
LPS	Lapideo stratificato	24	Coesivo moderatamente consistente	-	-	6
LP	Lapideo	31	Molto fratturato	-	-	3

Le medesime modalità di intervento sono state effettuate per gli elementi tettonico strutturali, frutto cioè della sintesi ed adeguamento a standard di diverse fonti. Per quanto riguarda invece le forme di superficie ed in particolare per gli orli di scarpata, per la loro individuazione si è operato mediante procedure informatiche che, nel dettaglio, hanno previsto la realizzazione un elaborato digitale che mostrasse, a partire dai valori delle singole celle del DTM, i dislivelli di quota in un intorno di circa 5m. Filtrando i risultati ottenuti per un range di valori compreso fra “10 – 20m” e > “20m” si è poi provveduto ad una verifica speditiva mediante DTM (2m), CTRN (agg. 2008) e Ortofoto (2008) ed infine all’editing delle geometrie relative agli orli di scarpata, suddivisi nelle due classi previste dalle specifiche di riferimento. Anche per l’individuazione delle creste si è ricorso ad una elaborazione numerica



Regione Siciliana – Presidenza
Dipartimento della Protezione
Civile

Università degli Studi di Messina
C.A.R.E.C.I
Centro Attrazione Risorse
Esterne e Creazione d'Impresa

mediante GIS, sempre affiancata alle analisi di dettaglio della CTRN e delle Ortofoto, mediante la quale si è provveduto all'individuazione di tutti i bacini idrografici dell'area a partire dal DTM ed alla successiva selezione delle forme di interesse. Di seguito la sintesi delle strutture tettoniche e delle forme di superficie cartografate, archiviate all'interno della feature *Elineari*:

Faglia non attiva / frattura vulcanica cosismica		
Tipo_el	Descrizione	Numero
7011	Faglia diretta – tratto accertato	26
Altri elementi lineari		
Tipo_el	Descrizione	Numero
5041	Orlo di scarpata morfologica (10-20m)	27
5042	Orlo di scarpata morfologica (>20m)	7

Per quanto concerne l'identificazione dei picchi isolati, che come previsto dalle specifiche di riferimento rientrano all'interno della feature E puntuali, si è proceduto attraverso la selezione dei punti quotati e delle curve di livello della CTRN 1:10.000 e successivamente all'identificazione dei punti quota che ricadevano all'interno del contesto morfologico "picco isolato". Di seguito si riporta la tabella riepilogativa degli elementi morfologici puntuali riconosciuti.

Elementi morfologici puntuali		
Tipo_ep	Descrizione	Numero
6010	Picco Isolato	3

Sulla base delle informazioni raccolte nelle fase di censimento dati nell'area oggetto di studio non sono stati individuati elementi morfologici relativi alle forme di superficie e sepolte.

Le stesse fonti dati, ulteriormente integrate con gli elementi di dissesto geomorfologico presenti nel PAI, sono state utilizzate per l'individuazione, la definizione e l'archiviazione delle zone suscettibili di instabilità. In particolare la metodologia di rappresentazione cartografica, nelle aree in cui si verificava la



Regione Siciliana – Presidenza
Dipartimento della Protezione
Civile

Università degli Studi di Messina
C.A.R.E.C.I
Centro Attrazione Risorse
Esterne e Creazione d'Impresa

sovrapposizione di dissesti presenti in diverse fonti dati, ha puntato alla perimetrazione dell'area di ingombro complessiva. Di seguito gli elementi di instabilità, archiviati all'interno della feature *Instab*:

Instabilità di versante		
Tipo_i	Descrizione	Numero
3011	Crollo o ribaltamento – attiva	8
3012	Scorrimento – attiva	2
3013	Colata – attiva	1
3014	Complessa – attiva	3
3015	Non definito – attiva	7
3022	Scorrimento – quiescente	1
3024	Complessa – quiescente	3
3032	Scorrimento – inattiva	4
3034	Complessa - inattiva	3
3045	Non definita – non definita	2

Infine, per quanto riguarda l'archiviazione e rappresentazione cartografica degli elementi geologici sono stati acquisiti dai rilievi effettuati per la redazione del PRG comunale (per le giaciture degli strati).

Di seguito la sintesi degli elementi geologici e idrogeologici archiviati nella feature *Geoidr*:

Elementi geologici e idrogeologici		
Tipo_gi	Descrizione	Numero
11	Giacitura strati	11

Carta delle microzone omogenee in prospettiva sismica (livello 1)

La realizzazione dell'elaborato da un punto di vista informatico ha previsto la semplice rappresentazione delle informazioni precedentemente elaborate e descritte nel capitolo dedicato alla descrizione della metodologia di individuazione delle microzone omogenee. A causa della scelta di rappresentare una più vasta porzione di territorio, anziché limitarsi alle sole aree di prescrizione individuate dal Comune di



Regione Siciliana – Presidenza
Dipartimento della Protezione
Civile

Università degli Studi di Messina
C.A.R.E.C.I
Centro Attrazione Risorse
Esterne e Creazione d'Impresa

Rometta, rispetto a quanto previsto dalla specifiche si è provveduto ad inserire il layer di tali aree, in modo da agevolare l'individuazione delle aree di interesse.

Carta delle frequenze

L'elaborato in questione è stato realizzato perché previsto dalla convenzione fra il DRPC e l'Università e prevede la rappresentazione delle indagini HVSR di nuova realizzazione. In particolare si è provveduto ad evidenziare per ciascun punto di misura i valori di frequenze e le relative amplificazioni secondo la seguente convenzione:

- in nero l'indicazione del valore della frequenza fondamentale e relativa amplificazione
- in blu l'indicazione del secondo valore di frequenza e relativa amplificazione
- n.a. nessuna amplificazione

Poiché le specifiche non prevedono degli standard di rappresentazione per la carta in oggetto si è provveduto a realizzare un layout ad hoc per l'inserimento nella presente relazione, per quanto concerne invece la metodologia di acquisizione si rimanda al capitolo dedicato.



Regione Siciliana – Presidenza
Dipartimento della Protezione
Civile

Università degli Studi di Messina
C.A.R.E.C.I
Centro Attrazione Risorse
Esterne e Creazione d'Impresa

8 GEOGNOSTICA E GEOFISICA

Per l'analisi geognostico – geofisica non è stato possibile disporre di dati di alcun tipo in quanto lo studio geologico di supporto al progetto di P.R.G. è stato eseguito senza l'ausilio di indagini geognostiche e l'amministrazione Comunale di Rometta non ha fornito nessun'altra documentazione relativa ad indagini geognostiche utili allo scopo.

Sono stati usati, pertanto, solo le misure di rumore sismico, eseguite, specificatamente per questo I Livello di Microzonazione Sismica, mediante uso del TROMINO®, che come è noto, in assenza di dati geognostici e di misure di velocità delle onde sismiche possono restituire informazioni geognostiche solo di tipo qualitativo.

8.1 Strumentazione utilizzata

Per le registrazioni dei dati di campagna è stato usato un tromometro (misuratore di vibrazioni) digitale di ultima generazione concettualmente derivato da quello concepito nel 1870 da Timoteo Bertelli.

Tale strumentazione, commercializzata con la denominazione TROMINO®, è prodotta e brevettata da Micromed S.p.a. e possiede i vantaggi di essere estremamente compatta, leggera e dotata di una grande semplicità di utilizzo: Queste caratteristiche ne permettono il posizionamento e l'attivazione della registrazione quasi ovunque in pochi minuti.

La versione utilizzata per le acquisizioni di questa indagine è dotata di tre canali velocimetrici elettrodinamici, ad alta risoluzione, disposti secondo tre direzioni tra di loro ortogonali e smorzati criticamente.

Il segnale del microtremore, rilevato dai velocimetri, è inviato ad un convertitore integrato A/D a 24 bit, equivalenti a 128 Hz, e registrato in una scheda di memoria



Regione Siciliana – Presidenza
Dipartimento della Protezione
Civile

Università degli Studi di Messina
C.A.R.E.C.I
Centro Attrazione Risorse
Esterne e Creazione d'Impresa

interna da 1 Gb: in questo modo sono stati evitati cavi di connessione potenzialmente in grado di introdurre rumori meccanici od elettronici nel processo di acquisizione.

Il costruttore dichiara un'operatività del sistema nell'intervallo di frequenze 0,1 - 1024 Hz su tutti i canali, che può estendersi fino a 32 kHz limitando le registrazioni a due canali, garantendo la visibilità di microtremori fino a ± 1.5 mm/s con un'accuratezza, al di sopra di 0,1 Hz, maggiore di 10^{-4} .

8.2 Processing dei dati

Il processing dei dati acquisiti in campagna è stato effettuato con il software GRILLA realizzato dalla stessa Micromed S.p.a., che costituisce il logico completamento della strumentazione realizzata.

L'attuale versione del software permette l'equalizzazione dei dati acquisiti solo a 128 e 512 Hz, semplici considerazioni analitiche indicano che una frequenza di campionamento a 128 Hz è ampiamente sufficiente alla ricostruzione dei segnali imputabili alle frequenze di interesse stratigrafico (< di 40 Hz), mentre l'adozione della frequenza di campionamento a 512 Hz è stata prevista per lo studio di vibrazioni fino a 100 Hz derivate dalle attività antropiche, in accordo alle norme UNI 9916 e DIN 4150, pertanto l'utilizzo di campionamenti a frequenze diverse deve necessariamente essere ricondotto a quelle di base utilizzando una apposita funzione del database di Grilla (*File>Desampling*).

Il software consente la scelta delle finestre temporali (in numero e durata) in seguito all'analisi dei grafici della variazione temporale ed azimutale dello spettro H/V e che devono essere selezionate secondo criteri di stabilità delle frequenze d'interesse eliminando eventuali transienti.

Le serie temporali registrate, nelle tre componenti del moto, vengono analizzate secondo procedure spettrali di vario tipo (tipicamente FFT) fino alla produzione delle curve H/V, dove la componente H è restituita come media di due componenti spettrali orizzontali ortogonali.

Il software permette, inoltre, l'applicazione del test di significatività H/V proposto da SESAME (Site EffectS Assessment using AMbient Excitations) nel 2005.



PROTEZIONE CIVILE
Presidenza del Consiglio dei Ministri
Dipartimento della Protezione Civile



Regione Siciliana – Presidenza
Dipartimento della Protezione
Civile



Università degli Studi di Messina
C.A.R.E.C.I
Centro Attrazione Risorse
Esterne e Creazione d'Impresa

Si tratta di due gruppi di condizioni: 3 il primo gruppo e 6 il secondo. I primi tre criteri valutano la durata della registrazione e la durata delle finestre di analisi verificando la loro adeguatezza alla frequenza analizzata; i successivi sei criteri sono di significatività della distribuzione statistica e valutano la convergenza del picco individuato ad una gaussiana e la deviazione standard della frequenza ed ampiezza del picco: in pratica indicano semplicemente se la forma del picco possiede una struttura ben definita.

E' utile osservare che la rigida applicazione di questi criteri non è desiderabile per diverse situazioni specifiche: per esempio, in siti dove affiora il bedrock o dove i contrasti di velocità sono molto deboli, per esempio a causa della graduale transizione di velocità verso il basso, i criteri SESAME non vengono superati. Questo non implica necessariamente la mancata o l'errata acquisizione di risonanze importanti: si tratta nel primo caso di un sito privo di amplificazione e questa è comunque un'informazione stratigrafica, mentre, nel secondo caso, che il picco, o i picchi, di frequenza non sono chiaramente definibili, ed anche questa, se ben interpretata, può costituire un'interpretazione stratigrafica.

Ulteriore, e relativamente comune, caso di non superamento dei criteri SESAME è costituito da quei siti in cui sono presenti inversioni di velocità causate da strati lenti (Low Velocity Layer), non rilevabili in superficie, cavità e/o strutture artificiali superficiali od a piccola profondità (pavimentazioni, lastricati, fondazioni asimmetriche, paratie, platee di fondazione). In queste situazioni sono state riscontrate pesanti alterazioni della componente spettrale orizzontale che non interessano quella verticale (CASTELLARO E MULARGIA, 2009) che producono rapporti H/V con ampiezza inferiori a 1 (non rispetto del criterio 3 del secondo gruppo SESAME) per larghi intervalli di frequenze, ostacolando l'individuazione dell'autofrequenza del sito. E' comunque possibile rilevare ugualmente l'autofrequenza dall'analisi degli spettri delle singole componenti.

8.3 Il Rumore sismico

Le vibrazioni sismiche ambientali (o rumore sismico) sono onde sismiche di bassa energia con ampiezze dell'ordine di 10^{-4} - 10^{-2} mm (OKADA, 2003). In



Regione Siciliana – Presidenza
Dipartimento della Protezione
Civile

Università degli Studi di Messina
C.A.R.E.C.I
Centro Attrazione Risorse
Esterne e Creazione d'Impresa

riferimento al contenuto in frequenza, il rumore sismico può essere classificato come microtremore se contiene alte frequenze (> di 0.5 Hz) e microsisma per basse frequenze (< di 0.5 Hz).

Per quanto riguarda l'origine del rumore sismico, è noto (GUTENBERG, 1958; ASTEN, 1978, 1984) che le sorgenti dei microsismi sono molteplici (Tabella 6): le perturbazioni atmosferiche sugli oceani, che si propagano come onde superficiali sui continenti, l'impatto di fulmini sul terreno, i movimenti isostatici, i fenomeni di microfratturazione crostale, mentre le sorgenti dei microtremori sono essenzialmente le attività antropiche come il traffico veicolare e le attività industriali.

Sorgenti microsismiche	Gutenberg (1958)	Asten (1978, 1984)
Onde oceaniche contro le coste	0.05 - 1 Hz	0.5 - 1.2 Hz
Perturbazioni meteorologiche a grande scala	0.1 - 0.25 Hz	0.16 - 0.5 Hz
Cicloni oceanici	0.3 - 1 Hz	0.5 - 3 Hz
Condizioni meteorologiche locali	1.4 - 5 Hz	
Tremore vulcanico	2 - 10 Hz	
Attività antropiche e veicolari	1 - 100 Hz	1.4 - 30 Hz

Tabella 6 - Sorgenti del rumore sismico

E' opinione diffusa, anche se non unanime, che il rumore sismico ambientale si propaga come onde superficiali, in ogni caso queste rivestono un ruolo fondamentale perché possiedono una velocità prossima a quella delle onde S (LACHET & BARD, 1994).

Inoltre il rumore sismico, in virtù della sua ubiquità, della sua natura stocastica e del contenuto in frequenze di interesse ingegneristico, si dimostra utile per la stima degli effetti di sito (BEN - MENAHEM & SINGH, 1981). E' stata, infatti, ampiamente riconosciuta, da tempo, la dipendenza dell'andamento dello spettro del rumore di fondo dalle condizioni topografiche e litostratigrafiche locali.

Nel moto di propagazione dello scuotimento sismico entro il bedrock le onde sismiche subiscono il fenomeno dell'attenuazione geometrica che sostanzialmente



PROTEZIONE CIVILE
Presidenza del Consiglio dei Ministri
Dipartimento della Protezione Civile



Regione Siciliana – Presidenza
Dipartimento della Protezione
Civile



Università degli Studi di Messina
C.A.R.E.C.I
Centro Attrazione Risorse
Esterne e Creazione d'Impresa

ne lascia inalterato il contenuto spettrale. Nel percorso di emersione verso la superficie terrestre lo spettro delle onde sismiche può però modificarsi, più o meno intensamente, in dipendenza delle caratteristiche fisiche dei terreni attraversati e che sovrastano il bedrock. Gli effetti possibili sono di amplificazione e/o di attenuazione selettiva del contenuto in frequenza, in questo caso la colonna di sedimenti sovrapposta al bedrock agisce come un filtro, o di nessuna variazione del contenuto spettrale, caso generalmente riferibile al bedrock affiorante.

8.4 Teoria sull'analisi del Rumore Sismico

I primi tentativi di ricavare dati stratigrafici dall'analisi del rumore sismico risalgono agli anni '60 del secolo scorso. Dai primi lavori di KANAI (1954, 1957) e DOUZE (1964), che classificarono i tremori ambientali come onde di volume, si svilupparono studi basati sull'assunto che lo spettro del rumore sismico è correlabile, nel dominio della frequenza, a quello di eventi sismici avvenuti nella stessa area (KANAI & TANAKA, 1961).

Sotto questa ipotesi i microtremori sono onde S che incidono verticalmente e lo spettro del moto, che abbandona l'interfaccia bedrock/suolo, è bianco. Lo spettro del microtremore, pertanto, è rappresentativo della funzione di amplificazione sismica dei depositi incoerenti sovrapposti al bedrock. Sebbene esiste un'innegabile, anche se grossolana, correlazione tra caratteristiche geologiche del sito e frequenza del picco massimo degli spettri, che indurrebbe a interpretarla come la frequenza di risonanza del moto fondamentale, questa pratica ha trovato riscontro, solo per frequenze di picco basse ($f_0 < 1$ Hz), in diversi siti del Giappone (spiegando quindi il motivo della diffusione in quel paese), a Città del Messico (LERMO et alii, 1988) e Los Angeles (YAMANAKA et alii, 1993). Per tali motivi si tende a considerare tale tecnica poco affidabile.

Il perfezionamento del metodo avviene con l'utilizzo dei rapporti spettrali, calcolando cioè i rapporti degli spettri di Fourier delle stesse componenti registrate simultaneamente su siti di terreni incoerenti e su un sito roccioso vicino. In questo caso si presuppone che il moto, registrato su roccia sia rappresentativo di quello che arriva sull'interfaccia roccia/terreno, sotto il sito di terreni incoerenti. I risultati ottenuti si mostrano apprezzabili ed in accordo con quelli ottenuti da registrazioni di terremoti



PROTEZIONE CIVILE
Presidenza del Consiglio dei Ministri
Dipartimento della Protezione Civile



Regione Siciliana – Presidenza
Dipartimento della Protezione
Civile



Università degli Studi di Messina
C.A.R.E.C.I
Centro Attrazione Risorse
Esterne e Creazione d'Impresa

solo a basse frequenze dove l'origine del rumore è la stessa per tutti i siti indagati (YAMANAKA et alii 1993). Risultati controversi sono stati invece ottenuti a frequenze più alte (GUTIERREZ and SINGH, 1992).

Negli anni '70 del secolo scorso NOGOSHI & IGARASHI (1971) e SHIONO (1979) nell'ambito di studi sul significato fisico del rapporto tra le componenti orizzontali e verticali (H/V) del rumore ambientale mostrarono la sua relazione diretta con la curva di ellitticità delle onde di Rayleigh e conclusero che il picco massimo di ampiezza si verifica alla frequenza di risonanza fondamentale della copertura sovrastante il bedrock.

Successivamente NAKAMURA (1989), osservando empiricamente che la componente verticale del rumore sismico non è influenzata dalla presenza degli strati superficiali, propone di utilizzare il rapporto H/V come stimatore affidabile della funzione di trasferimento delle onde S per un dato sito. L'ipotesi avanzata è che i microtremiti siano originati da sorgenti molto locali, che non eccitano il tetto del bedrock, e che siano onde di Rayleigh che si propagano in un solo strato su un semispazio.

In lavori più recenti si è avuta parziale giustificazione dei risultati ottenuti da Nakamura con considerazioni teoriche (FIELD et alii, 1992; FIELD & JACOB, 1993; LERMO & CHAVEZ-GARCIA, 1994; LACHET & BARD, 1995; FAH et alii, 2001) le cui conclusioni dimostrano come la frequenza del picco massimo del rapporto H/V è correlabile con l'ellitticità, in superficie, del modo fondamentale delle onde di Rayleigh: alla frequenza di risonanza l'ellisse dello spostamento di Rayleigh cambia segno ed il rapporto H/V tende teoricamente all'infinito.

La maggiore attendibilità dei risultati è stata però verificata in condizioni geologiche semplici e con forti contrasti di velocità (DELGATO et alii, 2000). I migliori risultati, per la predizione degli effetti di sito con le misure del rapporto H/V, del rumore sismico, riguardano solo la frequenza di risonanza del modo fondamentale dello strato di sedimenti, quando non ci sono effetti laterali 2D o 3D.

Successivamente in America e poi in Europa la tecnica H/V ha trovato importanti applicazioni in ambito sismico. Con la realizzazione di un progetto denominato SESAME (2005) (Site EffectS Assessment using AMbient Excitations), che si è occupato di stabilire delle linee guida per la corretta esecuzione delle misure



Regione Siciliana – Presidenza
Dipartimento della Protezione
Civile

Università degli Studi di Messina
C.A.R.E.C.I
Centro Attrazione Risorse
Esterne e Creazione d'Impresa

di microtremore ambientale in stazione singola ed array, si è certificata l'affidabilità delle misure spettrali per la ricostruzione sismica del sottosuolo.

Permangono comunque incertezze sulla completa affidabilità del metodo di Nakamura a causa dei bassi livelli di ampiezza coinvolti che in assenza di forti contrasti di velocità contribuiscono a rendere poco definibili i picchi della funzione H/V.

8.5 Aree Interessate dalle indagini di MS

In riferimento alla delimitazione delle aree del Comune di Rometta da sottoporre agli studi di MS di primo livello, in assenza di indicazioni da parte del Comune, è stato stabilito, su indicazione del Dipartimento Regionale della Protezione Civile, di estendere le indagini all'area urbana che nel caso di Rometta è suddivisa in più frazioni tra cui, la più importante, Rometta Marea che possiede un'estensione maggiore del centro storico situato invece su di una rocca nell'entroterra, a 560 m s.l.m (Figura 20).



Regione Siciliana – Presidenza
Dipartimento della Protezione
Civile

Università degli Studi di Messina
C.A.R.E.C.I
Centro Attrazione Risorse
Esterne e Creazione d'Impresa

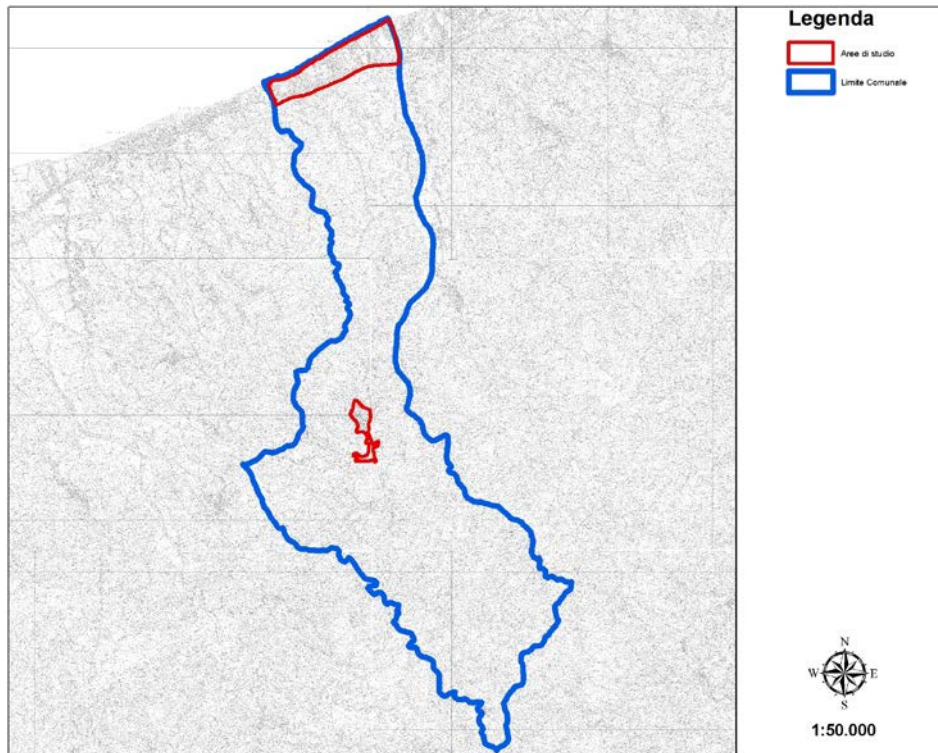


Figura 20 - Comune di Rometta: delimitazione delle aree indagate(contorno rosso).

L'area indagata è stata pertanto coperta con 21 punti complessivi di registrazione di rumore sismico così distribuiti: 10 nel centro storico sulla rocca ed 11 nella frazione costiera.

Nelle tabelle seguenti (Tabella 7, Tabella 8), sono riassunti: sigla identificativa, coordinate geografiche, quota dei siti di registrazione e risultati ottenuti.

IDENTIFICATIVO	DATA	SITO DI REGISTRAZIONE
HVSR RMT 1 - 2012	23/10/2012	ULIVETO
HVSR RMT 2 - 2012	23/10/2012	ORTO

Regione Siciliana – Presidenza
Dipartimento della Protezione
Civile

Università degli Studi di Messina
C.A.R.E.C.I
Centro Attrazione Risorse
Esterne e Creazione d'Impresa

IDENTIFICATIVO	DATA	SITO DI REGISTRAZIONE
HVSR RMT 3 - 2012	23/10/2012	FRUTTETO
HVSR - RMT 5 - 2012	23/10/2012	ORTO
HVSR - RMT 7 - 2012	23/10/2012	CAMPO PALLAVOLO
HVSR - RMT 8 - 2012	23/10/2012	PINETA
HVSR - RMT 9 - 2012	23/10/2012	AIUOLA
HVSR - RMT 10 - 2012	23/10/2012	ORTO
HVSR - RMT 11 - 2012	23/10/2012	PINETA
HVSR - RMT 12 - 2012	23/10/2012	ORTO - FRUTTETO
HVSR - RMT 13 - 2012	23/10/2012	TERRENO INCOLTO
HVSR - RMT 14 - 2012	23/10/2012	SPIAGGIA
HVSR - RMT 15 - 2012	23/10/2012	AIUOLA
HVSR - RMT 17 - 2012	26/10/2012	ORTO INCOLTO
HVSR - RMT 18 - 2012	26/10/2012	GIARDINO
HVSR - RMT 19 - 2012	26/10/2012	AGRUMETO INCOLTO
HVSR - RMT 21 - 2012	26/10/2012	SPIAGGIA
HVSR - RMT 23 - 2012	26/10/2012	ULIVETO
HVSR - RMT 24 - 2012	26/10/2012	ORTO - AGRUMETO
HVSR - RMT 25 - 2012	26/10/2012	ORTO INCOLTO
HVSR - RMT 26 - 2012	26/10/2012	AGRUMETO INCOLTO

Tabella 7 - Sigle dei siti di selezionati con relativa data di registrazione ed indicazione dell'uso del suolo.

IDENTIFICATIVO	ID_SPU	LATITUDINE	LONGITUDINE	QUOTA s.l.m.	f ₀	H/V	f ₁	H/V	f ₂	H/V
HVSR RMT 1 - 2012	083076P1	15° 24' 45,985" E	15° 24' 45,985" E	461.0	1	1.8	2	1.75	20.91	2.69
HVSR RMT 2 - 2012	083076P2	15° 24' 53,328" E	15° 24' 53,328" E	445.0	2	2	3.75	2.68		
HVSR RMT 3 - 2012	083076P3	15° 25' 1,930" E	15° 25' 1,930" E	487.0	4.52	2.49	25	2.1		
HVSR - RMT 5 - 2012	083076P4	15° 24' 44,191" E	15° 24' 44,191" E	539.0	0.9	2.15	7.69	4.29		
HVSR - RMT 7 - 2012	083076P5	15° 24' 44,185" E	15° 24' 44,185" E	527.0	0.78	2.22	15	1.95		
HVSR - RMT 8 - 2012	083076P6	15° 24' 51,065" E	15° 24' 51,065" E	554.0	0.85	2.1	2.67	4.92	29	3.6
HVSR - RMT 9 - 2012	083076P7	15° 24' 46,733" E	15° 24' 46,733" E	516.0	0.8	2	8.7	5.93		
HVSR - RMT 10 - 2012	083076P8	15° 24' 56,530" E	15° 24' 56,530" E	525.0	0.85	1.9	4.89	3.99	20	2.1



Regione Siciliana – Presidenza
Dipartimento della Protezione
Civile

Università degli Studi di Messina
C.A.R.E.C.I
Centro Attrazione Risorse
Esterne e Creazione d'Impresa

IDENTIFICATIVO	ID_SPU	LATITUDINE	LONGITUDINE	QUOTA s.l.m.	f ₀	H/V	f ₁	H/V	f ₂	H/V
HVSR - RMT 11 - 2012	083076P9	15° 24' 46,431" E	15° 24' 46,431" E	445.0	0.77	1.98	1.7	1.95		
HVSR - RMT 12 - 2012	083076P10	15° 25' 1,119" E	15° 25' 1,119" E	465.0	1.2	1.8	15	2	31.02	2.55
HVSR - RMT 13 - 2012	083076P11	15° 23' 49,158" E	15° 23' 49,158" E	7.0	1.9	1.9	40	2.15		
HVSR - RMT 14 - 2012	083076P12	15° 23' 49,025" E	15° 23' 49,025" E	3.0	1.39	2.78	25	1.95		
HVSR - RMT 15 - 2012	083076P13	15° 24' 9,530" E	15° 24' 9,530" E	8.0	1.84	2.7				
HVSR - RMT 17 - 2012	083076P14	15° 24' 7,464" E	15° 24' 7,464" E	2.0	1.44	3.92				
HVSR - RMT 18 - 2012	083076P15	15° 24' 25,941" E	15° 24' 25,941" E	4.0	1.33	2.87				
HVSR - RMT 19 - 2012	083076P16	15° 24' 31,477" E	15° 24' 31,477" E	10.0	1.6	2	6	2.1	39.98	2.56
HVSR - RMT 21 - 2012	083076P17	15° 24' 39,097" E	15° 24' 39,097" E	2.0	1.33	3.46	9.5	1.8		
HVSR - RMT 23 - 2012	083076P18	15° 24' 54,905" E	15° 24' 54,905" E	8.0	2.67	2.52	20	2		
HVSR - RMT 24 - 2012	083076P19	15° 25' 6,210" E	15° 25' 6,210" E	16.0	3.34	2.37	18	1.75		
HVSR - RMT 25 - 2012	083076P20	15° 25' 19,447" E	15° 25' 19,447" E	3.0	0.81	3.51				
HVSR - RMT 26 - 2012	083076P21	15° 25' 26,945" E	15° 25' 26,945" E	15.0	1.06	2.32				

Tabella 8 - Quadro riassuntivo dei siti di registrazione con esibizione dei dati di frequenza elaborati (per tutti i siti l'accoppiamento suolo/sensore è diretto ed orientato verso Nord); tutti i rilievi sono stati eseguiti in condizioni di bel tempo.

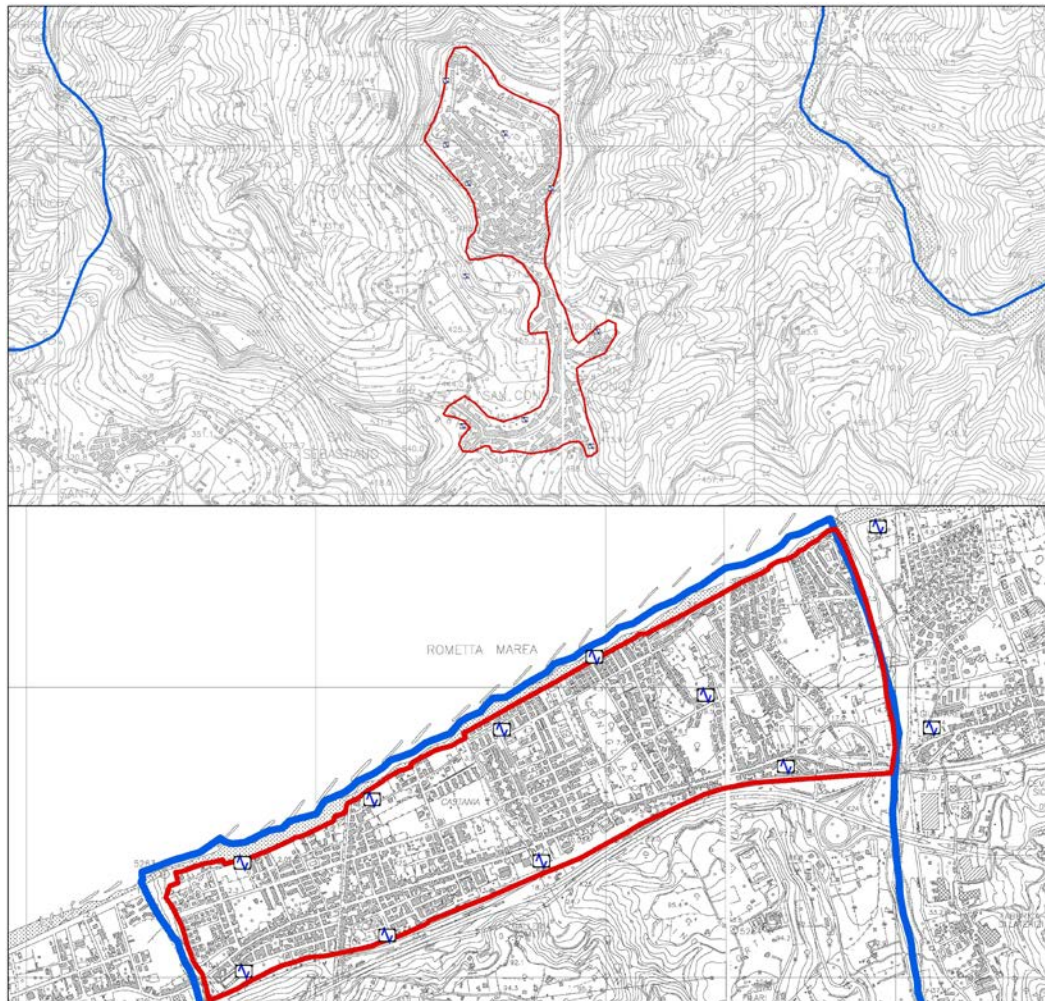


Figura 21 – Distribuzione delle indagini HVSR in relazione alle aree studiate nel Comune di Rometta.

8.6 Rappresentazione dei valori di frequenza ottenuti

I valori di frequenza ottenuti dal processing dei dati acquisiti (Tabella 8), sono stati esibiti nel relativo elaborato (Carta delle frequenze) a fianco del simbolo, che individua il sito di registrazione, con i seguenti criteri (Figura 22):



Regione Siciliana – Presidenza
Dipartimento della Protezione
Civile

Università degli Studi di Messina
C.A.R.E.C.I
Centro Attrazione Risorse
Esterne e Creazione d'Impresa

- in alto il valore della frequenza fondamentale e della relativa amplificazione;
- a destra il valore della seconda frequenza e della relativa amplificazione;
- in basso il valore della terza frequenza e della relativa amplificazione.

Il primo gruppo (es: 1,5/2) in alto, indicherà il valore dell'autofrequenza, insieme a quello della corrispondente amplificazione, in legenda sono specificate le relative attribuzioni.

Nei i siti, dove è stato rilevato un unico picco di frequenza è, ovviamente, visibile un'unica etichetta.

Nel caso di siti privi di amplificazioni (bedrock affiorante): l'etichetta riportata sarà semplicemente la sigla n.a. (nessuna amplificazione).

Regione Siciliana – Presidenza
Dipartimento della Protezione
Civile

Università degli Studi di Messina
C.A.R.E.C.I
Centro Attrazione Risorse
Esterne e Creazione d'Impresa



Figura 22 - Carta delle frequenze nel Comune di Rometta

8.7 Modello geologico dell'area in studio e bedrock geofisico

In riferimento alla classificazione, illustrata al paragrafo 7 del capitolo 4, ed alla completa assenza di dati geognostici del sottosuolo, per il comune di Rometta, la rappresentazione schematica del modello geologico tecnico, che è stato possibile



PROTEZIONE CIVILE
Presidenza del Consiglio dei Ministri
Dipartimento della Protezione Civile



Regione Siciliana – Presidenza
Dipartimento della Protezione
Civile



Università degli Studi di Messina
C.A.R.E.C.I
Centro Attrazione Risorse
Esterne e Creazione d'Impresa

approntare, è da ritenersi qualitativa ed utile solo ad orientare la programmazione delle indagini, indirizzate alla precisazione dei rapporti giaciturali ed alle definizioni quantitative delle caratteristiche geotecniche, proprie dei livelli di studio successivi.

Tale rappresentazione, in riferimento ai due diversi comparti del territorio comunale di Rometta qui analizzati, è stata eseguita per l'area montana e per l'area costiera, ed è stata compendiate nelle sezioni che corredano la Carta geologico – tecnica (Figura 23, Figura 24, Figura 25).

Area montana

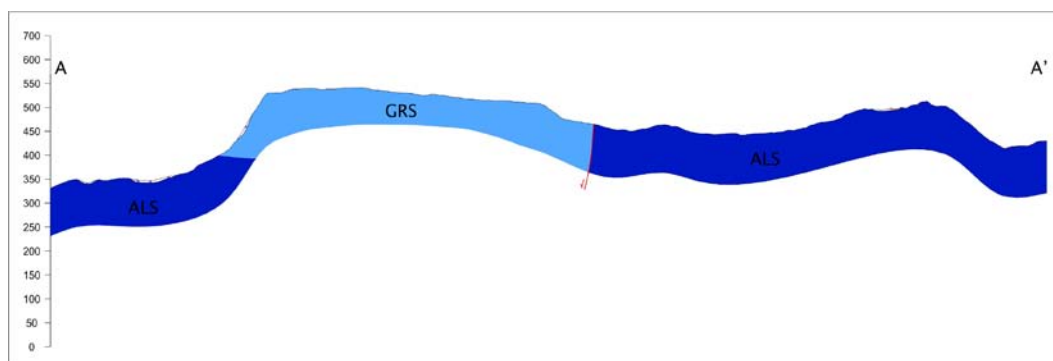


Figura 23 - Profilo A-A'



Regione Siciliana – Presidenza
Dipartimento della Protezione
Civile

Università degli Studi di Messina
C.A.R.E.C.I
Centro Attrazione Risorse
Esterne e Creazione d'Impresa

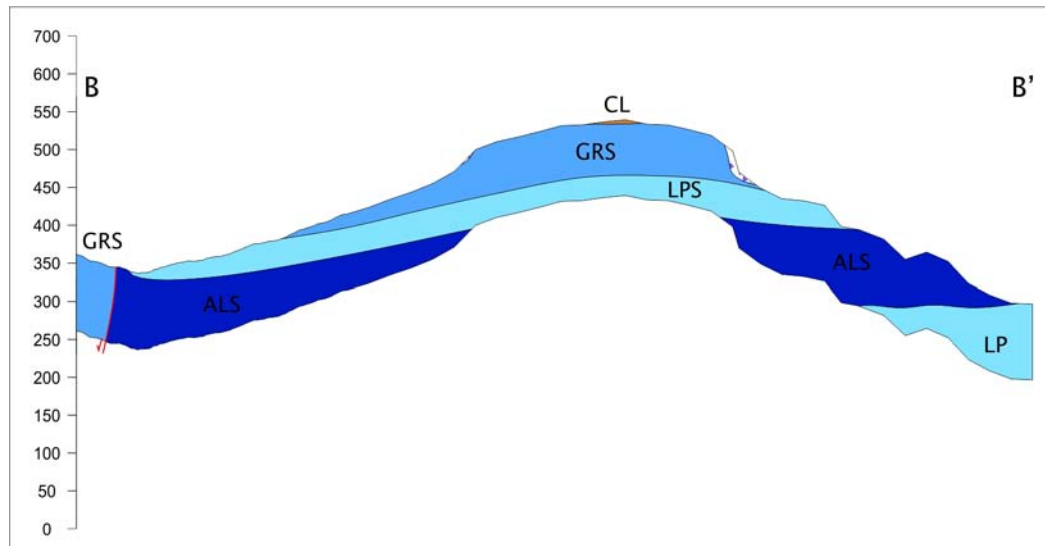


Figura 24 - Profilo B-B'

Nella selezione areale studiata, al centro della quale ricade l'abitato di Rometta (Foto 1) affiora una successione costituita alla base da terreni metamorfici dell'Unità tettonica dell'Aspromonte sormontati da potenti successioni sedimentarie, essenzialmente terrigene, associate a subordinati depositi evaporitici.



PROTEZIONE CIVILE
Presidenza del Consiglio dei Ministri
Dipartimento della Protezione Civile



Regione Siciliana – Presidenza
Dipartimento della Protezione
Civile



Università degli Studi di Messina
C.A.R.E.C.I
Centro Attrazione Risorse
Esterne e Creazione d'Impresa



Foto 1 - Vista dell'abitato di Rometta

Il substrato geologico è, pertanto, costituito da formazioni con marcate differenze geomeccaniche e strutturali e rapporti stratigrafici complessi, non riconducibile ad assetti facilmente geometrizzabili ma ad un insieme molto eterogeneo in cui la caratteristica più diffusa è data dalla presenza di vari sistemi di discontinuità, derivati dagli stress tettonici, che modulano le prestazioni geomeccaniche degli ammassi in funzione della risposta dei vari comparti litologici.

Appare evidente, infatti, la rilevanza della densità del reticolo di discontinuità presente nei volumi più fratturati che conferiscono alla roccia caratteristiche di coerenza e compattezza più tipiche di un ammasso detritico che di una formazione integra e continua, come dimostrato anche della tipologia dei dissesti che è stato possibile analizzare.



Regione Siciliana – Presidenza
Dipartimento della Protezione
Civile

Università degli Studi di Messina
C.A.R.E.C.I
Centro Attrazione Risorse
Esterne e Creazione d'Impresa

Nelle facies più litoidi, ed a comportamento più rigido, il risultato è la produzione di estesi volumi di frammenti disarticolati che alimentano le coltri detritico colluviali e che, nelle aree a minore acclività, tendono ad accumularsi fino a raggiungere grandi spessori, denudando gli affioramenti più integri.

L'assenza di dati geognostici non ha permesso di definire lo spessore della copertura detritica che, a valle delle zone di degradazione diffusa, è certamente superiori ai 5 m.

La sommità della rocca, su cui sorge il centro storico di Rometta, e su cui culminano i terreni del substrato, è ricoperta, inoltre, da un deposito argilloso sabbioso, di cui non è stato possibile accertare lo spessore, per gli stessi motivi sopraesposti, e che a causa del suo presumibile stato fisico svolge lo stesso ruolo di copertura del substrato delle coltri colluviali.

Per questo modello di sottosuolo, pertanto, le condizioni superficiali sono tali da non raggiungere i requisiti necessari per assimilare le formazioni affioranti al bedrock geofisico ($V_s > 800$ m/s) che pertanto va collocato a profondità maggiori del tetto del substrato geologico ed entro i suoi volumi più interni dove sia per le minori condizioni di fratturazione e/o per il carico litostatico, quest'ultimo offre maggiori prestazioni in termini di resistenza geomeccanica

Tale previsione appare confermata dai risultati ottenuti dalle misure HVSR (Tabella 8) che a fronte di autofrequenze pari ad 1 Hz od inferiori (Tabella 9) che tendono ad individuare il bedrock geofisico ad elevate profondità, evidenziano, per tutta l'area urbanizzata, la possibilità di amplificazione del moto del suolo, durante l'input sismico, riferibili ai fenomeni di risonanza che la differente rigidità sismica esistente tra fasce decomprese e/o depositi argillosi poco addensati ed il bedrock profondo possono innescare. L'analisi morfologica della rocca su cui sorge il centro storico di Rometta, infine, ha messo in evidenza la presenza di condizioni topografiche potenzialmente in grado di produrre ulteriori amplificazioni del moto sismico.



Regione Siciliana – Presidenza
Dipartimento della Protezione
Civile

Università degli Studi di Messina
C.A.R.E.C.I
Centro Attrazione Risorse
Esterne e Creazione d'Impresa

Zona Costiera

Il modello geologico in questo comparto (Figura 25), in cui i terreni del substrato geologico, come sopra definiti, sono completamente ricoperti dai depositi di spiaggia, è ancora più qualitativo del precedente.

L'indisponibilità di dati geognostici non permette la valutazione dello spessore della copertura né delle caratteristiche litologiche e strutturali delle formazioni che compongono il substrato.

I risultati ottenuti dalle misure HVSR (Tabella 8) indicano un aumento dell'autofrequenza che si traduce nella previsione di una minore profondità del substrato e della possibilità di amplificazione del moto del suolo, durante l'input sismico, riferibile in questo caso alla copertura totalmente incoerente dei depositi di spiaggia.

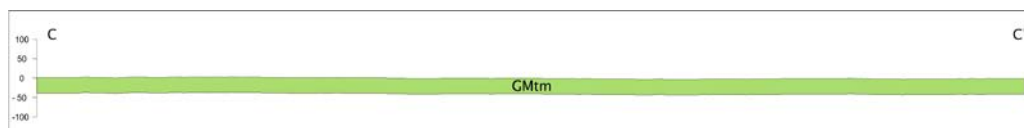


Figura 25 - Profilo C-C'

Nella seguente tabella sono riportati i risultati derivati dal processing dei dati derivati dalle misure di rumore sismico eseguite associate alla litologia del sito di registrazione.

IDENTIFICATIVO	LITOLOGIA	QUOTA s.l.m.	f ₀
HVSR RMT 1 - 2012	ALTERNANZA DI S. P. NICETO	461.0	1
HVSR RMT 2 - 2012	ALTERNANZA DI S. P. NICETO	445.0	2
HVSR RMT 3 - 2012	ALTERNANZA DI S. P. NICETO	487.0	4.52
HVSR - RMT 5 - 2012	ARENARIE DI ROMETTA	539.0	0.9
HVSR - RMT 7 - 2012	ARENARIE DI ROMETTA	527.0	0.78
HVSR - RMT 8 - 2012	ARGILLE DI ROMETTA	554.0	0.85
HVSR - RMT 9 - 2012	ARENARIE DI ROMETTA	516.0	0.8

IDENTIFICATIVO	LITOLOGIA	QUOTA s.l.m.	f_0
HVSR - RMT 10 - 2012	ARENARIE DI ROMETTA	525.0	0.85
HVSR - RMT 11 - 2012	ARENARIE DI ROMETTA	445.0	0.77
HVSR - RMT 12 - 2012	PARAGNEISS	465.0	1.2
HVSR - RMT 13 - 2012	DEPOSITI DI SPIAGGIA	7.0	1.9
HVSR - RMT 14 - 2012	DEPOSITI DI SPIAGGIA	3.0	1.39
HVSR - RMT 15 - 2012	DEPOSITI DI SPIAGGIA	8.0	1.84
HVSR - RMT 17 - 2012	DEPOSITI DI SPIAGGIA	2.0	1.44
HVSR - RMT 18 - 2012	DEPOSITI DI SPIAGGIA	4.0	1.33
HVSR - RMT 19 - 2012	DEPOSITI DI SPIAGGIA	10.0	1.6
HVSR - RMT 21 - 2012	DEPOSITI DI SPIAGGIA	2.0	1.33
HVSR - RMT 23 - 2012	DEPOSITI DI SPIAGGIA	8.0	2.67
HVSR - RMT 24 - 2012	DEPOSITI DI SPIAGGIA	16.0	3.34
HVSR - RMT 25 - 2012	DEPOSITI DI SPIAGGIA	3.0	0.81
HVSR - RMT 26 - 2012	DEPOSITI DI SPIAGGIA	15.0	1.06

Tabella 9 - Risultati dei rilievi HVSR in relazione alla geologia ed all'altimetria.

8.8 Considerazioni sui risultati ottenuti

Sulla base dei dati complessivamente acquisiti è stato possibile definire un modello geologico tecnico qualitativo del sottosuolo delle aree del Comune di Rometta, supportato unicamente dai dati derivati dalla registrazione di rumore sismico, mediante la tecnica di Nakamura.

I risultati ottenuti indicano che la tecnica impiegata, segnatamente per il contesto geologico del territorio comunale, permette l'acquisizione, in modo agevole ed in tempi relativamente brevi, di dati potenzialmente in grado di trasportare ad un ambito quantitativo il modello elaborato, condizione questa essenziale per gli obiettivi degli studi di MS di livello superiore.

A questo scopo è però indispensabile, nel caso in esame, la disponibilità di dati geognostici del sottosuolo in grado di valutare con maggiore affidabilità le caratteristiche delle formazioni d'interesse (litologia e rigidità sismica).



Regione Siciliana – Presidenza
Dipartimento della Protezione
Civile

Università degli Studi di Messina
C.A.R.E.C.I
Centro Attrazione Risorse
Esterne e Creazione d'Impresa

Sarà pertanto necessario approntare un programma di indagini geofisiche e geognostiche orientato dai risultati fin qui conseguiti e dalle indicazioni derivabili dal rilievo geologico - geomorfologico.



Regione Siciliana – Presidenza
Dipartimento della Protezione
Civile

Università degli Studi di Messina
C.A.R.E.C.I
Centro Attrazione Risorse
Esterne e Creazione d'Impresa

9 CARTA DELLE MICROZONE OMOGENEE IN PROSPETTIVA SISMICA (MOPS)

Sulla base di quanto previsto dall'ICMS le aree comunali, interessate dalle indagini, sono state suddivise in tre classi di suscettibilità:

- a) zone stabili, nelle quali non si ipotizzano effetti locali di alcuna natura (litotipi assimilabili al substrato rigido in affioramento con morfologia pianeggiante o poco acclive – pendii con inclinazione inferiore a circa 15°); in queste zone non sono quindi richiesti ulteriori approfondimenti;
- b) zone stabili suscettibili di amplificazioni locali, nelle quali sono attese amplificazioni del moto sismico, come effetto dell'assetto litostratigrafico e morfologico locale; nelle zone con variazioni stratigrafiche laterali poco significative (zone di pianura, valli ampie) sono ritenuti sufficienti approfondimenti di secondo livello; nelle zone in cui la stratigrafia presenta variazioni laterali significative e il modello geologico non è assimilabile ad un modello fisico monodimensionale, come valli strette, conche intramontane e fasce pedemontane o zone prossime a strutture tettoniche sepolte (in prima approssimazione: zone con coefficiente di forma $C > 0.25$ dove $C = H/L$, H = spessore della coltre alluvionale, L = semiampiezza della valle), sono richiesti approfondimenti di terzo livello;
- c) zone suscettibili di instabilità, nelle quali gli effetti sismici attesi e predominanti, oltre i fenomeni di amplificazione, sono riconducibili a deformazioni permanenti del territorio (instabilità di versante in presenza di pendii instabili e potenzialmente sinistabili, liquefazioni, densificazioni, cedimenti differenziali).

Nelle selezioni areali considerate per il comune di Rometta non sono presenti Zone stabili, quindi di seguito sono state individuate solo quelle appartenenti alle altre due categorie.



Regione Siciliana – Presidenza
Dipartimento della Protezione
Civile

Università degli Studi di Messina
C.A.R.E.C.I
Centro Attrazione Risorse
Esterne e Creazione d'Impresa

La carta delle Microzone Omogenee in Prospettiva Sismica (da qui in poi MOPS) realizzata per il Comune di Rometta ha una superficie di circa 8,15 Km² e comprende una zona di estensione più ampia rispetto a quella dell'area interessata dai rilievi di rumore sismico.

Nonostante nell'area oggetto di studio affiorino estesamente terreni di natura litoide costituenti il substrato geologico questi non costituiscono in ogni caso zone stabili per le seguenti ragioni:

- condizioni topografiche: pendii con inclinazioni superiori ai 15° e dislivelli superiori a 30 m
- la presenza di uno strato di alterazione che generalmente interessa i primi metri delle formazioni, il cui spessore, sulla base dei dati ad oggi disponibili, può raggiungere valori superiori ai 3 m

Per quanto concerne i terreni di copertura questi sono stati classificati come zone suscettibili di amplificazioni locali a partire dalle indicazioni degli ICMS e, quindi, sulla base di fattori topografici e morfologici locali nonché fattori di carattere litostratigrafico ($V_s < 800$ m/s, spessori > 5 m).

Nella selezione areale studiata sono state individuate 6 zone suscettibili di amplificazione (Figura 26) e 34 zone suscettibili di instabilità (Figura 27) che verranno di seguito descritte.

Regione Siciliana – Presidenza
Dipartimento della Protezione
Civile

Università degli Studi di Messina
C.A.R.E.C.I
Centro Attrazione Risorse
Esterne e Creazione d'Impresa

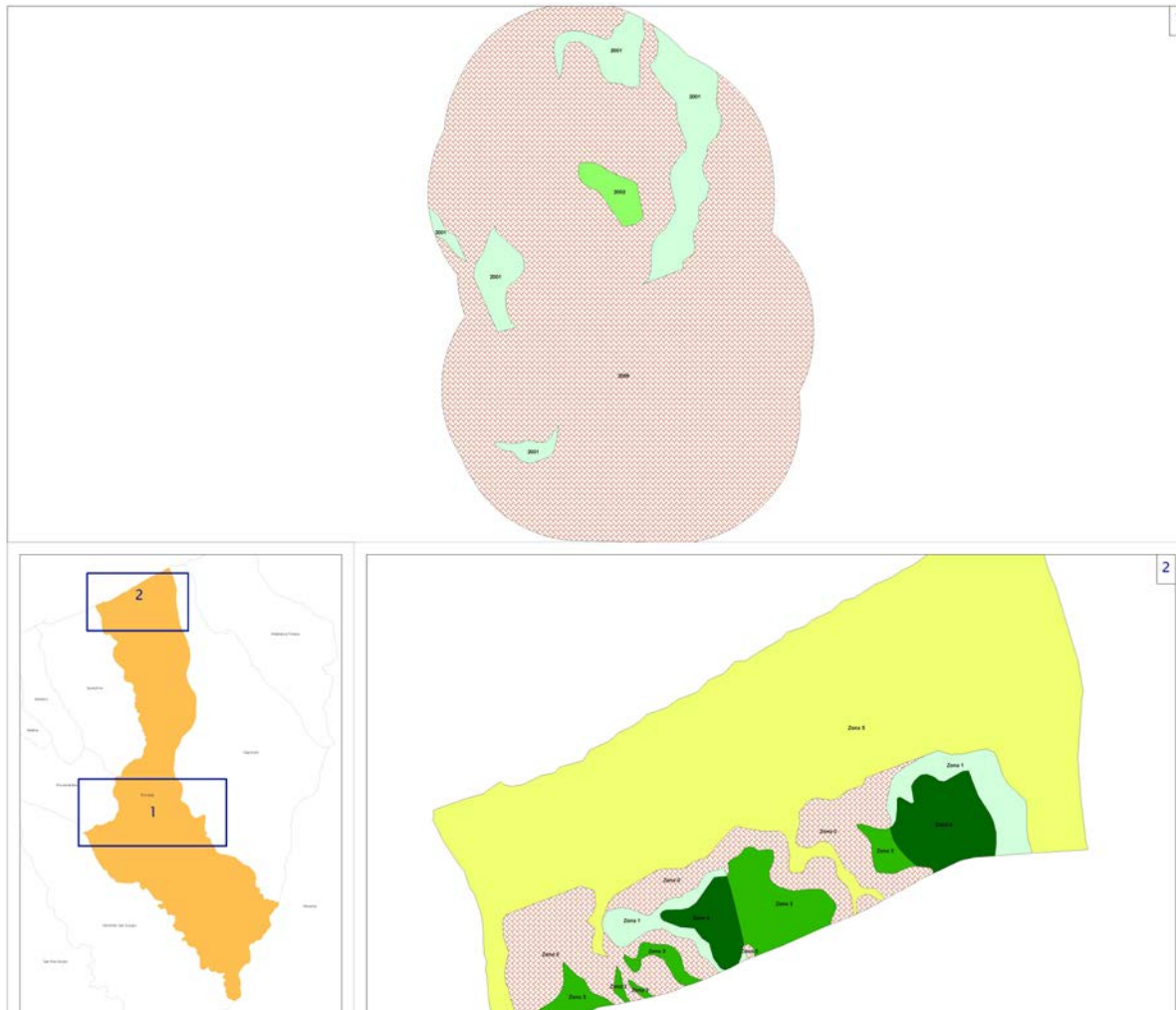


Figura 26 – Schema delle Microzone Omogenee in Prospettiva Sismica



Regione Siciliana – Presidenza
Dipartimento della Protezione
Civile

Università degli Studi di Messina
C.A.R.E.C.I
Centro Attrazione Risorse
Esterne e Creazione d'Impresa

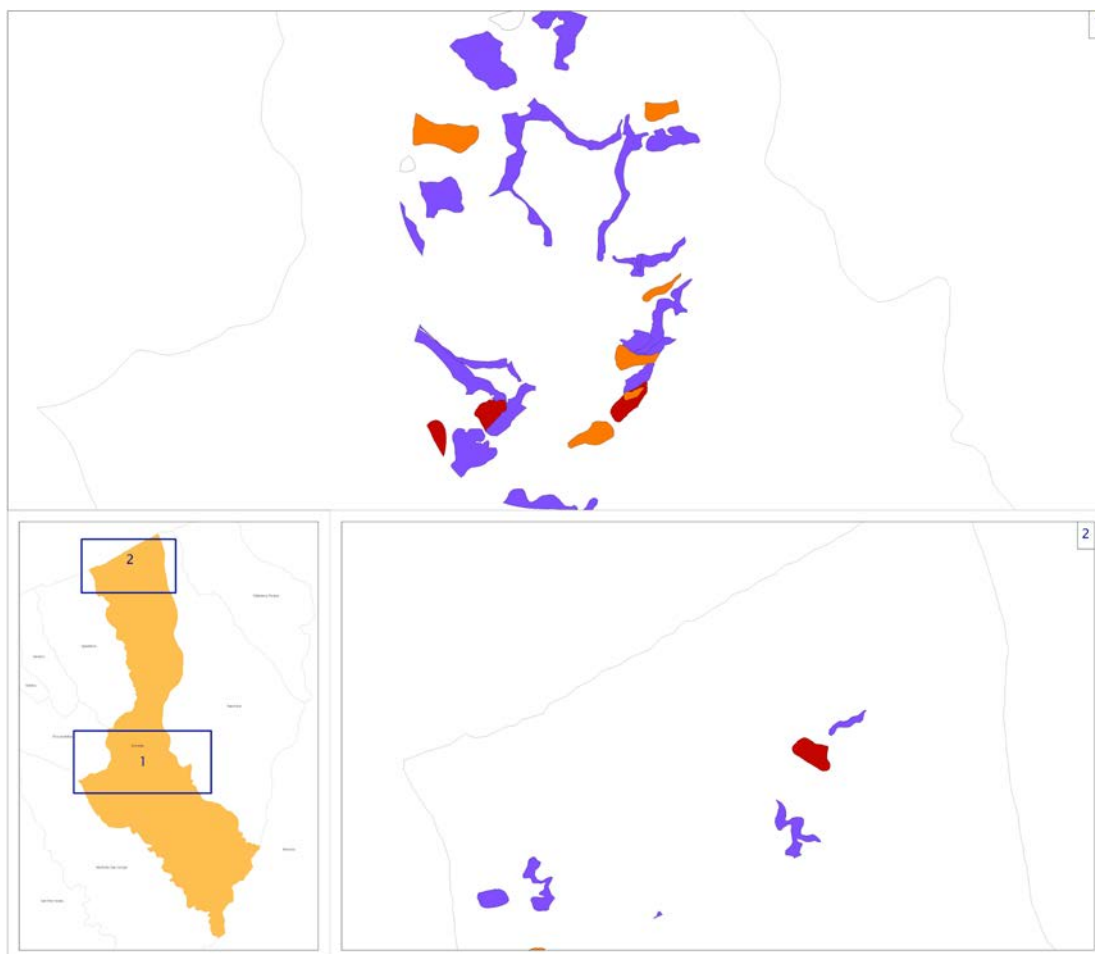


Figura 27 – Schema delle zone suscettibili di instabilità

9.1 Zone stabili suscettibili di amplificazioni locali

Zona 0

Questa zona, che si estende per quasi tutta la selezione areale considerata a monte, raggruppa terreni appartenenti a litofacies metamorfiche e sedimentarie del substrato geologico appartenenti alle seguenti formazioni: Unità dell'Aspromonte,



Regione Siciliana – Presidenza
Dipartimento della Protezione
Civile

Università degli Studi di Messina
C.A.R.E.C.I
Centro Attrazione Risorse
Esterne e Creazione d'Impresa

Alternanza conglomeratico arenaceo pelitica, Alternanza molassico pelitica, Calcarea di base, Conglomeratico Arenaceo Pelitica.

La classificazione in zona stabile, ma suscettibile di amplificazioni, locali è data dalle condizioni di acclività (frequenti pendii con inclinazioni superiori ai 15° e dislivelli superiori a 30 m).

Tali formazioni appaiono interessate da un esteso sistema di fratture che rende gli ammassi rocciosi disarticolati. E' presente, a luoghi una copertura detritica incoerente il cui spessore, in corrispondenza di zone poco acclivi, è dell'ordine di diversi metri. Non si dispongono di dati geognostici diretti per ulteriori caratterizzazioni di dettaglio. Il centro storico di Rometta ricade in questa zona.





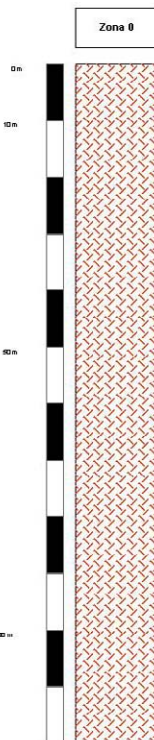
PROTEZIONE CIVILE
Presidenza del Consiglio dei Ministri
Dipartimento della Protezione Civile



Regione Siciliana – Presidenza
Dipartimento della Protezione
Civile



Università degli Studi di Messina
C.A.R.E.C.I
Centro Attrazione Risorse
Esterne e Creazione d'Impresa





PROTEZIONE CIVILE
Presidenza del Consiglio dei Ministri
Dipartimento della Protezione Civile



Regione Siciliana – Presidenza
Dipartimento della Protezione
Civile

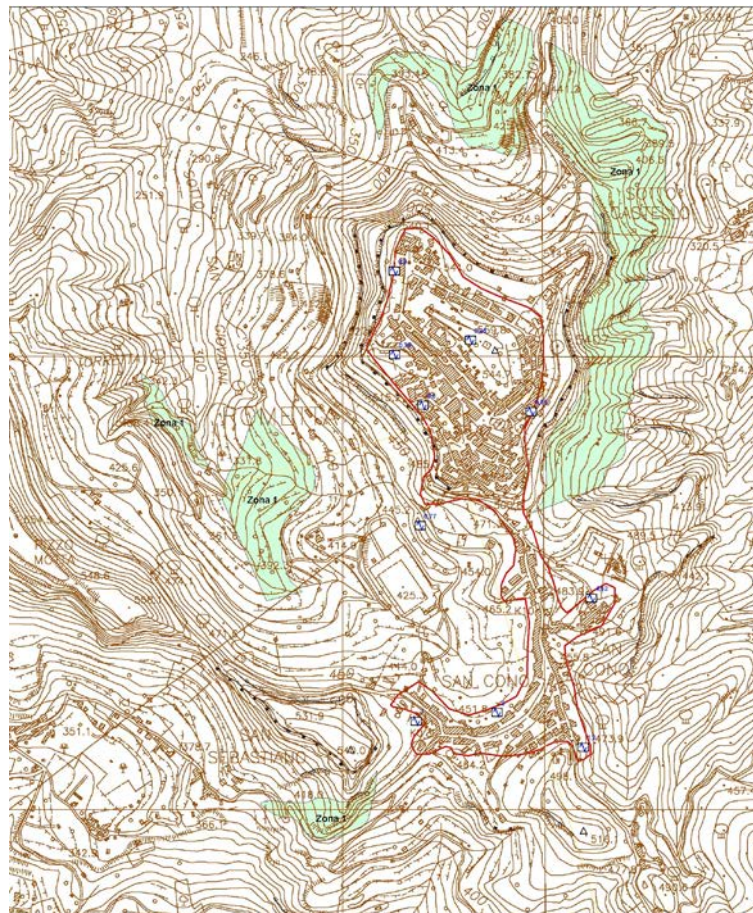


Università degli Studi di Messina
C.A.R.E.C.I
Centro Attrazione Risorse
Esterne e Creazione d'Impresa

Zona 1

E' presente alla base della rocca di Rometta e in due areali a S della frazione di Rometta Marea. E' rappresentata dal Calcarea di base che è stato distinto dai terreni della precedente zona per una significativa differenza nel grado di fratturazione. La classificazione in zona stabile, ma suscettibile di amplificazioni, locali è data dalle condizioni di acclività (frequenti pendii con inclinazioni superiori ai 15° e dislivelli superiori a 30 m).

Non si dispongono di dati geognostici diretti per ulteriori caratterizzazioni di dettaglio.





PROTEZIONE CIVILE
Presidenza del Consiglio dei Ministri
Dipartimento della Protezione Civile



Regione Siciliana – Presidenza
Dipartimento della Protezione
Civile



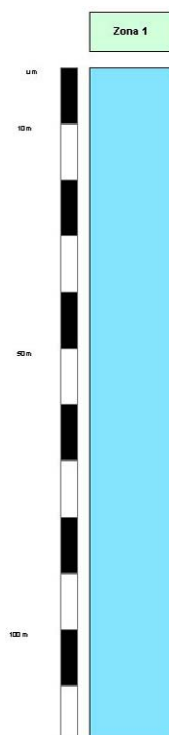
Università degli Studi di Messina
C.A.R.E.C.I
Centro Attrazione Risorse
Esterne e Creazione d'Impresa





Regione Siciliana – Presidenza
Dipartimento della Protezione
Civile

Università degli Studi di Messina
C.A.R.E.C.I
Centro Attrazione Risorse
Esterne e Creazione d'Impresa



Zona 2

Si trova esclusivamente alla sommità della rocca di Rometta dove i terreni dell'Alternanza arenaceo calcarenitica sono sormontati da una lente di argille sabbiose plioceniche, moderatamente consistenti.

In questa zona ricade il Parco urbano del centro storico di Rometta. Non sono disponibili dati per ulteriori caratterizzazioni di dettaglio.



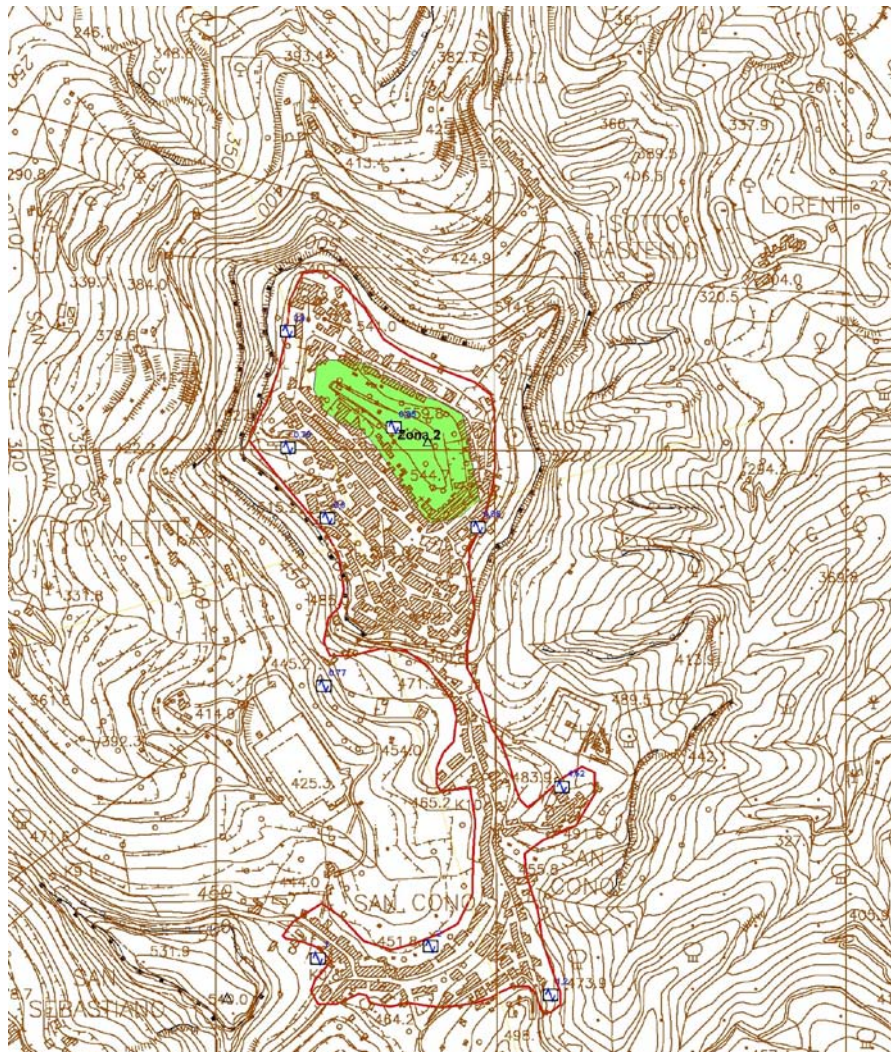
PROTEZIONE CIVILE
Presidenza del Consiglio dei Ministri
Dipartimento della Protezione Civile



Regione Siciliana – Presidenza
Dipartimento della Protezione
Civile



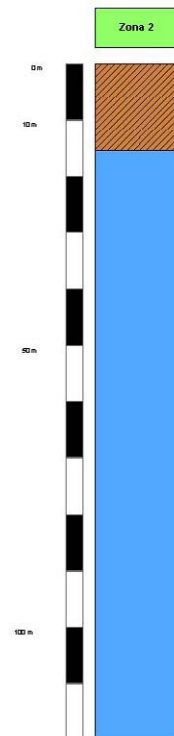
Università degli Studi di Messina
C.A.R.E.C.I
Centro Attrazione Risorse
Esterne e Creazione d'Impresa





Regione Siciliana – Presidenza
Dipartimento della Protezione
Civile

Università degli Studi di Messina
C.A.R.E.C.I
Centro Attrazione Risorse
Esterne e Creazione d'Impresa



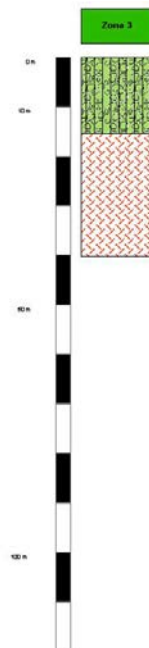
Zona 3

E' presente a S della frazione di Rometta Marea, scomposta in un areale maggiore e cinque di dimensioni minori. Comprende i depositi clastici, ascritti ai terrazzi fluvio marini, che sormontano il raggruppamento dei terreni del substrato molto fratturati. Non si dispongono di dati geognostici diretti per ulteriori caratterizzazioni di dettaglio.



Regione Siciliana – Presidenza
Dipartimento della Protezione
Civile

Università degli Studi di Messina
C.A.R.E.C.I
Centro Attrazione Risorse
Esterne e Creazione d'Impresa





PROTEZIONE CIVILE
Presidenza del Consiglio dei Ministri
Dipartimento della Protezione Civile



Regione Siciliana – Presidenza
Dipartimento della Protezione
Civile

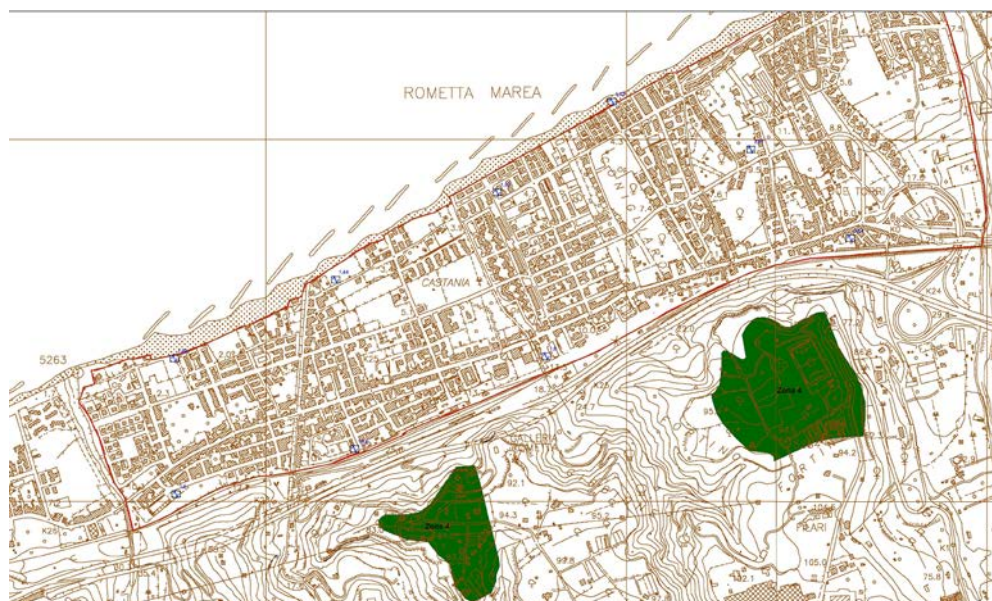


Università degli Studi di Messina
C.A.R.E.C.I
Centro Attrazione Risorse
Esterne e Creazione d'Impresa

Zona 4

Comprende ancora i depositi clastici, ascritti ai terrazzi fluvio marini, a S della frazione di Rometta Marea, che sormontano il substrato costituito dal Calcarea di base, distinto dal raggruppamento dei terreni della precedente zona, per una significativa differenza nel grado di fratturazione.

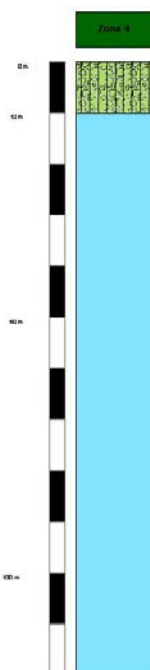
E' scomposta in due distinti areali il maggiore dei quali è situato sul fianco sinistro del T. Saponara. Non si dispongono di dati geognostici diretti per ulteriori caratterizzazioni di dettaglio.





Regione Siciliana – Presidenza
Dipartimento della Protezione
Civile

Università degli Studi di Messina
C.A.R.E.C.I
Centro Attrazione Risorse
Esterne e Creazione d'Impresa



Zona 5

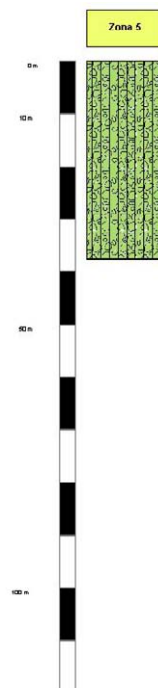
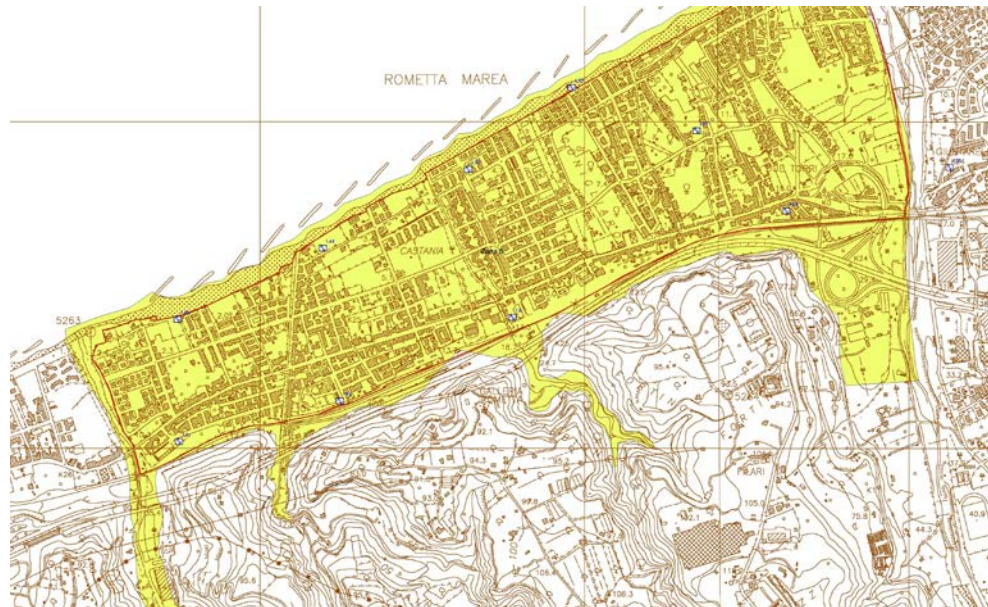
Questa zona comprende la pianura costiera su cui è edificata la frazione di Rometta Marea. E' possibile prevedere, sulla sola base delle giaciture riconoscibili in affioramento, che i depositi di spiaggia ricoprono, le metamorfite dell'Unità dell'Aspromonte, l'Alternanza conglomeratico arenaceo pelitica, ed il Calcare di base.

In assenza di ulteriori dati non è possibile definire la geometria dei rapporti che queste formazioni presentano in profondità.



Regione Siciliana – Presidenza
Dipartimento della Protezione
Civile

Università degli Studi di Messina
C.A.R.E.C.I
Centro Attrazione Risorse
Esterne e Creazione d'Impresa





Regione Siciliana – Presidenza
Dipartimento della Protezione
Civile

Università degli Studi di Messina
C.A.R.E.C.I
Centro Attrazione Risorse
Esterne e Creazione d'Impresa

9.2 Zone suscettibili di instabilità

Sulla base delle informazioni disponibili è stato possibile ascrivere a questa categoria tutti quei fenomeni legati ai processi morfogenetici che innescano, o hanno indotto, deformazioni permanenti sul territorio. Come descritto nel capitolo 0 e nel paragrafo 4.3 per la definizione di queste zone sono state analizzate ed elaborate le informazioni acquisite dal PAI. Questo piano ad oggi rappresenta, a livello regionale, lo strumento tecnico-scientifico con valenza amministrativa che meglio rappresenta lo stato conoscitivo del territorio in termini di dissesti geomorfologici e più in generale idro-geomorfologici. Va precisato che, pur essendo un valido strumento con elevata valenza amministrativa e governo della pianificazione territoriale, il PAI si riferisce ad uno stato dei luoghi e dei fenomeni funzione della data di esecuzione dei rilievi.

Per la realizzazione della carta delle MOPS, così come per la redazione della carta Geologico-Tecnica, sono state individuate e classificate, come zone suscettibili di instabilità, solo quelle ricadenti all'interno delle aree interessate dai piani di espansione urbanistica così come vengono definite nel P.R.G.

Ciò premesso nella tabella di seguito proposta è riportato l'elenco completo dei 32 dissesti presenti nell'area oggetto di studio.

Comune	Rometta (ME)				
Bacino Idrografico (P.A.I.)	Bacini minori fra FIUMEDINISI e Capo Peloro Bacini minori fra SAPONARA e NICETO Niceto				
LOCALITA	SIGLA	COD_TIP	COD_ATT	PERICOLO	Superficie
Est S. Cono	002-5RM-003	1	1	n.c.	17173,95968
Torriente versante W	003-5RM-027	8	1	2	93885,99035
Rio Boncordo dx idro	003-5RM-005	4	2	1	9382,932042
Vallone Pizzitolo	004-5RM-006	7	1	2	203906,3853
Est Cimitero	002-5RM-010	5	2	1	5228,161405



Regione Siciliana – Presidenza
Dipartimento della Protezione
Civile

Università degli Studi di Messina
C.A.R.E.C.I
Centro Attrazione Risorse
Esterne e Creazione d'Impresa

Comune	Rometta (ME)				
Bacino Idrografico (P.A.I.)	Bacini minori fra FIUMEDINISI e Capo Peloro Bacini minori fra SAPONARA e NICETO Niceto				
LOCALITA	SIGLA	COD_TIP	COD_ATT	PERICOLO	Superficie
Versante est del centro abitato	002-5RM-007	1	1	n.c.	23499,99767
Rio Scagliola	003-5RM-007	11	1	2	65503,87256
Rometta versante nord-ovest	003-5RM-001	1	1	n.c.	49012,94507
Sud di S. Sebastiano	004-5RM-036	4	2	2	12788,38539
Pizzo Motta	004-5RM-002	1	1	n.c.	82666,73152
Sud di S. Sebastiano	004-5RM-005	5	1	3	27317,36216
Sotto Castello	003-5RM-029	11	1	2	40632,71993
Est S. Cono	002-5RM-005	8	1	1	7414,600164
Sud est S. Cono	002-5RM-002	4	2	1	2468,515838
Rio Santa Venera sx idro	003-5RM-004	11	1	2	12367,73912
Sotto Castello	002-5RM-028	5	1	3	15302,40533
Nord Cimitero	002-5RM-008	1	1	n.c.	12199,96791
Sotto San Giovanni	003-5RM-034	5	1	3	22605,95631
Pizzo Motta	004-5RM-035	5	3	1	10805,50489
Sud di S. Cono	004-5RM-038	4	3	1	16763,30358
Est S. Cono	002-5RM-006	8	1	2	11668,68522



Regione Siciliana – Presidenza
Dipartimento della Protezione
Civile

Università degli Studi di Messina
C.A.R.E.C.I
Centro Attrazione Risorse
Esterne e Creazione d'Impresa

Comune	Rometta (ME)				
Bacino Idrografico (P.A.I.)	Bacini minori fra FIUMEDINISI e Capo Peloro Bacini minori fra SAPONARA e NICETO Niceto				
LOCALITA	SIGLA	COD_TIP	COD_ATT	PERICOLO	Superficie
Rio Cisterna	003-5RM-006	11	1	2	77347,21208
Fortino	003-5RM-008	5	3	1	14193,71624
Rio Boncordo dx idro	003-5RM-003	4	1	2	8578,632783
Fortino	003-5RM-009	1	1	n.c.	4758,778751
Pizzo Motta vers. est	003-5RM-002	1	1	n.c.	54387,78729
Est S. Cono	002-5RM-004	5	2	2	10921,94992
Nord Cimitero	002-5RM-009	2	1	3	1182,98707
Sotto San Giovanni	003-5RM-033	5	2	2	28820,47335
Sotto Castello	002-5RM-027	7	2	1	9199,129073
Sud est S. Cono	002-5RM-001	5	3	1	10413,81089

Nella tabella sopra riportata ad ogni valore numerico inserito nelle colonne COD_TIP, COD_ATT, Pericolo corrisponde un preciso significato in termini di tipo dissesto, codice attività e Pericolo. La tabella di seguito proposta, consente la decodifica in linguaggio formale del tipo di dissesto, del suo stato di attività e del suo grado di pericolosità così come definito nel DB del PAI.

Dissesti	COD_TIP
Crollo e/o ribaltamento	1
Colamento rapido	2
Sprofondamento	3
Scorrimento	4



Regione Siciliana – Presidenza
Dipartimento della Protezione
Civile

Università degli Studi di Messina
C.A.R.E.C.I
Centro Attrazione Risorse
Esterne e Creazione d'Impresa

Frana complessa	5
Espansione laterale o deformazione gravitativa (DGPV)	6
Colamento lento	7
Area a franosità diffusa	8
Deformazione superficiale lenta	9
Calanco	10
Dissesti conseguenti ad erosione accelerata	11
Stato di attività	COD_ATT
Attivo	1
Inattivo	2
Quiescente	3
Stabilizzato artificialmente o naturalmente	4
Pericolosità	
P0 basso	1
P1 moderato	2
P2 medio	3
P3 elevato	4
P4 molto elevato	5



Regione Siciliana – Presidenza
Dipartimento della Protezione
Civile

Università degli Studi di Messina
C.A.R.E.C.I
Centro Attrazione Risorse
Esterne e Creazione d'Impresa

10 INDICAZIONI CONCLUSIVE

I rilievi geologici e geomorfologici acquisiti per il territorio comunale esaminato sono stati utili alla ricostruzione di un modello geologico preliminare del sottosuolo ed alla successiva classificazione delle formazioni presenti, in affioramento ed in profondità, finalizzata alla delimitazione di Microzone Omogenee. E' però necessario segnalare che l'analisi delle informazioni geologiche di base, propedeutica alla realizzazione degli elaborati prodotti, ha messo in evidenza per questo ambito territoriale la completa mancanza di dati geognostici che rende indispensabili opportune integrazioni.

I risultati conseguiti sono, pertanto da considerare preliminari e potranno essere perfezionati solo in sede di successivi approfondimenti.

In questa fase si possono suggeriscono le seguenti indicazioni:

1) MODELLO TRIDIMENSIONALE DEL SOTTOSUOLO.

Nel territorio in esame, segnatamente per l'area costiera, appare di grande utilità la ricostruzione della morfologia del substrato geologico, al di sotto delle coperture dei terrazzi fluvio marini e dei depositi di spiaggia, sia ai fini del dettaglio dello spessore delle coperture allo scopo di individuare eventuali giaciture complesse, derivate anche dalla presenza di strutture tettoniche sepolte o giustapposizioni tra corpi a differente litologia che possono differenziare notevolmente la risposta sismica locale.

L'eventuale progetto del programma d'indagini necessario dovrà essere fortemente vincolato alle informazioni geologiche di superficie ed in grado di definire:

- A) Spessore dei terreni di copertura e profondità del substrato;
- B) Dettaglio delle caratteristiche litologiche e stratimetriche dei terreni di copertura;
- C) Caratterizzazione sismica e geotecnica dei terreni di copertura.



Regione Siciliana – Presidenza
Dipartimento della Protezione
Civile

Università degli Studi di Messina
C.A.R.E.C.I
Centro Attrazione Risorse
Esterne e Creazione d'Impresa

2) ANDAMENTO DEL BEDROCK GEOFISICO.

La ricostruzione dell'andamento del bedrock geofisico che, come è stato messo in evidenza dai risultati qui conseguiti, non coincide con il tetto del substrato geologico presenta maggiori difficoltà a causa della caotica distribuzione dei volumi fratturati dagli stress tettonici che lo pongono entro le formazioni del substrato a profondità che variano in modo irregolare.

La precisione di una tale ricostruzione, dunque, dipende dalla densità dei dati acquisiti. Sarebbe quindi utile la realizzazione di una pianificazione delle indagini dirette necessarie a fornire dati quantitativi su caratteristiche litologiche e sismiche dei terreni attraversati.

11 BIBLIOGRAFIA

Aki K., 1964. A note on the use of microseisms in determining the shallow structures of the earth's crust. *Geophysics* 29, 665-666.

Amato A., Selvaggi G., Catalogo della sismicità italiana 1981-2002 CSI 1.1 – Progetto GNDT “terremoti probabili in Italia tra l’anno 2000 e il 2030: elementi per la definizione di priorità degli interventi di riduzione del rischio sismico”. <http://csi.rm.ingv.it/>.

Amodio Morelli G., Bonardi G., Colonna V., Dietrich D., Giunta G., Ippolito F., Liguori V., Lorenzoni S., Paglionico A., Perrone V., Piccarreta G., Russo M., Scandone P., Zanettin Lorenzoni E. & Zuppetta A., 1976. L’arco Calabro-Peloritano nell’orogene Appenninico- Maghrebide. *Mem. Soc. Geol. It.*, 17: 1-60.

Andreatta C., 1941. Studi geologici e petrografici sul cristallino dei Monti Peloritani. *Boll. R. Uff. Geol. It.*, 46: 1-91.

APAT, 2008. Carta Geologica d’Italia alla scala 1:50.000 Foglio 601 Messina - Reggio di Calabria. Coord. scientifico F. Lentini. S.EL.CA. Firenze.

Asten M. W., 1978. Geological control of the three-component spectra of Rayleigh-wave microseisms. *Bulletin of the Seismological Society of America* 68 (6), 1623–1636.



Regione Siciliana – Presidenza
Dipartimento della Protezione
Civile

Università degli Studi di Messina
C.A.R.E.C.I
Centro Attrazione Risorse
Esterne e Creazione d'Impresa

Asten M. W., Henstridge J. D., 1984. Arrays estimators and the use of microseisms for reconnaissance of sedimentary basins. *Geophysics* 49 (11), 1828–1837.

Atzori P., 1970a. Contributo alla conoscenza degli scisti epizonali dei Monti Peloritani (Sicilia). *Riv. Min. Sic.*, 21 (124-126): 1-21.

Atzori P., 1970b. Caratteri petrografici e petrochimici di un metadiabase dei Peloritani occidentali. *Rend. Soc. It. Min. Petr.*, 26: 411-426.

Atzori P., 1972. Le anfiboliti della zona tra Mandanici e Altolia (Peloritani). *Per. Miner.*, 41: 511-538.

Atzori P., Maccarrone E., Messina A. & Puglisi G., 1974. Le muscoviti delle metamorfiti di Milazzo e di alcune plutoniti calabro-peloritane - *Atti Acc. Pel. Per. Sci. F.M.N.*, 54: 189-211.

Atzori P., Ghisetti F., Pezzino A. & Vezzani L., 1983. Carta geologica del bordo occidentale dell'Aspromonte. Scala 1:50.000, S.EL.CA., Firenze.

Atzori P., Cirrincione R., Del Moro A. & Pezzino A., 1994. Structural, metamorphic and geochronologic features of the Alpine event in south-eastern sector of the Peloritani Mountains (Sicily). *Period. Miner.*, 63: 113-125.

Baldacci I., 1886. Descrizione geologica dell'Isola di Sicilia. *Mem. Descr. della Carta Geol. d'It.*, 1 vol. 408 pp.

Barrier P., 1987. Stratigraphie des dépôts pliocènes et quaternaires du Detroit de Messine (Italie). *Doc. et Trav. IGAL*, 11: 59-81.

Basili R., Valensise G., Vannoli P., Burrato P., Fracassi U., Mariano S., Tiberti M.M., Boschi E., 2008. The Database of Individual Seismogenic Sources, DISS version 3: summarizing 20 years of research on Italy's earthquake geology, *Tectonophysics*, doi:10.1016/j.tecto.2007.04.014.

Bender B., Perkins D.M., 1987. SEISRISK III: a computer program for seismichazardestimation. *U.S. Geological Survey Bulletin*, 1772, 48.

Beneo E., 1949b. Tentativo di sintesi tettonica dell'Italia peninsulare e insulare. *Boll. Soc. Geol. It.*, 68, 66-80.

Beneo E., 1950. Appunti sulla elaborazione di una diagnosi strutturale della Sicilia. *Boll. Serv. Geol. d'It.*, 73, 409-438.



Regione Siciliana – Presidenza
Dipartimento della Protezione
Civile

Università degli Studi di Messina
C.A.R.E.C.I
Centro Attrazione Risorse
Esterne e Creazione d'Impresa

Ben-Menahem, A. & S.J. Singh, 1981. *Seismic Waves and Sources*, Springer-Verlag, New York.

Bonardi G., Giunta G., Perrone V., Russo M., Zuppatta A. e Ciampo G., 1980. Osservazioni sulla evoluzione dell'Arco calabro – Peloritano nel Miocene inferiore: la Formazione di stilo capo d'Orlando. *Boll. Soc. geol. It.*, 99 (4), 365-393.

Bottari A., Carapezza E., Carapezza M., Carveni P., Cefali F., Lo Giudice E., Pandolfo C., 1984. The Messina Strait Earthquake in the regional geostuctural framework. *Act of XXVII International Geological Congress, C 08 section, Moscow.*

Carbone S., Catalano S., Lentini F. Vinci G., 1994. *Carta geologica dei Monti di Taormina (Monti Peloritani, Sicilia nord – orientale)*, scala 1:25.000, S.EL.Ca., Firenze.

Carbone S., Messina A., Lentini F., 2007. *Note illustrative della Carta geologica d'Italia alla scala 1:50.000. F° 601, Messina-Reggio Calabria.* Servizio Geologico d'Italia.

Castellaro S. e Mulargia F., 2009b. The effect of velocity inversions on H/V. *Pure Appl. Geophys.* 166, 567-592.

Cornell C. A., 1968. Engineering seismic risk analysis. *Bull. Seism. Soc. Am.*, 58, 1583-1606.

Cortese E. (1882) – *Brevi cenni sulla geologia della parte NE della Sicilia.*- *Boll. Com. Geol. D'Italia*, vol. XIII, Roma

CPTI Working Group, 2004. *Catalogo Parametrico dei Terremoti Italiani*, versione 2004 (CPTI04), INGV, Bologna. <http://emidius.mi.ingv.it/CPTI04>.

CPTI Working Group, 2011. *Catalogo Parametrico dei Terremoti Italiani*, versione 2011 (CPTI11), INGV, Bologna. <http://emidius.mi.ingv.it/CPTI11>.

Delgado J., Lopez Casado C., Giner J., Estevez A., Cuenca A. e Molina, S., 2000. Microtremors as a geophysical exploration tool: applications and limitations. *Pure Appl. Geophys.*, 157, 1445–1462.

DISS Working Group, 2010. *Database of Individual Seismogenic Sources (DISS), Version 3.1.1: a compilation of potential sources for earthquakes larger than M 5.5 in Italy and surrounding areas.* <http://diss.rm.ingv.it/diss/> INGV 2010 – Istituto Nazionale di Geofisica e Vulcanologia.



Regione Siciliana – Presidenza
Dipartimento della Protezione
Civile

Università degli Studi di Messina
C.A.R.E.C.I
Centro Attrazione Risorse
Esterne e Creazione d'Impresa

Douze E. J., 1964. Rayleigh waves in short-period seismic noise. *Bulletin of the Seismological Society of America*, 54-4, 1197-1212.

Dueé G., 1969. *Etude géologique des Monts Nebrodi (Sicile)*. Thèse Fac. Sci., 2 vol. 221+169 pp., Paris.

Fabiani R. e Trevisan L., (1940). Prove dell'esistenza di uno stile tettonico a falde di ricoprimento nei Monti di Palermo. *Atti R. Acc. D' Italia*, vol. 11, 453-448.

Fäh, D., F. Kind, D. Giardini, 2001. A theoretical investigation of average H/V ratios. *Geophys. J. Int.* 145, 535-549.

Fäh D., Kind F. and Giardini D., 2003. Inversion of local S-wave velocity structures from average H/V ratios, and their use for the estimation of site-effects. *J. Seismol.*, 7, 449–467.

Field E. H., Jacobs K.H. and Hough S.H., 1992. Earthquake site response estimations: a weak-motion case study. *Bull. Seism. Soc. Am.* 82, pp. 2283- 2307.

Field E. and Jacob K., (1993). The theoretical response of sedimentary layers to ambient seismic noise, *Geophys. Res. Lett.* 20, 2925-2928.

Gasperini P. e Ferrari G., 1995. Stima dei parametri sintetici, in: Boschi E. (a cura di), *Catalogo dei Forti Terremoti in Italia dal 461 a.C. al 1980*, ING e SGA, Bologna, 96-111.

Gasperini P. e Ferrari G., 1997. Stima dei parametri sintetici: nuove elaborazioni, in: Boschi E. (a cura di), *Catalogo dei Forti Terremoti in Italia dal 461 a.C. al 1990*, ING e SGA, Bologna, 56-64.

Ghisetti F., 1981. L'evoluzione strutturale del bacino plio-pleistocenico di Reggio Calabria nel quadro geodinamico dell'arco calabro. *Boll. Soc. Geol. It.*, 100: 433-466.

Ghisetti F. & Vezzani L., 1978. Dati preliminari sulla neotettonica dei fogli 252 (Naso), 253 (castro reale), 254 (Messina Reggio C.), 261 (Bronte) e 262 (M. Etna). In *contributi preliminari alla realizzazione della carta neotettonica d'Italia*. Pubbl. n. 155 del P.F. Geodinamica CNR, 247-260,6.

Giunta G. & Somma R., 1996. Nuove osservazioni sulla struttura dell'Unità di Alì (Monti Peloritani, Sicilia). *Boll. Soc. Geol. It.*, 115: 489-500.



Regione Siciliana – Presidenza
Dipartimento della Protezione
Civile

Università degli Studi di Messina
C.A.R.E.C.I
Centro Attrazione Risorse
Esterne e Creazione d'Impresa

Guidoboni E., Ferrari G., Mariotti D., Comastri A., Tarabusi G., Valensise G., 2007. CFTI04MED, Catalogo dei forti terremoti in Italia e nell'area mediterranea. INGV-SGA.

Gruppo di Lavoro MPS, 2004. Redazione della mappa di pericolosità sismica prevista dall'ordinanza PCM 3274 del 20 Marzo 2003. Rapporto conclusivo per il Dipartimento della Protezione civile, INGV, Milano-Roma, Aprile 2004, 65 pp. + 5 appendici.

Gutenberg B., 1958. Microseisms. *Advan. Geophys.*, 5, 53-92.

Gutierrez C. and Singh S. K., 1992. A site effect study in Acapulco, Guerrero, Mexico: comparison of results from strong-motion and microtremor data, *Bull. Seism. Soc. Am.* 82, 642-659.

ISPRA, 2010. Foglio 613 della Carta Geologica d'Italia alla scala 1:50.000. Coord. scientifico F. Lentini.

ISPRA, 2010. Note illustrative della Carta Geologica D'Italia (scala 1:50.000) Foglio 613. A cura di S. Catalano.

Kanai K., 1954. Measurements of Microtremors. *Bulletin of earthquake research institute, Tokyo University*, 32, 199-210

Kanai, K., 1957. The requisite condition for the predominant vibration of ground. *Bull. Earthq. Res. Inst.*, 35, 457-471

Kanai K. and Tanaka T., 1961. On microtremors, VIII, *Earthquake Res. Inst. Tokyo* 39, 97-114.

Lachet C., & Bard P.Y., 1994. Numerical and theoretical investigations on the possibilities and limitations of the Nakamura's technique. *J. Physics of the Earth*, 42-4, 377-397.

Lachet C. & Bard P. Y., 1995. Theoretical investigation of the Nakamura's technique. *Proceedings of the 3rd international conference on recent advances in geotechnical earthquake engineering and soil dynamics*, 2, 617-675.

Lentini F. & Vezzani L., 1975. Le unità meso-cenozoiche della copertura sedimentaria del basamento cristallino peloritano (Sicilia nord-orientale). *Boll. Soc. Geol. It.*, 94: 537-554.

Lentini F. & Vezzani L., 1978. Tentativo di elaborazione di uno schema strutturale della Sicilia orientale. *Mem. Soc. Geol. It.*, 19: 495-500.



PROTEZIONE CIVILE
Presidenza del Consiglio dei Ministri
Dipartimento della Protezione Civile



Regione Siciliana – Presidenza
Dipartimento della Protezione
Civile



Università degli Studi di Messina
C.A.R.E.C.I
Centro Attrazione Risorse
Esterne e Creazione d'Impresa

Lentini F., Carbone S., Catalano S., Di Stefano A., Gargano C., Romeo M., Strazzulla S. & Vinci G., 1995. Sedimentary evolution of basins in mobile belts: examples from tertiary terrigenous sequences of the Peloritani Mts (NE Sicily). *Terra Nova*, 7 (2): 161-170.

Lentini F., Carbone S., Catalano S. & Grasso M., 1995b. Principali lineamenti strutturali della Sicilia nord-orientale. *Studi Geol. Camerti* (1995/2): 319-329.

Lentini F., Carbone S., Grasso M., Di Stefano A., Romeo M. & Messina A., 2000a. Carta Geologica della Provincia di Messina. Scala 1:50.000, 3 fogli. S.EL.CA., Firenze.

Lentini F., Catalano S. & Carbone S., 2000. Note illustrative della carta geologica della Provincia 174 di Messina. Scala 1: 50.000. S.EL.CA., Firenze.

Lermo, J., F. J. Chavez-Garcia, 1994. Are microtremors useful in site response evaluation? *Bulletin of Seismological Society of America* 84, 1350-1364.

Lermo J., M. Rodriguez and S.K. Singh, 1988. Natural periods of sites in the valley of Mexico from microtremors measurements and strong motion data. *Earthquake Spectra*. 4(4), 805-814.

Locati M., Camassi R. e Stucchi M. (eds.), 2011. DBMI11, the 2011 version of the Italian.

Lombardo G., 1980, Stratigrafia dei depositi pleistocenici della Sicilia nord-orientale. *Atti Acc.Gioenia Sc. Nat. Catania*, 12: 84-113.

Lugeon M. & Argand E., 1906. La racine de la nappe sicilienne et l'arc de charriage de la Calabre. *C. R. Acad. Sc. Paris*, 142: 1107-1109.

Lugeon M., Argand E (1906a) - Sur de grandes phenomenes de charriage en Sicile. - *C.R. Acad. Sciences*, 142, 13 p

Monachesi G. & Stucchi M., 1997. DOM4.1: an intensity database of damaging earthquakes in the Italian area. GNDT-CNR open file rep., 2 vv., Milano, 1052 pp. Web site: <http://emidius.itim.mi.cnr.it/DOM/home.html>.

Nakamura Y., 1989. A method for dynamic characteristics estimates of subsurface using microtremor on the round surface, *QR of RTRI* 30, p. 25-30.

Nigro e Sidoti, 1993. L'area di Longi (Monti Nebrodi, Sicilia NE): un geotopo da valorizzare. *SIGEA* !/2, 9-11.



Regione Siciliana – Presidenza
Dipartimento della Protezione
Civile

Università degli Studi di Messina
C.A.R.E.C.I
Centro Attrazione Risorse
Esterne e Creazione d'Impresa

Nogoshi M., and T. Igarashi, 1970. On the amplitude characteristics of microtremors, *J. Seism. Soc. Jpn* 23, 264-280.

Ogniben L., 1960. Schemi paleotettonistici anzichè paleogeografici in regioni di corrugamento: l'esempio della Sicilia. *Mem. Soc. Geol. It.*, 9: 793-816.

Ogniben L., 1971. Tettonica della Sicilia e della Calabria.- *Boll. Acc. Gioenia Sc. Nat.*, Catania s.4, n. 11.

Okada H., 2003. *The Microtremor Survey Method* (translated by Koya Suto): Geophysical Monograph Series, No.12, Society of Exploration Geophysicists.

Postpischl D., 1985. *Atlas of isoseismal maps of Italian earthquakes* - Progetto P.F.G..

Provincia Regionale di Messina, 1993. *Carta Geologica del Golfo di Patti*. S.EL.CA., Firenze

Quitow H.W., 1935. *Der Deckenbau des Kalabrischen Massivs und seiner Randgebiete*. *Abh. Ges.Wiss. Gottingen. Mat. Phys. Kl.*, 3 Folge, 13: 63-179.

Rovida A., Camassi R., Gasperini P., Stucchi M., 2011. CPT111, versione 2011 del Catalogo parametrico dei terremoti italiani.

Schmidt di Friedberg, 1959. *La geologia del gruppo montuoso delle Madonie nel quadro delle possibilità petrolifere della Sicilia centro settentrionale*. *Atti 2° Convegno Inter.Studi "Petr. Sicilia*, 130-136

Seguenza G., 1869. *Stratigrafia della Provincia di Messina*. – *Atti Soc. Ital. Di Sc. nat.*, vol. XII – Milano.

Servizio Geologico D'Italia, 2008. *Carta geologica d'Italia scala 1.50.000, F° 601 Messina-Reggio Calabria*

SESAME Project: "Site Effects Assessment Using Ambient Excitations", 2005

Tiberti M. M., Fracassi U., Valensise G., 2006. *Il quadro sismotettonico del grande terremoto del 1905*, In "8 settembre 1905 Terremoto in Calabria" a cura di Ignazio Guerra e Antonello Savaglio, Volume edito dalla Regione Calabria Assessorato alla Cultura, Università della Calabria, Dipartimento di Fisica, Deputazione di Storia Patria per la Calabria. AGM S.r.l. Castrovillari (CS).

Truillet R., 1968. *Etude géologique des Péloritains orientaux (Sicile)*. *Thèse Fac. Sci.*, 2 voll., 547 pp., Paris.



Regione Siciliana – Presidenza
Dipartimento della Protezione
Civile

Università degli Studi di Messina
C.A.R.E.C.I
Centro Attrazione Risorse
Esterne e Creazione d'Impresa

Wathelet M, Jongmans D, Ohrnberger M., 2004. Surface wave inversion using a direct search algorithm and its application to ambient vibration measurements. *Near Surf Geophys* 2004:211–221

Yamanaka H., M. Dravinski and H. Kagami, 1993. Continuous measurements of microtremors on sediments and basement in Los Angeles, California. *Bull. Seism. Soc. Am*, 83(5), 1595-1609.

12 ALLEGATI

Elaborati Cartografici

- Carta delle indagini
- Carta geologico tecnica per la microzonazione sismica
- Carta delle frequenze
- Carta delle Microzone Omogenee in Prospettiva Sismica (livello 1)